

გოჩა დალაქიშვილი

ენერგოსისტემების მდგრადობის გამოკვლევა
არაწრფივი დინამიკის მეთოდების საშუალებით

წარმოდგენილია დოქტორის აკადემიური ხარისხის
მოსაპოვებლად

საქართველოს ტექნიკური უნივერსიტეტი
თბილისი, 0175, საქართველო
ოქტომბერი, 2008

საქართველოს ტექნიკური უნივერსიტეტი

ინფორმატიკისა და მართვის სისტემების ფაკულტეტი

ჩვენ, ქვემოთ ხელისმომწერნი ვადასტურებთ, რომ გავეცანით დალაქიშვილი გოჩას მიერ შესრულებულ სადისერტაციო ნაშრომს დასახელებით: ”ენერგოსისტემების მდგრადობის გამოკვლევა არაწრფივი დინამიკის მეთოდების საშუალებით” და ვაძლევთ რეკომენდაციას საქართველოს ტექნიკური უნივერსიტეტის ინფორმატიკისა და მართვის სისტემების ფაკულტეტის სადისერტაციო საბჭოში მის განხილვას დოქტორის აკადემიური ხარისხის მოსაპოვებლად.

ხელმძღვანელი:

გალიდა სესაძე

ლელა გაჩეჩილაძე

რეცენზენტი:

კონსტანტინე კამკამიძე

რეცენზენტი:

ზაურ მუხაშვილი

საქართველოს ტექნიკური უნივერსიტეტი

2008

ავტორი:

დალაქიშვილი გოჩა

დასახელება:

ენერგოსისტემების მდგრადობის გამოკვლევა
არაწრფივი დინამიკის მეთოდების საშუალებით

ფაკულტეტი:

ინფორმატიკისა და მართვის სისტემების

ფაკულტეტი

აკადემიური ხარისხი: დოქტორი

სხდომა ჩატარდა: 2008 წ. 11 ოქტომბერი, სტუ-ს მცირე სააქტო დარბაზი

ინდივიდუალური პიროვნებების ან ინსტიტუტების მიერ ზემომოყვანილი დასახელების დისერტაციის გაცნობის მიზნით მოთხოვნის შემთხვევაში მისი არაკომერციული მიზნებით კოპირებისა და გავრცელების უფლება მინიჭებული აქვს საქართველოს ტექნიკურ უნივერსიტეტს.

ავტორის ხელმოწერა

ავტორი ინარჩუნებს დანარჩენ საგამომცემლო უფლებებს და არც მთლიანი ნაშრომის და არც მისი ცალკეული კომპონენტების გადაბეჭდვა ან სხვა რაიმე მეთოდით რეპროდუქცია დაუშვებელია ავტორის წერილობითი ნებართვის გარეშე.

ავტორი ირწმუნება, რომ ნაშრომში გამოყენებული საავტორო უფლებებით დაცული მასალებზე მიღებულია შესაბამისი ნებართვა (გარდა იმ მცირე ზომის ციტატებისა, რომლებიც მოითხოვენ მხოლოდ სპეციფიურ მიმართებას ლიტერატურის ციტირებაში, როგორც ეს მიღებულია სამეცნიერო ნაშრომების შესრულებისას) და ყველა მათგანზე იღებს პასუხისმგებლობას.

დისერტაციას ვუძღვნი ჩემი ხელმძღვანელის,
ბატონი ალმასხან გუგუშვილის ხსოვნას!

დიდი პატივისცემით და სიყვარულით, მინდა უდიდესი მადლიერება
გამოვხატო ჩემი მასწავლებლის და მეგობრის მიმართ, რომელიც
თავისი სიცოცხლის ბოლო წუთებამდე გვერდით მედგა და მემარებო-
და მეტად აქტუალური თემის შესრულებაში.

რეზიუმე

საქართველოში ეკონომიკურ აღმავლობასთან ერთად ელექტროენერგიის გამომუშავება და მოხმარება იზრდება. ელექტროენერგიაზე მზარდ მოთხოვნილებას თან სდევს ენერგოსისტემაში ავარიული სიტუაციების შექმნა და ენერგოქსელში ჩართული გენერატორების ასინქრონული რეჟიმების არსებობა, მიუხედავად მათი თავიდან აცილების უამრავი მცდელობისა.

სადისერტაციო ნაშრომის მიზანია, შევისწავლოთ ენერგოსისტემაში არსებული პრობლემები. ავტომატური მართვის თვალსაზრისით ენერგეტიკული სისტემა წარმოადგენს რთულ სისტემას, რომლის ძირითად შემადგენელ ნაწილებს წარმოადგენენ: სინქრონული და ასინქრონული გენერატორები, ელექტრული წრედი და დატვირთვა. ავტომატიზაციის სწორი მიმართულებით წარმართვისთვის აუცილებელია მოვახდინოთ ენერგოსისტემის თითოეული შემადგენელი ნაწილის ანალიზი.

ნაშრომში შესწავლილი მაქვს ენერგოსისტემაში მიმდინარე გარდამავალი პროცესები, კერძოდ კი, გაანალიზებული მაქვს ენერგოსისტემის ძირითადი ელემენტების მათემატიკური მოდელები, შედგენილი მაქვს განტოლებები სინქრონული და ასინქრონული მანქანების რეჟიმებისთვის და დადგენილი მაქვს მთლიანი ენერგოსისტემის მათემატიკური მოდელი. გავაანალიზე მთლიანი მათემატიკური მოდელი და მისი თავისებურებანი. შესწავლილი მაქვს ელექტრომაგნიტური პროცესების გამოკვლევის სხვადასხვა მეთოდიკა, როგორებიცაა ჟდანოვის და პოზიციური მოდელი. დადგენილი მაქვს, რომ თუ მრავალსიხშირულ დენებსა და ძაბვებს შევცვლით ერთსისშირულით, დავალოთ გამარტივებულ მათემატიკურ მოდელამდე და მივიღებთ ენერგეტიკული ბალანსის განტოლებას.

ნაშრომში შესწავლის საგანს წარმოადგენს სხვადასხვა სახის ენერგეტიკული სისტემის, კერძოდ ერთგენერატორიანი, ორგენერატორიანი და სამგენერატორიანი, ანუ მრავალგენერატორიანი სისტემების სტატიკური და დინამიკური მდგრადობა, რისთვისაც გამოყენებული მაქვს ენერგოსისტემის მდგრადობის ლიაპუნოვის გექტორული ფუნქციის მეთოდი.

დიდი ყურადღება დავუთმე ენერგოსისტემებში ბიფურკაციის მოვლენის არსებობას. გამოვიყენე ჰოპფის ბიფურკაციის ცნება და მის საფუძველზე გავაანალიზე ერთგენერატორიანი, ორგენერატორიანი და სამგენერატორიანი ენერგოსისტემების მდგრადობა. ბიფურკაციული მოვლენის აღწერა შეიცავს ცნებებს განსაკუთრებული ამონასნებისა და მათი მდგრადობის შესახებ. განსაკუთრებული წერტილის მდრადობის ქვეშ ვგულისხმობ მდგრადობას ლიაპუნოვის მიხედვით. ნაშრომში განვიხილე ენერგოსისტემის სტრუქტურული მდგრადობა, რომელიც წარმოადგენს ბიფურკაციული ანალიზის კვლევის საგანს.

გაანალიზებული და დადგენილი მაქვს დისკრეტული დინამიკური სისტემის მართვის პარამეტრის მიხედვით ენერგოსისტემის მდგრადობის არეები.

ენერგოსისტემის მდგრადობის გამოკვლევისას ყურადღება გავამახვილე ქაოსის არსებობაზე. ქაოსი არის დამყარებულ რეჟიმში სისტემის არაჩვეულებრივი ქცევა. ნაშრომში გამოკვლეული მაქვს ენერგოსისტემის ქაოსური მოძრაობა სხვადასხვა რაოდენობის გენერატორების თვის. შერჩეული კოეფიციენტებისა და პარამეტრების საფუძველზე გავაკეთე ენერგოსისტემის მოდელირება კომპიუტერული პროგრამის – MATLAB საშუალებით და მივიღე გრაფიკული შედეგები, რის საფუძველზეც შეიძლება განვსაზღვროთ ენერგოსისტემის ქცევა პარამეტრების ცვლილებისას. გარდა ამისა Visual Basic-ის საშუალებით დაწერილი მაქვს პროგრამა ენერგოსისტემის მდგრადობის საზღვრების დადგენისთვის.

ნაშრომში მნიშვნელოვანი ადგილი დავუთმე სინქრონიზაციას, რომელიც ნიშნავს ორი ან რამოდენიმე პროცესის ქცევის ოგვებადობას დროში. სინქრონიზაციის პარამეტრების დადგენა დაეხმარება ენერგოსისტემაში მომუშავე მომსახურე პერსონალს ავარიასაწინააღმდეგო პარამეტრების შერჩევაში.

კომპიუტერული მოდელირების შედეგად გრაფიკული სახით მიღებული მაქვს გენერატორების სინქრონული მუშაობის სასურველი არეები და რესინქრონიზაციის პარამეტრები.

Abstract

Demands for electric energy in Georgia is growing with the growth of economic rate. Generation and consumption of electricity is followed by the break-downs in power grids and asynchronous work of the generators switched in the power nets. Though much is done to avoid such regime.

The aim of the present dissertation is to study problems in power grids.

Power grids is a complex system from the point of view of automatic control, which consists of the following main parts: synchronic and a synchronic generator, main net and loading. If we want to make the right automatization of the power grids, it's necessary to analyse each component.

The present thesis shows transitional processes in power grids, privately the analysis of mathematical models of the main elements in the power grids. I have composed equations for the working regimes of synchronic and a synchronic machines and stated mathematical model of the whole power grids. I've analysed the whole mathematical model and studied its peculiarities.

I have studied different research methods of electromagnetic processes, privately 3hdanov's and positive models.

I have stated that if we change multi – frequency currents and strains with one-frequency ones, we will come to simplified mathematical model and I have obtained equation of power balance.

The subject of the thesis is to study statical and dynamic stability of different power systems, privately stability of one-generator, two-generator, three-generator or multi-generator systems. for this Liapunov's vectorial functional method is used for the stability of power systems. I have paid much attention to existence of bifurcation phenomenon in power grids.

I have used Hopf's bifurcation and on its basis I have analysed stability of one-generator, two-generator and three-generator power grids. Description of bifurcation phenomenon contains concepts about special determination and their stability. Under the stability of special point I mean the stability by Liapunov's. In the thesis I have discussed structural stability of power grids which represents subject of bifurcation analyses.

I have analysed and stated stability spheres of power grids according controlling parameter of discrative dynamic systems.

While researching stability of power grids I paid attention to the existence of chaos.

Chaos is an unusual behavior of the system in established regime. In the thesis I have researched chaotic movement of power grids for the generators of different quantity. On the basis of selected coefficients and parameters I have modelled power grids by means of MATLAB and got graphical results.

On its basis we can determine behaviour of power grids while changing parameters.

Analysing power grids important role is paid to the synchronization, which means compatibility of behaviour of two or three processes at time.

Establishment of synchronization parameters will help the staff of power grids, to select anti breakdown parameters.

After computer modeling I have obtained the desired spheres of generator synchronic work in graphic.

In this thesis I have used not only abovementioned computer system, but also written the programme for the stating stability borders of power grids by means of Visual Basic.

შინაარსი

შესავალი.....	14
1. გარდამავალი პროცესები ენერგოსისტემაში.....	18
1.1. ენერგოსისტემების ძირითადი ელემენტების მათემატიკური მოდელები.....	18
1.1.1. სინქრონული მანქანის განტოლებები.....	18
1.1.2. ასინქრონული მანქანის განტოლებები.....	23
1.1.3. ელექტრული ქსელის განტოლებები.....	26
1.1.4. მთლიანი ენერგოსისტემის მათემატიკური მოდელი.....	27
1.1.5. ენერგოსისტემის მთლიანი მათემატიკური მოდელის თავისებურებები.....	29
1.2 მრავალმანქანიანი სისტემების გამარტივებული განტოლებები.....	31
1.2.1 ჩქარი ელექტრომაგნიტური პროცესების გვლევის მათემატიკური მოდელი.....	31
1.2.2 ჟდანოვის მოდელი.....	31
1.2.3 პოზიციური მოდელი.....	33
1.2.4 ელექტრულ ქსელში გასაშუალებული პროცესების მოდელი	35
1.3 ენერგოსისტემის სტატიკური მდგრადობა.....	38
1.4 ორმანქანური ენერგოსისტემის დინამიკა.....	39
1.5 ლიაპუნოვის გეპტორული ფუნქციის მეთოდი ენერგოსისტემის მდგრადობისთვის	42
2. ბიფურკაცია ენერგოსისტემებში.....	46
2.1 გაორმაგების ციკლი და ბიფურკაცია ენერგოსისტემებში.	46
2.2 ჰოპფის ბიფურკაცია ენერგოსისტემაში.....	50
2.3 ჰოპფის ბიფურკაცია ერთგენერატორიანი სისტემისთვის....	53
2.4 ჰოპფის ბიფურკაცია ორგენერატორიანი ენერგოსისტემისთვის	56
2.5 ჰოპფის ბიფურკაცია სამგენერატორიანი სისტემისთვის.....	62

3. ქაოსი ენერგოსისტემებში	67
3.1 ქაოსის გამოკვლევის მეთოდები	67
3.2 ქაოსი ერთგენერატორიან ენერგოსისტემაში	71
3.3 ქაოსი ორგენერატორიან ენერგოსისტემაში	76
3.4 ქაოსი სამგენერატორიან ენერგოსისტემაში	78
3.5 დინამიკური ქაოსის კრიტერიუმები ენერგოსისტემაში და ლიაპუნოვის მახასიათებელი	83
4. სინქრონიზაცია ენერგოსისტემებში	89
4.1 სინქრონიზაციის პრობლემები	89
4.2 სინქრონული გენერატორების პარალელურ მუშაობაში ავტომატური ჩართვა	97
4.3 ავარიული სიტუაციების ანალიზი	100
4.3.1. ასინქრონული რეჟიმების ლიკვიდაცია, რესინქრონიზაცია	100
4.3.2. ასინქრონული რეჟიმების ნიშნები	102
4.4 სინქრონიზირებადი მართვა	104
დასკვნა	113
დანართი	115
გამოყენებული ლიტერატურა	131

ნახაზების ნუსხა

ნახ.1	ბიფურკაციის დიაგრამა.....	48
ნახ.2	ზღვრული ციკლის არამდგრადობა.....	51
ნახ.3	ბიფურკაცია სპირალიდან ზღვრულ ციკლზე.....	51
ნახ.4	გადაგვარებული კვანძი ანუ არამდგრადი წონასწორობა.....	53
ნახ.5	მდგრადი კვანძი.....	54
ნახ.6	არამდგრადი მდგომარეობა.....	54
ნახ.7	ნეიტრალურად მდგრადი მდგომარეობა.....	55
ნახ.8	ორგენერატორიანი სისტემის ფაზური ტორი.....	59
ნახ.9	სამგენერატორიანი სისტემის მოძრაობა წონას- წორობისკენ.....	64
ნახ.10	გარდამავალი პროცესის გრაფიკი სამგენერატორიანი სის- ტემისთვის.....	65
ნახ.11	სამგენერატორიანი სისტემის სახე ფაზურ სიბრტყეზე.....	65
ნახ.12	n – განზომილებიანი ტორი.....	66
ნახ.13	ატრაქტორის რეჟიმში მომუშავე არაწრფივი ინერციული გენერატორის გარდამავალი პროცესი.....	67
ნახ.14	„გენერატორი-უსასრულო სიმძლავრის სალტე“ -ს ბლოკსქემა.....	71
ნახ.15	ქაოსი სისტემაში - „ერთი გენერატორი-უსასრულო ენერგიის სალტე“ (პირველი ციკლი).....	73
ნახ.16	ქაოსი სისტემაში - „ერთი გენერატორი-უსასრულო ენერგიის სალტე“ (მეორე ციკლი).....	74
ნახ.17	ქაოსი სისტემაში - „ერთი გენერატორი-უსასრულო ენერგიის სალტე“ (მესამე ციკლი).....	74
ნახ.18	ქაოსი სისტემაში - „ერთი გენერატორი-უსასრულო ენერგიის სალტე“ (მეოთხე ციკლი).....	75
ნახ.19	ორგენერატორიანი ენერგოსისტემის ქაოსის ფაზური პორტრეტი.....	77
ნახ.20	ორგენერატორიანი ენერგოსისტემის ქაოსური მოძრაობის მოდერინების შედეგი კვანძებისა და ქსელისთვის.....	77
ნახ.21	„ორი გენერატორი-უსასრულო ენერგიის სალტე“ –ის ბლოკსქემა.....	78

ნახ.22	ფაზური პორტრეტი (პირველი ბიჯი).....	81
ნახ.23	ფაზური პორტრეტი (მეორე ბიჯი).....	81
ნახ.24	ფაზური პორტრეტი (მესამე ბიჯი).....	82
ნახ.25	ქაოსური ტრაექტორიის ექსპონენციალური განშლადობა.....	85
ნახ.26	წრფივი სინქრონიზაცია.....	107
ნახ.27	არაწრფივი სინქრონიზაცია.....	109
ნახ.28	სიქრონიზაცია ელიფსური ორბიტის მიმართ.....	110
ნახ.29	სინქრონიზაცია სპირალის მიმართ.....	111

შესავალი

თანამედროვე ეკონომიკური ზრდის ტემპის დაჩქარების ერთ-ერთი ძირითადი საფუძველი არის ენერგეტიკა. სამეცნიერო-ტექნიკურ პროგრესს, წარმოების ინტენსიფიკაციას, ტექნიკური დონის და შრომის ნაყოფიერების ამაღლებას შედეგად მოაქვს ადამიანების საყოფაცხოვრებო პირობების გაუმჯობესება და წარმოების თანამედროვე ადგურვილობითა და საყოფაცხოვრებო ტექნიკით უზრუნველყოფა, რაშიც განმსაზღვრელი როლი უკავია თანამედროვე ენერგოსისტემას.

თანამედროვე ენერგეტიკული სისტემები განეკუთვნებიან რთული სისტემების კატეგორიას. ენერგოსისტემების სწრაფ განვითარებასთან და ავტომატიზაციის დონის ამაღლებასთან ერთად მათი სირთულე უფრო და უფრო იზრდება.

რთული სისტემების ქვეშ შეიძლება ვიგულისხმოთ ისეთი სისტემები, რომელთაც აქვთ საკმაოდ დრმა შიგა კავშირები და შედგებიან დიდი რაოდენობის ურთიერთდაკავშირებული და ურთიერთქმედი ელემენტებისგან.

ამგვარად, ენერგეტიკული სისტემა წარმოადგენს რთულ სისტემას, რომლის ძირითადი შემადგენელი ნაწილებია:

1. სინქრონული და ასინქრონული მანქანები (გენერატორები);
2. ელექტრული წრედი, რომელშიც ხდება გენერატორებიდან სხვადასხვა სახის ელექტრული სიგნალების გადაცემა;
3. დატვირთვა.

წინამდებარე ნაშრომში განვიხილავთ ენერგოსისტემებში მიმდინარე გარდამავალ პროცესებს, იმისათვის რომ წარმოდგენა შეგვექმნას ენერგოსისტემის მუშაობის შესახებ. თავდაპირველი ვაგებთ და ვიყენებთ მის მათემატიკურ მოდელებს.

დღესდღეობით, რთული ენერგოსისტემის ფუნქციონირებისა და მართვის ანალიზისათვის ძირითად ფორმირებულ საშუალებად ითვლება ენერგოსისტემების მათემატიკური მოდელირება თანამედროვე გამოთვლითი ტექნიკის გამოყენებით. ენერგოსისტემის შემადგენელი ნაწილების მათემატიკური მოდელების ურთიერთკავშირი, რომლებიც ადგენგატურად ასახავენ სხვადასხვა იურარქიულ დონეზე გამოსაკვლევ

პროცესებს, წარმოადგენენ სპეციფიკიდან გამომდინარე, შესასწავლი პროცესების ხასიათის გათვალისწინებით, გადასჭრელი ამოცანების თავისებურებებს.

ცნობილია, რომ მდგრად სისტემებს აქვთ ორი მდგენელი:

1. გარდამავალი პროცესი;
2. დამყარებული მდგომარეობა.

დამყარებულ მდგომარეობაში, როცა სისტემებში დასრულებულია ყველა გარდამავალი პროცესი, სისტემა წარმოადგენს ან კონსტანტას, ან რაიმე პერიოდულ ამონასნს. [1].

სისტემას ეწოდება დინამიკური, თუ მასში პროცესები მიმდინარეობს დროში.

დინამიკურ სისტემებში დამყარებული მდგომარეობა ნიშნავს ასიმპტოტურ მდგომარეობას, როცა $t \rightarrow \infty$, დამყარებული რეჟიმი აუცილებლად უნდა ხასიათდებოდეს შესაბამისი ფუნქციის შეზღუდული მნიშვნელობებით. დიფერენციალური განტოლებების სისტემის ამონასნებსა და მის დამყარებულ მდგომარეობას შორის სხვაობას გარდამავალი პროცესი ეწოდება.

ცნობილია, რომ სისტემის არაწრფივობისას არსებობს პარამეტრების ფართო დიაპაზონი, რომელშიც სისტემის მოძრაობა დამყარებულ რეჟიმში არის შეზღუდული, მაგრამ არა პერიოდული. რხევები იდებენ შემთხვევით ხასიათს და ხასიათდებიან არა დისკრეტული, როგორც პერიოდულის დროს, არამედ ფართო, უწყვეტი სპექტრით. ამის გარდა, სისტემის მოძრაობის ხასიათი იმდენად მგრძნობიარება საწყისი პირობების ვარიაციაზე დამოკიდებულებით, რომ შეუძლებელია ზუსტი ამონასნების გრძელვადიანი პროგნოზირება. ასეთი მაღალი მგრძნობიარობა საწყისი პირობების ვარიაციაზე დამოკიდებულებით დამახასიათებელია ქაოსური სისტემისათვის, რომელიც წარმოადგენს დეტერმინირებულ სისტემას და მის მოქმედებას აქვს შემთხვევითი სახე [2,3].

ენერგოსისტემის გამოკვლევაში მნიშვნელოვანი როლი აქვს ბიფურკაციის მოვლენას.

ბიფურკაცია არის გადასვლები, რომლებიც შეიძლება მოხდეს დინამიკური ქცევიდან სხვადასხვა სახეებს შორის პარამეტრების ცვლილებისას.

ბიფურკაციული მოვლენის აღწერა შეიცავს ცნებებს განსაკუთრებულ ამონასნებისა და მათი მდგრადობის შესახებ. ბიფურკაციის კარგი მაგალითია შემთხვევა, როდესაც სისტემის განსაკუთრებული ამონასნების წერტილი იყოფა ჯერად განსაკუთრებულ ამონასნებად. დაკვირვებადი მოვლენები – ეს არ არის უბრალოდ მდგრადობის შეცვლა, ეს უფრო ბიფურკაციის მაგალითია. უნდა აღინიშნოს შემდეგი: განსაკუთრებული წერტილის მდგრადობის ქვეშ გვესმის მდგრადობა ლიაპუნოვის მიხედვით. ნაშრომში განვიხილავთ სტრუქტურულ მდგრადობას, რომელიც ბიფურკაციული ანალიზის კვლევის საგანია.

განსაკუთრებული მნიშვნელობა ენერგოსისტემების მდგრადობის გამოკვლევისას ენიჭება ქაოსის არსებობას. ქაოსი არის არაწრფივი მოვლენა, რომელიც გვხვდება ყველა მეცნიერულ დისციპლინაში. მისი გაანალიზება ინტუიციურად ძალზე რთულია, მაგრამ მაინც რეალურად არსებული მოვლენაა. ძველთაგანვე მკვლევარები ხვდებოდნენ ქაოსს, მაგრამ მას დებულობდნენ ფიზიკურ ხმაურად და გვერდს უვლიდნენ. ახლა უკვე ცნობილი გახდა, რომ ქაოსი ჩნდება არა მარტო ხელოვნურ სისტემებში, არამედ სისტემებშიც, რომელთაც ახასიათებთ არაწრფივობა.

უხეშად რომ ვთქვად, ქაოსი წარმოადგენს საკმაოდ არაჩვეულებრივ ქცევას რომელიდაცა სისტემისა დამყარებულ რეჟიმში.

ტერმინი „ქაოსური“ დეტერმინირებულ ფიზიკურ და მათემატიკურ სისტემებში გამოიყენება ისეთი მოძრაობების მიმართ, რომელთა ტრაექტორიაც ძლიერ არის დამოკიდებული საწყის პირობებზე. ქაოსური რხევები ჩნდება ძლიერი არაწრფივობის დროს.

ცნობილია, რომ არაწრფივობის დროს არსებობს პარამეტრების ფართო დიაპაზონი, რომელთა დროსაც სისტემის მოძრაობა დამყარებულ რეჟიმში არის შეზღუდული, მაგრამ არა პერიოდული. რხევები შემთხვევითია და ხასიათდებიან არა დისკრეტული, როგორც პერიოდულის დროს, არამედ ფართო უწყვეტი სპექტრით. ამას გარდა სისტემის მოძრაობის ხასიათი იმდენად მგრძნობიარეა საწყის პირობებზე დამოკიდებულებით, რომ გრძელვადიანი პროგნოზირება ზუსტი ამონასნენისა შეუძლებელია. ასეთი მაღალი მგრძნობიარობა საწყისი პირობების

გარიაციაზე დამოკიდებულებით ქაოსური სისტემის ერთ-ერთი დამახა-სიათებელი თვისებაა.

ქაოსური სისტემა დეტერმინირებული სისტემაა, რომლის მოქმე-დებასაც შემთხვევითი სახე აქვს.

ენერგოსისტემებში დიდი ყურადღება არის გამახვილებული სინქრონიზაციის მოვლენაზე, რომელიც თავის უმრავლეს საერთო ინტერპრეტაციაში ნიშნავს ორი ან რამოდენიმე პროცესის ქცევის თავ-სებადობას დროში. „სინქრონიზირება“ – ნიშნავს შევათანხმოთ დრო-ში, მივყვეთ ან ოპერირება გავუკეთოთ სისტემას მხოლოდ ერთ და იმა-ვე სიჩქარეზე, გამომდინარე ერთი და იმავე დროიდან.

1. გარდამავალი პროცესები ენერგოსისტების

1.1. ენერგიისისტემების ძირითადი ელემენტების მათემატიკური მოდელები

1.1.1. სინქრონული მანქანის განტოლებები.

ენერგოსისტემებში მიმდინარე პროცესების მათემატიკური მოდელირების საკითხები შეისწავლეს ისეთმა გამოჩენილმა მეცნიერებმა, როგორებიც არიან: ს.ა. ლებედევი, პ.ს. ჟდანოვი, ა.ა. გორევი, რომელთა ნაშრომებიც მნიშვნელოვანია ენერგოსისტემების მდგრადობისა და გარდამავალი პროცესების თეორიაში.

ენერგოსისტემების პროექტირებისა და ექსპლოატაციისას აუცილებელია ელექტრული ამოცანების კომპლექსის ამოხსნა, რომლებიც მოიცავენ დამყარებული რეჟიმების, სტატიკური და დინამიკური მდგრადობის, ხანგრძლივი ელექტრომექანიკური გარდამავალი პროცესების, მოკლედ შერთვის დენების და სხვ. ამოცანების ამოხსნას [4].

სინქრონული მანქანა როტორზე ორი დემპფერული კონტურით წარმოადგენს სისტემას, რომელიც შედგება უქასი მაგნიტურად დაკავშირებული კონტურისგან. ამ კონტურებიდან სამი მანქანის ფაზის სიგრცეში უმოძრაო სამი კონტურია, ხოლო დანარჩენი სამი კონტური – აღგზნების გრაგნილი და ორი დემპფერული კონტურია.

სინქრონული მანქანის გარდამავალი ელექტრომაგნიტური პროცესების განტოლება ფაზურ კოორდინატებში შეიძლება შემდეგნაირად ჩაიწეროს [1,2,3,4,5]:

$$\begin{aligned} U_{ca} &= r_c i_{ca} + d \Psi_{ca}/dt; \\ U_{cb} &= r_c i_{cb} + d \Psi_{cb}/dt; \\ U_{cc} &= r_c i_{cc} + d \Psi_{cc}/dt; \\ U_f &= r_f i_f + d \Psi_f/dt; \\ O &= r_g i_g + d \Psi_g/dt; \\ O &= r_h i_h + d \Psi_h/dt. \end{aligned} \tag{1.1}$$

სადაც $U_{ca}, U_{cb}, U_{cc}, i_{ca}, i_{cb}, i_{cc}$, – შესაბამისად მანქანის ელექტრულ წრედონ მიერთების ფაზური ძაბვები და სტატორის ფაზური დენებია; U_f –

აღგზნების გრაგნილის ძაბვაა; r_c, r_f, r_g, r_h – აქტიური წინაღობებია შესაბამისად სტატორის ფაზის, აღგზნების გრაგნილის, პორიზონტალური და ვერტიკალური დემპფერული კონტურებისათვის; i_f, i_g, i_h – დენებია აღგზნების გრაგნილში, და პორიზონტალურ და ვერტიკალურ დემპფერულ კონტურებში; $\Psi_{ca}, \Psi_{cb}, \Psi_{cc}, \Psi_f, \Psi_g, \Psi_h$ – ნაკადშერთვები შესაბამისად ფაზის კონტურებში, აღგზნების გრაგნილში, პორიზონტალურ და ვერტიკალურ დემპფერულ კონტურებში, რომლებიც არიან დენების ფუნქციები:

$$\begin{aligned}\Psi_{ca} &= L_a I_{ca} + M_{ab} I_{cb} + M_{ac} I_{cc} + M_{af} I_f + M_{ag} I_g + M_{ah} I_h; \\ \Psi_{cb} &= M_{ab} I_{ca} + L_b I_{cb} + M_{bc} I_{cc} + M_{bf} I_f + M_{bg} I_g + M_{bh} I_h; \\ \Psi_{cc} &= M_{ac} I_{ca} + M_{cb} I_{cb} + L_c I_{cc} + M_{cf} I_f + M_{cg} I_g + M_{ch} I_h; \\ \Psi_f &= M_{af} I_{ca} + M_{bf} I_{cb} + M_{af} I_{cc} + L_f I_f + M_{fg} I_g; \\ \Psi_g &= M_{ag} I_{ca} + M_{bg} I_{cb} + M_{cg} I_{cc} + M_{fg} I_f + L_g I_g; \\ \Psi_h &= M_{ah} I_{ca} + M_{bh} I_{cb} + M_{ch} I_{cc} + L_h I_h\end{aligned}\tag{1.2}$$

სინქრომანქანის პროცესების თეორიის ჩამოსაყალიბებლად უნდა დაგუშვათ:

1. თვითინდუქციისა და ურთიერთინდუქციის კოეფიციენტების დამოუკიდებლობა. ფაზათა კონტურების თვითინდუქციის და ურთიერთინდუქციის კოეფიციენტები $L_a, L_b, L_c, M_{ab}, M_{ac}, M_{bc}$, წარმოადგენერობრივის პორიზონტალური დერძისა და $a(\theta)$ ფაზის მაგნიტურ დერძს შორის კუთხის პერიოდულ ფუნქციებს პერიოდით Π , ხოლო ურთიერთინდუქციის კოეფიციენტები $M_{af}, M_{bf}, M_{cf}, M_{ag}, M_{bg}, M_{cg}, M_{ah}, M_{bh}, M_{ch}$ არიან θ კუთხის პერიოდული ფუნქციები პერიოდით 2Π .

2. მრავალწევრის უმაღლესი წევრების კოეფიციენტები ფურიეს მწერივად დაშლისას არიან მცირენი და არ ახდენენ მნიშვნელოვან ზეგავლენას მანქანაში მიმდინარე პროცესებზე [1,5,6].

ამ პირობების გათვალისწინებით თვითინდუქციის და ურთიერთინდუქციის კოეფიციენტები შეიძლება ჩაიწეროს შემდეგი სახით:

$$\begin{aligned}L_a &= L_{cp} + L_m \cos 2\theta \\ L_b &= L_{cp} + L_m \cos(2\theta + 120^\circ); \\ L_c &= L_{cp} + L_m \cos(2\theta - 120^\circ); \\ M_{ab} &= -M_{cp} + M_o \cos(2\theta - 120^\circ);\end{aligned}\tag{1.3}$$

$$M_{cc} = -M_{cp} + \cos(2\theta+120^\circ);$$

$$M_{bc} = -M_{cp} + M_o \cos 2\theta.$$

სადაც

$$L_{cp} = \frac{L_{\max} + L_{\min}}{2}; \quad L_m = \frac{L_{\max} - L_{\min}}{2};$$

$$M_{cp} = \frac{M_{\max} + M_{\min}}{2}; \quad M_o = \frac{M_{\max} - M_{\min}}{2}.$$

L_{\max} , L_{\min} , M_{\max} , M_{\min} – სტატორის ფაზათა კონტურის თვითინდუქციისა და ურთიერთინდუქციის კოეფიციენტების მაქსიმალური და მინიმალური მნიშვნელობებია.

$$\begin{aligned} M_{af} &= M_f \cos \theta; \\ M_{bf} &= M_f \cos(\theta - 120^\circ); \\ M_{cf} &= M_f \cos(\theta + 120^\circ); \\ M_{ag} &= M_g \cos \theta; \\ M_{bg} &= M_g \cos(\theta - 120^\circ); \\ M_{cg} &= M_g \cos(\theta + 120^\circ); \\ M_{ah} &= -M_h \sin \theta; \\ M_{bh} &= -M_h \sin(\theta - 120^\circ); \\ M_{ch} &= -M_h \sin(\theta + 120^\circ); \\ \theta &= \int_0^t \omega dt + \theta_0. \end{aligned} \tag{1.4}$$

აქ M_t , M_g , M_h – სტატორის ფაზის კონტურის ურთიერთინდუქციის კოეფიციენტების მაქსიმალური მნიშვნელობებია აღგზნების კონტურთან, პორიზონტალურად და გერტიკალურ დემპფერულ კონტურებთან მიმართებაში, ω – როტორის ბრუნვის კუთხეური სიჩქარეა.

სინქრონული მანქანის მოძრაობის განტოლებას, რომელიც ჩაწერილია დალამბერის პრინციპით, აქვს შემდეგი სახე [1,5]:

$$J \frac{dw}{dt} = T_T - T_e \tag{1.5}$$

სადაც T_T – წარმოადგენს როტორის დერძის შიგა ძალების განლაგების მომენტის, ანუ პირველადი ძრავის მომენტის, J – როტორის ინერციისა და მასთან დაკავშირებული მოძრავი ნაწილების მომენტია;

T_e – ელექტრომაგნიტური მომენტია, რომელიც მოქმედებს როტორზე და გამოისახება დამოკიდებულებით:

$$T_e = \frac{J_w}{\theta} \quad (1.6)$$

მაგნიტური ველების ენერგია გამოითვლება შემდეგი ფორმულით:

$$W = \frac{1}{2} \sum_k j_k \Psi_k \quad (1.7)$$

ამ გამოსახულებაში აჯამვა ხდება მანქანის ყველა კონტურის მიხედვით. (1.1) – (1.7) განტოლებები წარმოადგენენ სინქრონული მანქანის განტოლებებს ფაზურ კოორდინატებში.

თუ (1.1) – (1.7) პერიოდულკოეფიციენტებიან განტოლებებს გარდავქმნით მუდმივკოეფიციენტებიან განტოლებებად, შეიძლება მივაღწიოთ სინქრონული მანქანის გარდამავალი პროცესების ანალიზურ გამარტივებას [5].

გადასვლა ფაზური კოორდინატებიდან მუდმივკოეფიციენტებიან განტოლებათა სისტემაზე ხორციელდება პარაგორევის გარდაქმნების დასმარებით.

დენების, ძაბვების და ნაკადშერთვების მყისიერი ფაზური სიდიდეების ნაცვლად შემოიტანება ახალი საანგარიშო სიდიდეები i_d , i_q , i_o , Ψ_d , Ψ_q , Ψ_o , U_d , U_q , U_o , რომლებიც დაკავშირებულნი არიან ფაზურ სიდიდეებთან შემდეგი თანაფარდობებით [7]:

$$\begin{bmatrix} U_{cd} \\ U_{cq} \\ U_{co} \end{bmatrix} = A_c \begin{bmatrix} U_{ca} \\ U_{cb} \\ U_{cc} \end{bmatrix}; \quad (1.8)$$

$$\begin{bmatrix} I_{cd} \\ I_{cq} \\ I_{co} \end{bmatrix} = A_c \begin{bmatrix} I_{ca} \\ I_{cb} \\ I_{cc} \end{bmatrix}; \quad (1.9)$$

$$\begin{bmatrix} \Psi_{cd} \\ \Psi_{cq} \\ \Psi_{co} \end{bmatrix} = A_c \begin{bmatrix} \Psi_{ca} \\ \Psi_{cb} \\ \Psi_{cc} \end{bmatrix}; \quad (1.10)$$

სადაც A_c – პარაგორევის გარდასახვათა მატრიცაა, რომელიც ჩაიწერება შემდეგი სახით:

$$A_c = \frac{2}{3} \begin{bmatrix} \cos \theta & \cos(\theta - 120^\circ) & \cos(\theta + 120^\circ) \\ -\sin \theta & -\sin(\theta - 120^\circ) & -\sin(\theta + 120^\circ) \\ \frac{1}{2} & \frac{1}{2} & \frac{1}{2} \end{bmatrix} \quad (1.11)$$

ახალი საანგარიშო სიდიდეები იწოდებიან A , q , O მდგრადულებად, ხოლო თვით გარდასახვა წარმოადგენს სინქრონული მანქანის განტოლების მიმართებას საკორდინატო დერძებისადმი, რომლებიც უძრავად არიან. A , q , O კოორდინატებიდან ფაზურ კოორდინატებზე გადასვლა ხდება შემდეგი მატრიცის დახმარებით:

$$A_c^{-1} = \begin{bmatrix} \cos \theta & -\sin \theta & 1 \\ \cos(\theta - 120^\circ) & -\sin(\theta - 120^\circ) & 1 \\ \cos(\theta + 120^\circ) & -\sin(\theta + 120^\circ) & 1 \end{bmatrix} \quad (1.12)$$

ახალ კოორდინატულ დერძებში სინქრონული მანქანის გარდამავალი პროცესების განტოლება მატრიცულ ფორმაში შეიძლება ჩაიწეროს შემდეგი სახით:

$$\begin{aligned} U_I &= R_I I_I + (PE + N_I) \Psi_I; \\ \Psi_I &= L_I I_I; \end{aligned} \quad (1.13)$$

$$J \frac{d\omega}{dt} = T_T - \frac{3}{2} (\psi_{cd} i_{cq} - \psi_{cq} i_{cd})$$

$$\text{საფარი } U_I = [U_f, U_{cd}, O, U_{cq}, O, U_{co}]^T$$

$$I_I = [i_f, i_{cd}, i_g, i_{cq}, i_h, i_{co}]^T$$

$$\Psi_I = [\Psi_f, \Psi_{cd}, \Psi_g, \Psi_{cq}, \Psi_h, \Psi_{co}]^T$$

$$R_I = \text{diag}[r_f, r_c, r_g, r_c, r_b, r_c]^T$$

L_f	$\frac{3}{2} M_f$	M_{fg}			
M_f	L_d	M_g			
L	M_{fg}	$\frac{3}{2} M_g$	L_g		
				L_q	M_h
				$\frac{3}{2} M_h$	L_h
					L_{co}

			-ω		
$N_l =$	ω				

E – ერთეულოვანი დიაგონალური მატრიცაა.

სიდიდები

$$L_d = L_{cp} + M_{cp} + \frac{3}{2} M_o; \quad (1.14)$$

$$L_q = L_{cp} + M_{cp} - \frac{3}{2} M_o;$$

წარმოადგენენ სტატორის ფაზის თვითინდუქციის კოეფიციენტებს პორიზონტალური და ვერტიკალური დენებისათვის;

$$L_{co} = L_{cp} - 2M_{cp} \quad (1.15)$$

წარმოადგენს სტატორის ფაზის თვითინდუქციის კოეფიციენტია ნულოვანი მიმდევრობის დენებისათვის.

(1.13) გარდამქმნელ განტოლებას უწოდებენ პარკ-გორევის განტოლებას, რომელიც შეიცავს პერიოდულ კოეფიციენტებს იმდენად, რამდენადაც კოორდინატულ დერძებში ინდუქციის კოეფიციენტების მნიშვნელობები წარმოადგენენ მუდმივ სიდიდეებს. პარკის და გორევის ნაშრომები ერთ-ერთი პირველი საინჟინრო ნამუშევრებია, რომლებიც ეფექტურად გამოიყენება პერიოდულკოეფიციენტებიანი განტოლებათა სისტემის მუდმივგოეფიციენტებიან განტოლებათა სისტემად გარდაჭმისთვის[8,9].

1.1.2. ასინქრონული მანქანის განტოლებები

ასინქრონული მანქანების გარდამავალი პროცესების განტოლებები ფაზურ კოორდინატებში შეიცავს პერიოდულ კოეფიციენტებს, რომელთა რაოდენობაც განპირობებულია იმ ფაქტით, რომ სტატორის

ფაზათა კონტურების ურთიერთინდუქციის კოეფიციენტები არიან პერიოდული ფუნქციები, რომლებიც დამოკიდებული არიან როტორის მდგომარეობაზე. თუ მივიღებთ, რომ სტატორს და როტორს აქვთ სამფაზა სიმეტრიული გრაგნილები, შეიძლება ასინქრონული მანქანის გარდამავალი ელ.მაგნიტური პროცესების განტოლებები ფაზურ კოორ-დინატებში ჩაიწეროს შემდეგი სახით[1,5,7,8,9,10]:

$$\begin{aligned} U_{ca} &= r_c i_{ca} + \frac{d\Psi_{ca}}{dt}; \\ U_{cb} &= r_c i_{cb} + \frac{d\Psi_{cb}}{dt}; \\ U_{cc} &= r_c i_{cc} + \frac{d\Psi_{cc}}{dt}; \\ U_{pa} &= r_p i_{pa} + \frac{d\Psi_{pa}}{dt}; \\ U_{pb} &= r_p i_{pb} + \frac{d\Psi_{pb}}{dt}; \\ U_{pc} &= r_p i_{pc} + \frac{d\Psi_{pc}}{dt}; \end{aligned} \quad (1.16)$$

სადაც U_{ca} , U_{cb} , U_{cc} , i_{ca} , i_{cb} , i_{cc} , U_{pa} , U_{pb} , U_{pc} , i_{pa} , i_{pb} , i_{pc} , – შესაბამისად ფაზური ძაბვები და დენებია სტატორის და როტორის გრაგნილების-თვის; r_c , r_p – სტატორისა და როტორის ფაზათა გრაგნილების აქტიური წინაღობებია; Ψ_{ca} , Ψ_{cb} , Ψ_{cc} , Ψ_{pa} , Ψ_{pb} , Ψ_{pc} – სტატორისა და როტორის ფაზების კონტურების ნაკადშერთვებია.

ასინქრონული მანქანის როტორის მაძრაობის განტოლებას აქვს შემდეგი სახე:

$$J_M \frac{d^2\theta}{dt^2} = -T_c + T_e, \quad (1.17)$$

სადაც T_c – ამძრავი მექანიზმის წინაღობის მომენტია; T_e – ელექტრომექანიკური მომენტია, რომელიც განისაზღვრება (1.6), (1.7) განტოლებებით.

d , q , o ფაზური სიდიდეებიდან მოძრავ კორდინატულ სისტემაში ω_K თავისუფალი სიჩქარით გადასვლა ხორციელდება სინქრონული მანქანების განტოლებების ანალოგურად.

ასინქრონული მანქანის განტოლება მატრიცული ფორმით
ჩაიწერება შემდეგნაირად:

$$U_{II} = R_{II} I_{II} + (PE + M_{II}) \Psi_{II}; \quad (1.18)$$

$$J_M \frac{d\omega}{dt} = \frac{3}{2} L_{ad}(i_{pd}i_{cq} - i_{pq}i_{cd}) - T_c,$$

$$\text{საფასო } U_{II} = [U_{cd}, U_{cq}, U_{pd}, U_{pq}, U_{co}, U_{po}]^T$$

$$I_{II} = [i_{cd}, i_{cq}, i_{pd}, i_{pq}, i_{co}, i_{po}]^T;$$

$$\Psi_{II} = [\Psi_{cd}, \Psi_{cq}, \Psi_{pd}, \Psi_{pq}, \Psi_{co}, \Psi_{po}]^T;$$

$$R_{II} = d_{diag}[r_c, r_c, r_p, r_p, r_c, r_p];$$

	L _{c1}		L _{ad}		
		L _{c1}		L _{ad}	
L	L _{ad}		L _{p1}		
L _{LI} =		L _{ad}		L _{p1}	
					L _{co}
					L _{po}

	-ω _k				
N	ω _k				
N _{II} =				ω - ω _k	
		ω _k - ω			

$L_{c1} = L_c - M_c -$ სტატორის ფაზების ინდუქციის კოეფიციენტია პირდაპირი
მიმდევრობის დენებისათვის; $L_{co} = L_c + 2M_c -$ იგივე პირდაპირი ნულოვანი
მიმდევრობის დენებისათვის; $L_{ad} = \frac{3}{2} M$; $L_{p1} = L_p - M_p -$ როტორის ფაზების
თვითინდუქციის კოეფიციენტი პირდაპირი მიმდევრობის დენებისათვის;
 $L_{p0} = L_p - 2M_p -$ იგივე ნულოვანი მიმდევრობის დენებისათვის.

(1.18) განტოლება არ შეიცავს პერიოდულ კოეფიციენტებს, ამასთან პერიოდული კოეფიციენტები (სინქრონული მანქანისგან განსხვავებით) გამოირიცხებიან ასინქრონული მანქანის განტოლებებიდან საკორდინატო დერძების ბრუნვის სიჩქარის ω_k ნებისმიერი შეჩვენებას, რაც განპირობებულია ასინქრონული მანქანის სიმეტრიულობით. თუ განვიხილავთ ასინქრონული მანქანის მოძრაობას, როცა $\omega = \text{cost}$, მაშინ მისი გარდასახული განტოლებები დაბულობენ წრფივი განტოლებების სახეს მუდმივი კოეფიციენტებით.

1.1.3. ელექტრული ქსელის განტოლებები

ფაზურ კოორდინატებში r_a, L_a, c_a წრედის განტოლება, ბოლოებში U_1, U_2 ძაბვებით, შეიძლება ჩაიწეროს შემდეგნაირად:

$$\begin{aligned} U_{2a} &= U_{1a} - r_\wedge i_{\wedge a} - L_\wedge \frac{d_{i\wedge a}}{dt} - M_\wedge \frac{d_{i\wedge b}}{dt} - M_\wedge \frac{d_{i\wedge c}}{dt} - \frac{1}{C_\wedge} \int i_{\wedge a} dt; \\ U_{2b} &= U_{1b} - r_\wedge i_{\wedge b} - M_\wedge \frac{d_{i\wedge a}}{dt} - L_\wedge \frac{d_{i\wedge b}}{dt} - M_\wedge \frac{d_{i\wedge c}}{dt} - \frac{1}{C_\wedge} \int i_{\wedge b} dt; \\ U_{2c} &= U_{1c} - r_\wedge i_{\wedge c} - M_\wedge \frac{d_{i\wedge a}}{dt} - M_\wedge \frac{d_{i\wedge b}}{dt} - L_\wedge \frac{d_{i\wedge c}}{dt} - \frac{1}{C_\wedge} \int i_{\wedge c} dt; \end{aligned} \quad (1.19)$$

სადაც $r_\wedge, L_\wedge, M_\wedge$ – შესაბამისად ფაზის აქტიური წინაფობაა, ფაზის კონტრის თვითინდუქციის კოეფიციენტი და ორი ფაზის კონტრის ურთიერთინდუქციის კოეფიციენტებია; C_\wedge – წრედის გამჭოლი ტევადობაა.

(1.19) განტოლებები წარმოადგენენ მუდმივკოეფიციენტებიან წრფივ დიფერენციალურ განტოლებებს. მათი გარდასახვით მბრუნავ კოორდინატულ სისტემაში (U_1 –ღერძთან, მბრუნავი ω_1 სიჩქარით; U_2 –ღერძთან $-\omega_2$ სიჩქარით; i_\wedge ღერძთან $-\omega_k$ სიჩქარით) მივიღებთ [6]:

$$\begin{aligned} U_{1d} \cos(\theta_k - \theta_1) + U_{1q} \sin(\theta_k - \theta_1) - U_{2d} \cos(\theta_k - \theta_2) - U_{2q} \sin(\theta_k - \theta_2) - r_\pi I_{\pi d} - \\ - L_{\pi 1} \frac{di_{\pi d}}{dt} + L_{\pi 1} i_{\pi q} \frac{d\theta_k}{dt} = \frac{1}{C_\pi} \int i_{\pi d} dt + \int \left[-U_{1d} \sin(\theta_k - \theta_1) + U_{1q} \cos(\theta_k - \theta_1) + \right. \\ \left. + U_{2d} \sin(\theta_k - \theta_2) - U_{2q} \cos(\theta_k - \theta_2) - r_\pi i_{\pi q} - L_{\pi 1} \frac{di_{\pi q}}{dt} - L_{\pi 1} i_{\pi d} \frac{d\theta_k}{dt} \right] \frac{d\theta_k}{dt} dt; \end{aligned}$$

$$\begin{aligned}
& -U_{1d} \sin(\theta_k - \theta_1) + U_{1q} \cos(\theta_k - \theta_1) + U_{2d} \sin(\theta_k - \theta_2) - U_{2q} \cos(\theta_k - \theta_2) - r_\pi i_{\pi q} - \\
& - L_{\pi 1} \frac{di_{\pi q}}{dt} - L_{\pi 1} i_{\pi d} \frac{d\theta_k}{dt} = \frac{1}{C_\pi} \int i_{\pi q} dt + \int [-U_{1d} \cos(\theta_k - \theta_1) - U_{1q} \sin(\theta_k - \theta_1) + U_{2d} \cos(\theta_k - \theta_2) + \\
& + U_{2q} \sin(\theta_k - \theta_2) + r_\pi i_{\pi d} + L_{\pi 1} \frac{di_{\pi d}}{dt} - L_{\pi 1} i_{\pi q} \frac{d\theta_k}{dt}] \frac{d\theta_k}{dt} dt; \\
& U_{10} - U_{20} - r_\pi i_{\pi 0} - L_{\pi 0} \frac{di_{\pi 0}}{dt} = \frac{1}{C_\pi} \int i_{\pi 0} dt,
\end{aligned} \tag{1.20}$$

სადაც, $L_{\pi 1} = L_\pi - M_\pi$; $L_{\pi 0} = L_\pi + 2M_\pi$ – წრედის თვითინდუქციის კოეფიციენტებია პირდაპირი და ნულოვანი მიმდევრობის დენებისათვის.

(1.19) და (1.20) განტოლებები შედგენილია ელექტრული ქსელის ყველა პარამეტრისათვის და ერთიანდებიან ელექტრული ქსელის კვანძებისათვის კირხოვის პირველი კანონის განტოლებებთან. ამ დამოკიდებულებებს j კვანძისათვის შეიძლება ჰქონდეთ შემდეგი სახე:

$$\sum_j i_j = 0 \tag{1.21}$$

სადაც $j = j$ კვანძთან მიერთების შტოების რაოდენობაა. (1.19) და (1.20) განტოლებების შერწყმით კირხოვის II კანონთან ელექტრული ქსელის კონტურებისთვის მივიღებთ [11]:

$$\sum_l U_l = 0 \tag{1.22}$$

სადაც $l = l$ – არის ელემენტების რაოდენობა, რომლებიც შედიან m -ურ კონტურში.

1.1.4 მთლიანი ენერგოსისტემის მათემატიკური მოდელი

იმისათვის, რომ ჩავწეროთ ენერგოსისტემის გარდამავალი პროცესის მთლიანი მათემატიკური მოდელების განტოლება, ენერგოსისტემის ცალკეული ელემენტებისათვის უნდა მივიღოთ კოორდინატთა სისტემა და დენების მიმართულება. დენების დადებით მიმართულებად მივიღოთ დენის მიმართულება ქსელიდან მანქანაში, ყ იყოს ვერტიკალური (ორდინატთა) დერძი, d – პორიზონტალური (აბსცისათა) [1,5].

მთლიანი ენერგოსისტემის მათემატიკური მოდელის განტოლებების ოპტიმალურად ჩაწერისთვის სინქრონული მანქანების ტოლობა

უნდა ჩაიწეროს მბრუნავ კოორდინატებში, რომლებიც მყარად არიან დაკავშირებული ერთმანეთთან მანქანის როტორით. ასინქრონული მანქანებისა და სტატიკური ელემენტების განტოლებები ჩაიწერებიან მბრუნავ კოორდინატებში, რომლებიც ხისტად არიან დაკავშირებული ერთ-ერთი სინქრონული მანქანის როტორთან ან ფაზურ კოორდინატებთან [1,11].

ელექტრული ქსელის განტოლება ჩავწეროთ კვანძური ძაბვების მეთოდით, როცა არ არსებობენ დენის ნულოვანი მდგენელები. ელექტრული ქსელის და ასინქრონული მანქანების განტოლებები შევუფარდოთ დერძებს, რომლებიც ხისტად არიან დაკავშირებული ერთ-ერთი სინქრონული მანქანის როტორთან. ვთქვათ ეს არის მანქანა n კვანძში. ამ დროს მანქანის ჰორიზონტალური – ნამდვილი დერძებისა და წარმოსახვითი – ვერტიკალური დერძების თანხვედრისას ელექტრული ქსელის მდგომარეობის განტოლება j კვანძისთვის, (1.20) განტოლების გათვალისწინებით, კომპლექსურ ფორმაში ჩაიწერება შემდეგნაირად [5]:

$$\underline{U}_j \underline{Y}_{jj} + \sum_q (\underline{U}_j - \underline{U}_q) \underline{Y}_{jq} + \underline{I}_{jc} + \underline{I}_{ja} = 0 \quad (1.23)$$

სადაც $\underline{I}_{jc}, \underline{I}_{ja}$ – დენებია, რომლებიც განპირობებულია j კვანძში სინქრონული და ასინქრონული მანქანების არსებობით; $\underline{Y}_{jq} = jq$ შტოს გამტარიანობა, რომელიც აკმაყოფილებს გამოსახულებას:

$$\underline{Y}_{jq} = \frac{1}{r + (p + jw_k)L_{\wedge_1} + \frac{1}{(p + jw_k)C_{\wedge}}} \quad (1.24)$$

\underline{Y}_{jq} ახდენს j კვანძში სტატიკური დატვირთვის მოდელირებას. თუ სტატიკური დატვირთვა წარმოდგენილია r_H, L_H წრედის სახით, მაშინ

$$\underline{Y}_{jj} = \frac{1}{r_H + (p + jw_k)L_H} \quad (1.25)$$

ჩაკეტილი სისტემების მისაღებად საჭიროა სინქრონული მანქანების განტოლებებსა და ელექტრული ქსელის მდგომარეობის განტოლებას დაემატოს სხვადასხვა კოორდინატთა სისტემის კავშირის განტოლებები, რომლებიც შეიძლება ჩავწეროთ შემდეგი სახით [5,11,12]:

$$\begin{aligned}
U'_j &= U_{cdj} \cos \delta_{jn} - U_{cqj} \sin \delta_{jn} \\
U''_j &= U_{cdj} \sin \delta_{jn} + U_{cqj} \cos \delta_{jn} \\
I'_{jc} &= i_{cdj} \cos \delta_{jn} - i_{cqj} \sin \delta_{jn} \\
I''_{jc} &= i_{cdj} \sin \delta_{jn} + i_{cqj} \cos \delta_{jn}
\end{aligned} \tag{1.26}$$

ტალღური პროცესების გათვალისწინებით გრძელი ხაზის განტოლება ჩავწეროთ α, β, σ კოორდინატებში და დავუმატოთ ფაზური კოორდინატების კავშირების განტოლებები α, β, σ კოორდინატებში.

d, q, σ კოორდინატებში გარდასახვის მატრიცას აქვს შემდეგი სახე:

$$A_{d\alpha} = A_c S_{II}^{-1} = \begin{bmatrix} \cos \theta & \sin \theta & 0 \\ -\sin \theta & \cos \theta & 0 \\ 0 & 0 & 1 \end{bmatrix} \tag{1.27}$$

1.1.5 ენერგოსისტემის მთლიანი მათემატიკური მოდელის თავისებურებები

განვიხილოთ უმარტივესი ენერგოსისტემების გარდამავალი პროცესების განტოლებები, რომლებიც შედგება ორი სინქრონული მანქანისგან და მუშაობენ სტატიკურ დატვირთვაზე, რომელსაც წარმოადგენს პარამეტრები r_H, L_H . სიმარტივისათვის გამოყენებულია არარეგულარული სინქრონული მანქანები უდემპფერო კონტურებით სიმეტრიულ რეჟიმში. გამოყენებულია მთლიანი მათემატიკური მოდელის განტოლებები მბრუნავ კოორდინატთა დერმებში. სინქრონული მანქანების განტოლებები უკავშირდებიან მათ როტორებს (1.13) განტოლების საფუძველზე და ჩაიწერებიან შემდეგნაირად [1,5,11,13]:

$$\begin{aligned}
U_{cdj} &= r_{cj} i_{cdj} + \frac{d}{dt} (L_{dj} i_{cdj} + M_{fj} i_{fj}) - L_{qj} i_{cqj} \omega_j; \\
U_{cqj} &= r_{cj} i_{cqj} + \frac{d}{dt} (L_{qj} i_{cqj}) + (L_{dj} i_{cdj} + M_{fj} i_{fj}) \cdot \omega_j; \\
U_{fj} &= r_{fj} i_{fj} + \frac{d}{dt} \left(\frac{3}{2} M_{fj} i_{cdj} + L_{fj} i_{fj} \right); \\
J_j \frac{d\omega_j}{dt} &= T_{Tj} - \frac{3}{2} [M_{fj} i_{fj} i_{cqj} + (L_{dj} - L_{qj}) i_{cdj} i_{cqj}],
\end{aligned} \tag{1.28}$$

სადაც $j=1,2$

დატვირთვის წრედის განტოლებები შეძლება ჩაიწეროს შემდეგი სახით:

$$\begin{aligned} U_{cd1} &= r_H i_{Hd} + L_H \frac{di_{Hd}}{dt} - L_H i_{Hq} \omega_1 \\ U_{cq1} &= r_H i_{Hq} + L_H \frac{di_{Hq}}{dt} + L_H i_{Hd} \omega_1 \end{aligned} \quad (1.29)$$

კირხოფის I კანონი დატვირთვის კვანძისთვის და I და II სინქრონული მანქანებისთვის შეიძლება ჩაიწეროს შემდეგი სახით [11]:

$$\begin{aligned} i_{cd1} + i_{cd2} \cos \delta + i_{cq2} \sin \delta + i_{Hd} &= 0; \\ i_{cq1} + i_{cq2} \cos \delta - i_{cd2} \sin \delta + i_{Hq} &= 0; \\ U_{cd1} &= U_{cd2} \cos \delta + U_{cq2} \sin \delta; \\ U_{cq1} &= -U_{cd2} \sin \delta + U_{cq2} \cos \delta. \end{aligned} \quad (1.30)$$

$$\delta = \int_o^t (\omega_1 - \omega_2) dt + \delta_0 \quad (1.31)$$

(1.28) – (1.31) განტოლებები აღწერენ განხილული სისტემის გარდამავალ პროცესებს. მათი ერთობლივი ამოხსნა საშუალებას იძლევა აღგწეროთ ელექტრომაგნიტური და ელექტრომექანიკური პროცესები.

(1.28) – (1.31)-დან ჩანს, რომ მბრუნავ კოორდინატებში მთლიანი მათემატიკური მოდელის ჩაწერისას სინქრონული მანქანების განტოლებებიდან გამოირიცხება პერიოდული კოეფიციენტები, ამასთან ეს კოეფიციენტები ($\sin \delta, \cos \delta$) გარდაიქმნებიან მანქანის როტორებს შორის კუთხის პერიოდულ ფუნქციებად, რომელთა ცვალებადობა დროში აღიწერება (1.31) განტოლებით.

1.2 მრავალმანქანიანი სისტემების გამარტივებული ვარიანტები

1.2.1 ჩქარი ელექტრომაგნიტური პროცესების კვლევის მათემატიკური მოდელი

ეს მოდელი არის მთლიანი მოდელის კერძო შემთხვევა და მიიღება მისგან ჩქარი მოძრაობის გამოყოფით, სინქრონული და ასინქრონული მანქანების როტორების ბრუნვის კუთხური სიჩქარეების შემაგრების გზით სინქრონული მანქანების როტორების ბრუნვის კუთხური სიჩქარეების ერთნაირი მნიშვნელობებისას.

i-ური სინქრონული მანქანებისთვის ჩქარი ელექტრომაგნიტური პროცესების განტოლება (1.13)-ის საფუძველზე ჩაიწერება შემდეგი სახით:

$$U_{li} = R_{li} I_{li} + (PE + N_{li}) \Psi_{li}; \quad (1.33)$$

$$\Psi_{li} = L_{li} I_{li}$$

განტოლებებს წრედისთვის $r_{\wedge}, L_{\wedge}, C_{\wedge}$ პარამეტრებით (1.20)-ის საფუძველზე ექნება სახე:

$$\begin{aligned} U_{1d} - U_{2d} - r_{\wedge} i_{\wedge d} - L_{\wedge l} \frac{di_{\wedge d}}{dt} + L_{\wedge l} i_{\wedge q} \omega_0 &= \frac{1}{C_{\wedge}} \int i_{\wedge d} dt + \int \left[U_{1q} - U_{2q} - r_{\wedge} i_{\wedge q} - L_{\wedge l} \frac{di_{\wedge q}}{dt} - L_{\wedge l} i_{\wedge d} \omega_0 \right] \omega_0 dt; \\ U_{1q} - U_{2q} - r_{\wedge} i_{\wedge q} - L_{\wedge l} \frac{di_{\wedge q}}{dt} + L_{\wedge l} i_{\wedge d} \omega_0 &= \frac{1}{C_{\wedge}} \int i_{\wedge q} dt + \int \left[-U_{1d} - U_{2d} - r_{\wedge} i_{\wedge d} - L_{\wedge l} \frac{di_{\wedge d}}{dt} - L_{\wedge l} i_{\wedge q} \omega_0 \right] \omega_0 dt; \\ U_{10} - U_{20} - r_{\wedge} i_{\wedge 0} - L_{\wedge 0} \frac{di_{\wedge 0}}{dt} &= \frac{1}{C_{\wedge}} \int i_{\wedge 0} dt. \end{aligned} \quad (1.34)$$

მოცემული განტოლებები მიღებულია ენერგოსისტემის ყველა ელემენტისთვის და წარმოადგენენ ჩქარი ელექტრომაგნიტური პროცესების მოდელს, რომელიც არაწრფივია თავისი მუდმივი კოეფიციენტებით სიმეტრიული რეჟიმებისთვის [1,5,13,14].

1.2.2. ჟდანოვის მოდელი

გასაშუალების პირველი მეთოდის გამოყენება იწვევს ჟდანოვის მათემატიკური მოდელის გამარტივებას.

ენერგოსისტემებისთვის იმ მოდელის განტოლებებს, რომლებიც შედგებიან n -სინქრონული და l -ასინქრონული მანქანებისგან, კომპლექსურ ფორმაში ელექტრომაგნიტური პროცესების გაუთვალისწინებლად, ექნებათ შემდეგი სახე:

$$\begin{aligned} J_i \frac{d\omega_i}{dt} &= T_{Ti}(\omega_i) - T_{ei}(\delta_{1n}, \dots, \delta_{(n-1)n}, \omega_1, \dots, \omega_n, \omega_{M1}, \dots, \omega_{ml}); \\ J_M \frac{d\omega_{mv}}{dt} &= -T_{cv}(\omega_{mv}) + T_{ev}(\delta_{1n}, \dots, \delta_{(n-1)n}, \omega_1, \dots, \omega_n, \omega_{ml}, \dots, \omega_{ml}); \\ \frac{d\delta_{in}}{dt} &= \omega_i - \omega_n. \end{aligned} \quad (1.35)$$

სადაც $i=1,2,\dots,n$; $\nu=1,2,\dots,l$; δ_{1n} – i -ური და n -ური სინქრონული მანქანების როტორებს შორის ურთიერთძვრის კუთხეა; ω_i – i -ური სინქრონული მანქანის როტორის ბრუნვის კუთხური სიჩქარეა; ω_{mv} – ν -ური ასინქრონული მანქანის როტორის ბრუნვის კუთხური სიჩქარეა.

(1.35)-ში შემავალი ფუნქციების ცხადი ანალიტიკური გამოსახულებები შეიძლება მიღებულ იქნეს ელექტრული ქსელის მხოლოდ უბრალო წრფივი მოდელების შემთხვევაში.

ჟდანოვის მოდელს ორგენერატორიანი სისტემისთვის, რომელიც მოლიანი მოდელიდან მიიღება, აქვს შემდეგი სახე:

$$\begin{aligned} J_1 \frac{d\omega_1}{dt} &= T_{T1} - \frac{1}{\omega_1} \frac{3}{2} \left[\frac{Eq_1^2}{Z_{11}} \sin \alpha_{11} + \frac{E_{q1} E_{q2}}{Z_{12}} \sin(\delta_{12} - \alpha_{12}) \right]; \\ J_2 \frac{d\omega_2}{dt} &= T_{T2} - \frac{1}{\omega_2} \frac{3}{2} \left[\frac{Eq_2^2}{Z_{22}} \sin \alpha_{22} + \frac{E_{q1} E_{q2}}{Z_{21}} \sin(\delta_{21} - \alpha_{21}) \right]; \\ \frac{d\delta_{12}}{dt} &= \omega_1 - \omega_2. \end{aligned} \quad (1.36)$$

სადაც $E_{q1} = \omega_1 M_{f1} i_{f1}$, $E_{q2} = \omega_2 M_{f2} i_{f2}$ – ელექტრომამოძრავებელი ძალებია; Z_{11} , Z_{22} , Z_{12} , Z_{21} , α_{11} , α_{22} , α_{12} , α_{21} – შესაბამისად საკუთრივი და ურთიერთწინაღობების არგუმენტებისთვის მოდელები და დამატებითი კუთხეებია [1,5,15,16,17,18,19,20].

1.2.3 პოზიციური მოდელი

პოზიციური მოდელის განტოლებების არაცხადი სახით ჩაწერა სტატიკური მახასიათებლების ასინქრონული დატვირთვის გათვალისწინებით (1.35)-დან გამომდინარე, ხდება შემდეგნაირად:

$$\frac{d^2\delta_{in}}{dt^2} = \frac{1}{J_i}[T_{Ti} - T_{ei}(\delta_{1n}, \dots, \delta_{(n-1)n})] - \frac{1}{J_n}[T_{Tn} - T_{en}(\delta_{1n}, \dots, \delta_{(n-1)n})] \quad (i=1,2,\dots,n-1) \quad (1.37)$$

პოზიციური მოდელი გამოიყენება სინქრონული მანქანების ფარდობითი მოძრაობის ანალიზისთვის და მისი გამოყენება შეიძლება მაშინ, როცა უნდა გამოვიკვლიოთ პროცესები, დამოკიდებული სინქრონული მანქანების როტორების ბრუნვის კუთხეურ სიჩქარეზე.

არსებობენ ამ პრინციპზე აგებული სხვა გამარტივებული მათვა მატიკური მოდელები. განვიხილოთ მათ შორის ყველაზე ხშირად გამოყენებული n -კვანძში ω_0 სიხშირიანი უსასრულო სიმძლავრის სალტის გამარტივებული მათვა მატიკური მოდელი [5,19].

სინქრონული გენერატორის როტორის მოძრაობა (1.13)-ის გათვალისწინებით ასე აღიწერება:

$$T_{ji} \frac{d^2\delta_{rin}}{dt^2} = P_{Ti} - \frac{3}{2} [E_{qi}^2 Y_{ii} \sin \alpha_{ii} + E_{qi} U_i Y_{EUi} \sin(\delta_{EVi} - \alpha_{EVi})] \quad (1.38)$$

სადაც $\delta_{rin} - i$ -ური სინქრონული მანქანის როტორის და ექვივალენტურ უსასრულო სიმძლავრის გენერატორის სალტეს შორის კუთხეა; $E_{qi} - i$ -ური სინქრონული მანქანის ფიქტიური ემბ; $U_i - i$ -ური სინქრონული მანქანის ელექტრულ ქსელთან შეხების კვანძში ძაბვის მოდულია; $Y_{ii}, \alpha_{ii}, Y_{EUi}, \alpha_{EUi} -$ საკუთარი და საერთო გამტარობის არგუმენტების მოდულები და დამატებითი კუთხეებია E_{Qi} და U_i კვანძებისთვის; $P_{II} - i$ -ური სინქრონული მანქანის პირველადი ძრავის სიმძლავრეა; $T_{ji} = J_i \omega_0$.

i-ური სინქრონული მანქანის აღგზნების გრაგნილში ელექტრომა-გნიტური გარდამავალი პროცესების განტოლება (1.13)-ის საფუძველზე გარდაიქმნება შემდეგნაირად:

$$T_{doi} \frac{dE'_{qi}}{dt} = E_{qei} - E_{qi} \quad (1.39)$$

სადაც E'_{qi} -X'_d გარდამავალი წინაღობის ემბ-ს; E_{qei} - ემბ-ის სტაციონალური მნიშვნელობაა, რომელიც პროპორციულია აღგზნების გრაგნილის ძაბვისა; T_{doi} - აღგზნების გრაგნილის დროის მუდმივად.

გამარტივებული მოდელისთვის i-ური სინქრონული მანქანის როტორის მოძრაობის განტოლებას აქვს სახე:

$$T_{ji} \frac{d^2\delta_{in}}{dt^2} = P_{Ti} - \frac{3}{2} \left[E_{Qi}^2 Y_{ii_3k} \sin \alpha_{ii_3k} + \sum_{j=1}^n E_{Qi} E_{Qj} \sin(\delta_{ij} - \alpha_{ij_3k}) \right] \quad (1.40)$$

i-ური სინქრონული მანქანისთვის E'_{qi} და E_{Qi} ცვლადების კავშირის განტოლებას აქვს სახე:

$$\frac{E'_{qi}}{x_{qi} - x_{di}} = E_{Qi} \left(\frac{1}{x_{qi} - x_{di}} - Y_{ii_3k} \cos \alpha_{ii_3k} \right) + \sum_{\substack{j=1 \\ j \neq i}}^n E_{Qi} Y_{ij_3k} \cos(\delta_{ij} - \alpha_{ij_3k}) \quad (1.41)$$

უფრო გამარტივებული მოდელი მიიღება იმ შემთხვევაში, როცა აღგზნების რეგულირების მოქმედებით შეიძლება უზრუნველყოფილი იქნეს ზოგიერთი E_{i_3k} ემბ-ის მუდმივობა ექვივალენტური რეაქტიული წინაღობით x_i , რომელიც დამოკიდებულია აღგზნების რეგულატორის მახასიათებელზე. ამ მოდელის მოძრაობის განტოლება ჩაიწერება შემდეგნაირად:

$$T_{ji} \frac{d^2\delta_{in}}{dt^2} = P_{Ti} - E_i^2 Y_{ii_3k} \sin \alpha_{ii_3k} - \sum_{j=1}^h E_i E_j Y_{ij_3k} \sin(\delta_{ij} - \alpha_{ij_3k}) \quad (1.42)$$

სადაც $E_i = \sqrt{\frac{3}{2}} E_{i_3k}$; $E_j = \sqrt{\frac{3}{2}} E_{i_3k}$; x_i - გათვალისწინებულია საკუთრივ და ურთიერთგამტარობაში ($i=1,2,\dots,n-1$). მოდელის შემდგომ გამარტივებად ითვლება კონსერვატიულ მოდელებზე გადასვლა, როგორც დამატებითი კუთხე α_{ij_3k} ხდება ნულის ტოლი [5,19,20].

1.2.4. ელექტრულ ქსელში გასაშუალებული პროცესების მოდელი

ელექტრულ ქსელში მრავალსიხშირული დენების და ძაბვების შეცვლას ერთსიხშირულით მივყავართ მოდელის გამარტივებამდე, რომელსაც შეიძლება ვუწოდოთ ელექტრული ქსელის გასაშუალებული პროცესების მათემატიკური მოდელი. ასეთი ტიპის მოდელის რეალიზაციისას უნდა განვიხილოთ სინქრონული მანქანების მუშაობა შეკავშირების კვანძზე, როგორც მიწოდებული ძაბვის მომჭერებზე და გავაერთიანოთ სხვადასხვა სიხშირის წრედები ენერგეტიკული ბალანსის განტოლებებით [1,5,19,21,22].

გასაშუალების ერთ-ერთ საშუალებას, რომელიც აკმაყოფილებს მოცემულ პირობებს, წარმოადგენს ელ.სიმძლავრეების ან მომენტის საშუალო მნიშვნელობის განსაზღვრა [1,5]:

$$\omega_e = \frac{\sum_i \omega_i P_{\vartheta \wedge i}}{\sum_i P_{\vartheta \wedge i}} \quad (1.43)$$

$$\text{ანუ} \quad \omega_e = \frac{\sum_i \omega_i J_i}{\sum_i J_i} \quad (1.44)$$

ჩავწეროთ გასაშუალების მათემატიკური მოდელები ენერგოსისტეთვის, რომელსაც აქვს n-სინქრონული, ლ-ასინქრონული მანქანა და m-ელექტრული ქსელის კვანძი. j-ური სინქრონული მანქანის მოძრაობის განტოლება ჩაიწერება შემდეგი სახით:

$$\begin{aligned} U_j &= R_j I_j + (PE + N_j) \Psi_j; \\ \Psi_j &= L_j I_j; \\ J_j \frac{dwj}{dt} &= T_{Tj} - \frac{3}{2} (\Psi_{cdj} i_{c妖} - \Psi_{c妖} i_{c妖}), \end{aligned} \quad (1.45)$$

სადაც $j=1,2,\dots,n$.

ν -ური ასინქრონული მანქანის მოძრაობის განტოლება ჩაიწერება შემდეგი სახით:

$$\begin{aligned}
U_{H\nu} &= R_{H\nu} I_{H\nu} + (pE + N_{H\nu}) \Psi_{H\nu}; \\
\Psi_{H\nu} &= L_{H\nu} I_{H\nu}; \\
J_{M\nu} \frac{d\omega_\nu}{dt} &= \frac{3}{2} L_{adv} (i_{pd\nu} i_{cq\nu} - i_{pq\nu} i_{cd\nu}) - T_{cv}, \\
\text{სადაც } \nu &= 1, 2, \dots, l.
\end{aligned} \tag{1.46}$$

ეოველი {j}-ური ელექტრული ქსელისათვის (მათ შორის სინქრონული და ასინქრონული მანქანების შეერთების კვანძებისათვის) ელექტრული ქსელის სტაციონალური მდგომარეობის განტოლებები აქტიური და რეაქტიული სიმძლავრეების ბალანსის განტოლებების სახით ჩაიწერება შემდეგნაირად [1,5,22,23]:

$$\begin{aligned}
U_j^2 Y_{jj} \sin \alpha_{jj} \gamma y + \sum_q U_j U_q Y_{jq} \sin(\delta_{jn} - \delta_{qn} - \alpha_{jq}) + P_{jH}(U_j, \omega_c) + P_{jc} + P_{ja} &= 0; \\
U_j^2 Y_{jj} \cos \alpha_{jj} - \sum_q U_j U_q Y_{jq} \cos(\delta_{jn} - \delta_{qn} - \alpha_{jq}) + Q_{jH}(U_j, \omega_c) + Q_{jc} + Q_{ja} &= 0.
\end{aligned} \tag{1.47}$$

სადაც $j = 1, 2, \dots, m$.

განტოლების რიცხვის უცნობთა რიცხვთან შესაბამისობაში მოსაყვანად აუცილებელია სინქრონული, ასინქრონული მანქანების და ელექტრული ქსელის ცვლადების კავშირის დამატებითი განტოლებათა სისტემის შედგენა. სინქრონული მანქანისათვის, რომელიც შეერთებულია j კვანძთან, ეს განტოლებები ჩაიწერება შემდეგი სახით [5]:

$$\begin{aligned}
P_{jc} &= U_{cdj} i_{cdj} + U_{cqj} i_{cqj}; \\
Q_{jc} &= U_{cqj} i_{cdj} - U_{cdj} i_{cqj}; \\
U_j^2 &= U_{cdj}^2 + U_{cqj}^2; \\
\delta_{jn} &= \delta_{rjn} + \arctg \frac{U_{cqj}}{U_{cdj}}; \\
\frac{d\delta_{rjn}}{dt} &= \omega_j - \omega_n.
\end{aligned} \tag{1.48}$$

სადაც δ_{rjn} – კუთხეა სინქრონული მანქანის j როტორის პორიზონტალურ დერძსა და გენერატორის პორიზონტალურ დერძს შორის.

ასინქრონული მანქანისათვის, რომელიც მირეთებულია ν კვანძზე, კავშირის განტოლება შეიძლება ჩაიწეროს შემდეგნაირად:

$$\begin{aligned}
P_{va} &= U_{cdv} i_{cdv} + U_{cdv} i_{cqv}; \\
Q_{va} &= U_{cdv} i_{cdv} - U_{cdv} i_{cqv}; \\
U_v^2 &= U_{cdv}^2 + U_{cqv}^2; \\
\delta_{vn} &= \operatorname{arctg} \frac{U_{cqv}}{U_{cdv}}.
\end{aligned} \tag{1.49}$$

ორმანქანურ ენერგოსისტემებში სინქრონული მანქანებისთვის
მოცემულ განტოლებებს აქვთ შემდეგი სახე:

$$\begin{aligned}
U_{cdj} &= r_{cj} i_{cdj} + \frac{d}{dt} (L_{dj} j_{cdj} + M_{fj} i_{fj}) - L_{qj} j_{cqj} \omega_j; \\
U_{cqj} &= r_{cj} i_{cqj} + \frac{d}{dt} (L_{dq} j_{cdj}) - (L_{dq} j_{cdj} + M_{fj} j_{fj}) \omega_j; \\
U_{fj} &= r_{fj} i_{fj} + \frac{d}{dt} \left(\frac{3}{2} M_{fj} i_{cdj} + L_{fj} i_{fj} \right); \\
J_j \frac{dw_j}{dt} &= T_{Tj} - \frac{3}{2} [M_{fj} i_{fj} i_{cqj} + (L_{dq} - L_{qj}) i_{cdj} i_{cqj}].
\end{aligned} \tag{1.50}$$

სადაც $j=1,2$.

ენერგეტიკული ბალანსის განტოლება დატვირთვის კვანძში
პარამეტრებით r_H, L_H და ცვლადების კავშირის განტოლება ჩაიწერება
შემდეგი სახით [1,5,24,25,26,27]:

$$\begin{aligned}
\sum_{j=1}^2 (u_{cdj} i_{cdj} + u_{cqj} i_{cqj}) + \frac{U_H^2 r_H}{r_H^2 + L_H^2 \omega_c^2} &= 0; \\
\sum_{j=1}^2 (u_{cqj} i_{cdj} + u_{cdj} i_{cqj}) + \frac{U_H^2 w_c^2 L_H}{r_H^2 + L_H^2 \omega_c^2} &= 0; \\
U_H^2 &= u_{cd1}^2 + u_{cq1}^2; \\
U_H^2 &= u_{cd2}^2 + u_{cq2}^2;
\end{aligned} \tag{1.51}$$

$$\delta_{r12} = \operatorname{arctg} \frac{u_{cq2}}{u_{cd2}} - \operatorname{arctg} \frac{u_{cq1}}{u_{cd1}};$$

$$\frac{d\delta_{r12}}{dt} = \omega_1 - \omega_{21};$$

$$\omega_c = \frac{\omega_1 J_1 + \omega_2 J_2}{J_1 + J_2}.$$

1.3 ენერგოსისტემის სტატიკური მდგრადობა

ამჟამად ენერგოსისტემასთან დაკავშირებულ საკითხთა გამარტივებამ ფართო გავრცელება პოვა.

თუ ლაპარაკია წრფივ მოდელებზე, მაშინ ეს საკითხი შეიძლება გადაწყვეტილი იქნას მახასიათებელი განტოლების ანალიზის საფუძველზე სხვადასხვა მეთოდებით.

ამ ანალიზის მთავარი მიზანია, გაგებული იქნას თავისებურება, რომელიც თან სდევს ენერგოსისტემის მთელ მოდელს, იმისათვის, რომ უფრო საფუძვლიანად მივუდგეთ მის გამარტივებას საერთო შემთხვევაში.

ნაშრომში განიხილება სინქრონული მანქანა, რომელიც მუშაობს უცვლელი სინუსოდური ძაბვის წყაროზე. იკვლევა შემთხვევა, რომელიც მიახლოებით ასახავს ერთი სინქრონული მანქანის მუშაობას ძალზე მძლავრ წრედში. ენერგოსისტემის განტოლება ჩავწეროთ კოორდინატთა სისტემაში, რომელიც ემთხვევა სინქრონული მანქანის როტორის დერძებს. მოსახერხებელია მათი წარმოდგენა შემდეგი სახით (ფარდობით ერთეულებში) [1,5,26,27]:

$$\begin{aligned} \frac{d\Psi_d}{dt} + Ri_d - (1+S)\Psi_q &= u \sin \delta; \\ \frac{d\Psi_q}{dt} + Ri_q + (1+S)\Psi_d &= u \cos \delta; \\ \frac{d\Psi_p}{dt} + R_p i_p &= u_p; \\ Tj \frac{dS}{dt} + \Psi_q i_q - \Psi_d i_q - M_T(\omega) &= 0, \end{aligned} \quad (1.52)$$

სადაც $\Psi = \{\Psi_d, \Psi_q, \Psi_p\}$, $i = \{i_d, i_q, i_p\}$, Ψ_p, i_p - სინქრონული მანქანის როტორის ხვიათა ნაკადშერთვებისა და დენების ვექტორებია; $U_p = \{U_f, 0, \dots, 0\}$, $S = \omega - \omega_0$, ω_0 - ძაბვის სტატორის ხვიაზე დადებული სიხშირეა; δ - კუთხეა როტორის განივ დერძსა და დადებული ძაბვის გამოსახვით ვექტორს შორის, რომელიც აითვლება ძაბვის ვექტორიდან საათის ისრის საწინააღმდეგო მიმართულებით. $Tj = j \frac{\omega_{\delta a_3}^2}{M_{\delta a_3}}$ მექანიკური

მომენტია; სიმარტივისთვის უგულებულყოფელია ამძრავი მექანიზმების გარდამავალი პროცესები.

მახასიათებელ განტოლებას აქვს მე-5 რიგი. ა. ა. გორევის ნაშრომში მცირე პარამეტრების მეთოდის დახმარებით მიღწეულ იქნა მე-5 რიგის საწყისი განტოლება დაშლილიყო დაბალი რიგის სამ განტოლებად:

$$\begin{aligned} p^2 + (\rho_a + \rho_d')p + (1 + \rho_q\rho_a') &= 0; \\ a_4^{(3)}p + a_5^{(5)} &= 0; \\ a_2^{(1)}p^3 + a_{3,}^{(2)}p^2 + q_4^{(3)}p + q_4^{(5)} &= 0; \\ p^5 + a_1p^4 + a_2p^3 + a_3p^2 + a_4p + a_5 &= 0. \end{aligned} \quad (1.53)$$

1.4 ორმანქანური ენერგოსისტემის დინამიკა

ენერგოსისტემების მათემატიკურ მოდელებს შორის პოზიციური მოდელი რჩება ენერგოსისტემის ერთ-ერთ უმთავრეს იდიალიზაციად, რომელსაც კლასიკური ეწოდება.

ასეთი სისტემის დინამიკის საკითხებს, უპირველეს ყოვლისა მდგრადობას, ეძღვნება უამრავი ლიტერატურა, სადაც განიხილება გამოკვლევის სხვადასხვა ასპექტები ციფრული, ანალიტიკური და ხარისხობრივი მეთოდების გამოყენებით. მდგრადობის გამოკვლევისა განხილულ მეთოდებს შორის არის ლიაპუნოვის ფუნქციის მეთოდი. მიუხედავად იმისა, რომ ლიაპუნოვის ფუნქციის მეთოდი უკვე დიდი ხანია გამოიყენება ენერგეტიკაში, ვხვდებით სრულებით უმნიშვნელო რაოდენობის ამოცანებს, რომლებიც ამოხსნილი არიან ამ მეთოდის დახმარებით.

განვიხილოთ ორმანქანური ენერგოსისტემა პოზიციურ იდეალიზაციაში წრფივი დემპფირებით, რომლისთვისაც ამოიხსნება მისი დინამიკის რამოდენიმე მნიშვნელოვანი ამოცანა: წონასწორობის მდგომარეობის სეპარატრისული ზედაპირების უმრავლესობის აღწერა, რომლებიც ზღუდავენ ენერგოსისტემის წონასწორობის მდგომარეობას ასიმპტოტური მდგრადობით და წონასწორობის მდგომარეობის უმრავლესობის გლობალური მიზიდულობის პირობების მიღება. ჩამოთვლილი

ამოცანები ამოიხსნება ლიაპუნოვის I და II მეთოდებით და შედარების ორგანზომილებიანი სისტემის მეთოდით. წრფივად დემპფირებული ორგანზომილებიანი ენერგოსისტემის პოზიციური მოდელის ფარდობითი მოძრაობა გამოისახება შემდეგი სახით [1,5,26,27]:

$$\begin{aligned} \dot{\delta}_{12} &= \omega_{12}; \\ \omega_{12} &= -\lambda_1 \omega_{12} + (\lambda_2 - \lambda_1) \omega_2 + \mu_1^{-1} P_{m1} - \mu_1^{-1} A_{12} \cos(\delta_{12} - \theta_{12}) - \mu_2^{-1} P_{m2} + \mu_2^{-1} A_{12} \cos(\delta_{12} - \theta_{12}); \\ \dot{\omega}_2 &= -\lambda_2 \omega_2 + \mu_2^{-1} P_{m2} - \mu_2^{-1} A_{12} \cos(\delta_{12} - \theta_{12}), \end{aligned} \quad (1.54)$$

სადაც δ_{12} , ω_{12} , ω_2 , – სისტემის ფაზური ცვლადებია ($\delta_{12} = \delta_1 - \delta_2$, $\omega_{12} = \omega_1 - \omega_2$, δ_i , $\omega_i = \delta_i$, $i = 1, 2$, - შესაბამისად როტორის აბსოლუტური კუთხები და კუთხეური სიჩქარეა i -ური მანქანისთვის); λ_i , μ_i , P_{mi} , $i = 1, 2$, A_{12} , θ_{12} , - მუდმივებია, $\mu_i > 0$, $\lambda_i > 0$, $i = 1, 2$, $A_{12} > 0$.

(1.54)-ში დავუშვათ $\delta_{12} = 0$, $\omega_{12} = 0$, $\omega_2 = 0$, მაშინ კლებულობთ წონასწორობის განტოლებას:

$$D_i \omega_2 + \varphi(\delta_{12}) = P_{mi} \quad (i = 1, 2,) \quad (1.55)$$

$$\text{რომლებშიც } D_i = \lambda_i \mu_i \quad (i = 1, 2,)$$

$$\varphi(\delta_{12}) = A_{12} \cos(\delta_{12} - \theta_{12}). \quad (1.56)$$

თუ (1.54) – სისტემის პარამეტრები აკმაყოფილებენ პირობას:

$$\lambda_1 \mu_1 \neq \lambda_2 \mu_2;$$

$$|(\lambda_1 \mu_1 P_{m1} - \lambda_2 \mu_2 P_{m2}) / (A_{12} (\lambda_1 \mu_1 - \lambda_2 \mu_2))| \leq 1 \quad (1.57)$$

მაშინ მისი წონასწორობის მდგომარეობა განისაზღვრება თანაფარდობებით:

$$\begin{aligned} \omega_{12}^0 &= 0; \quad \omega_2^0 = (P_{m1} - P_{m2}) / (\lambda_1 \mu_1 - \lambda_2 \mu_2); \\ \cos(\delta_2^0 - \theta_{12}) &= (\lambda_1 \mu_1 P_{m2} - \lambda_2 \mu_2 P_{m1}) / (A_{12} (\lambda_1 \mu_1 - \lambda_2 \mu_2)) \end{aligned} \quad (1.58)$$

(1.58)-დან გამოდინარეობს, რომ (1.57) პირობისთვის (1.54) სისტემას აქვს წონასწორობის იზოლირებული მდგომარეობის თვლადი სიმრავლე. თუ მისგან გამოვყობთ წონასწორობის ნებისმიერ მდგომარეობას, აღნიშნული $(\omega_{12}^*, \omega_2^*, \delta_{12}^*)$ -ით და თუ შევიტანო გადახრებს:

$$z_1 = \omega_{12} - \omega_{12}^*, \quad z_2 = \omega_2 - \omega_2^*, \quad z\sigma = \delta_{12} - \delta_{12}^*, \quad \text{კლებულობთ (1.54) ან (1.55)-ის გათვალისწინებით შემდეგ განტოლებებს:}$$

$$\sigma = z_1;$$

$$z_1 = -\lambda_1 z_1 + (\lambda_2 - \lambda_1) z_2 + b_1 \Psi(\sigma); \quad (1.59)$$

$$z_2 = -\lambda_2 z_2 + b_2 \Psi(\sigma).$$

$$\text{სადაც } b_1 = A_{12}(\mu_1^{-1} - \mu_2^{-1}), \quad b_2 = A_{12}\mu_2^{-1} > 0.$$

$$\Psi(\sigma) = \sin(\sigma + \alpha) - \sin(\alpha);$$

$$\alpha = \delta_{12}^* - \theta_{12} - \pi/2. \quad (1.60)$$

$$\text{ჩავთვალოთ, რომ: } \lambda_2 \geq 1, \alpha \in (0, \pi/2) \quad (1.61)$$

ამასთან, პირველი განტოლება ყოველთვის შესრულებადია. წონასწორობის მდგომარეობებს z_1, z_2 გადახრებისთვის ექნება შემდეგი სახე:

$$z_i = 0, \quad i = 1, 2, \quad \Psi(\sigma) = \sin(\sigma + \alpha) - \sin \alpha = 0. \quad (1.62)$$

ამ თანაფარდობას მივყავართ ორადოვლად თანამიმდევრობისკენ წონასწორობის იზოლირებული მდგომარეობისა:

$$\theta_k' = z_i' = 0 \quad i = 1, 2 \quad \sigma_k' = 2k\pi \quad k = 0, \pm 1, \pm 2 \dots \quad (1.63)$$

$$\theta_k'' = z_i'' = 0 \quad i = 1, 2 \quad \sigma_k'' = k\pi - 2\alpha \quad k = \pm 1, \pm 3 \dots \quad (1.64)$$

(1.59), (1.60) სისტემის წრფივ მიახლოებას θ_k' წერტილის ახლოს აქვს შემდეგი სახე:

$$\sigma = z_1; \quad z_1 = -\lambda_1 z_1 + (\lambda_2 - \lambda_1) z_2 + b_1 \cos \alpha (\sigma - \sigma_k');$$

$$z_2 = -\lambda_2 z_2 + b_2 \cos \alpha (\sigma - \sigma_k'). \quad (1.65)$$

ხოლო მისი მახასიათებელი განტოლებები მიიღებენ შემდეგ სახეს:

$$\Delta'(\mu) = \mu^3 + \mu^2(\lambda_1 + \lambda_2) + \mu(\lambda_2 \lambda_1 - b_1 \cos \alpha) - \cos \alpha [b_1 \lambda_2 + b_2(\lambda_2 - \lambda_1)] = 0 \quad (1.66)$$

ამასთან, სისტემის წრფივი ნაწილის მახასიათებელი განტოლება, წონასწორობის მდგომარეობის ფარგლებში θ_k'' ჩაიწერება ასე:

$$\Delta''(\mu) - \mu^3 + \mu^2(\lambda_1 + \lambda_2) + \mu(\lambda_1 \lambda_2 + b_1 \cos \alpha) + \cos \alpha [b_1 \lambda_2 + b_2(\lambda_2 - \lambda_1)] = 0 \quad (1.67)$$

ვთქვათ (1.59) (1.60) სისტემების პარამეტრები აკმაყოფილებს პირობას: $\alpha \in (0, \pi/2)$, $\lambda_2 > \lambda_1 > 0$, $b_2 > 0$, $b_1 \lambda_2 + b_2(\lambda_2 - \lambda_1) < 0$, მაშინ მას გააჩნია წონასწორობის იზოლირებული მდგომარეობები θ_k', θ_k'' , რომლებიც განისაზღვრება (1.63) და (1.64) ფორმულებით, ამასთანავე θ_k'

წონასწორობის მდგომარეობები ასიმპტოტურად მდგრადებია და ეს ფაქტი განისაზღვრება იმით, რომ θ'_k წერტილებში (1.59) და (1.60) სისტემების წრფივი ნაწილის მახასიათებელ განტოლებებს აქვს ფესვები კომპლექსური სიბრტყის ფესვების მარცხენა დია ნახევარ-სიბრტყეში [26,27].

1.5 ლიაპუნოვის გექტორული ფუნქციის მეთოდი ენერგოსისტემის მდგრადობისთვის

არაწრფივი და არასტანდარტული ელემენტების მქონე მაღალი თანრიგის რთულ სისტემებში ლიაპუნოვის ერთიანი ფუნქციის აგება მდგომარეობის ყველა ცვლადისთვის დაკავშირებულია პრაქტიკულად გადაულახავ სიძნელეებთან. ასეთი ამოცანების ამოხსნის ერთ-ერთი გზაა ლიაპუნოვის გექტორული ფუნქციის შიმოტანა. ლიაპუნოვის გექტორი-ფუნქცია წარმოადგენს ლიაპუნოვის უფრო მარტივი ფუნქციის $\theta_i(x_i)$ ნაკრებს, რომელთაგანაც თითოეული შედგენილი იქნება სისტემის (ქვესისტემის) ნაწილისათვის და დამოკიდებულია ცვლადის უმცირეს რიცხვზე. ამავე დროს, მთელი სისტემის მდგრადობის უზრუნველსაყოფად, ბუნებრივია, რომ ქვესისტემებზე და θ_i ფუნქციებზე ემატება დამატებითი მოთხოვნები. ამჟამად უფრო მეტად დამუშავებულია ის მეთოდები, რომლებშიც ეს დამატებითი მოთხოვნები დაყვანილია ყოველი S_i ქვესისტემის ექსპონენციალური მდგრადობის მოთხოვნამდე [28].

ენერგოსისტემების დინამიკური მდგრადობის გამოთვლების ერთ-ერთი ეტაპი დაკავშირებულია გამოსაკვლევი სისტემის ფაზური ცვლადების ავარიის შემდგომი დამყარებული რეჟიმისგან დასაშვები გადახრის აგების აუცილებლობასთან. რიგ შემთხვევაში ეს ამოცანა დაიყვანება გამოსაკვლევი სისტემის მოდელის ავარიისშიმდგომი მდგრადეობის მიახლოებით შეფასებამდე. შემოთავაზეულია ლვფ-ის (ლიაპუნოვის გექტორული ფუნქცია) აგების ორი საშუალება ენერგოსისტემებისთვის:

1) პირველი საშუალება განეკუთვნება ლვფ-ის აგებას ლურიეს ფუნქციის სახით (კვადრატულ ფუნქციას პლიუს არაწრფივობის ინტეგრალი). ამასთან სისტემის საწყისი მოდელი იშლება რიგ ქვესის-ტემებად, რომლებიც მოიცავენ ერთი და იგივე ნაწილს (მრავალმანქანური სისტემის განტოლება).

2) მეორე მოდელი განეკუთვნება ლვფ-ის აგებას სისტემის ფაზური კოორდინატების წრფივი ფორმის მოდულების სახის კომპონენტებით და განეკუთვნილია ისეთი სისტემებისთვის, რომლებიც არ შეიცავენ ერთმანეთან სუსტად დაკავშირებულ ქვესისტემებს.

ლვფ-ის მიხედვით დიფერენციალური განტოლებების ჩაწერისათვის გათვალისწინებულია ენერგოსისტემაში არსებული სიჩქარის რეგულატორის მუშაობა და მრავალმანქანური სისტემების დახასიათებისთვის შემოიტანება შემდეგი დაშვებები:

1) სინქრონული მანქანა იცვლება მუდმივი ემბ-ით, რომელსაც აქვს გარდამავალი რეაქტიული წინადობა და რომელიც დამოკიდებულია მანქანის ტიპზე და მისი მუშაობის რეჟიმზე;

2) პირველადი ძრავების მომენტები ითვლებიან მუდმივად;

3) დატვირთვაში არის მუდმივი წინადობები;

4) დემპფირება გაითვალისწინება მუდმივი კოეფიციენტით, რომელიც პროპორციულია სრიალისა;

5) სისტემის სქემის სრული წინადობები და პასიური ელემენტების გამტარობები ითვლება წრფივად და არ არიან დამოკიდებული ელემენტების მუშაობის რეჟიმზე.

შემდეგი დაშვებების საფუძველზე არაწრფივი მრავალმანქანური ენერგოსისტემის მოძრაობის განტოლება შეიძლება ჩაიწეროს შემდეგი სახით [28,29]:

$$T_{ji} \ddot{\delta}_i + D_i \dot{\delta}_i + P_{ei} - P_{mi} = 0, \quad i = \overline{1, m}, \quad (1.68)$$

სადაც D_i დემპფირების კოეფიციენტია, P_{mi} - მანქანის ლერძნებული სიმძლავრეა, T_{ji} - ინერციული მუდმივა, δ_i -ი-ური მანქანის როტორის მობრუნების აბსოლუტური კუთხე; P_{ei} - აქტიური სიმძლავრეებია, რომლებიც განისაზღვრებიან შემდეგი თანაფარდობიდან:

$$P_{ei} = E_i^2 Y_{ii} \sin \theta_{ii} + \sum_{\substack{i=1 \\ j \neq i}}^m E_i E_j Y_{ij} \sin(\delta_i - \delta_j + \theta_{ij}), \quad (1.69)$$

სადაც E_i - არის i -ური სიქრონული მანქანის ემბ; Y_{ij} - მანქანის თვითგამტარობები $Y_{ii} = Y_i + \sum_{\substack{j=1 \\ j \neq i}}^m Y_{ij}$; Y_{ij} - ურთიერთგამტარობები; θ_{ii} , θ_{ij} - კუთხეები, რომლებიც ავსებენ $\frac{\pi}{2}$ -ით თვით და ურთიერთგამტარობების კუთხეებს.

ვთქვათ δ_i^0 - არის (1.68) განტოლების მდგომარეობის ცნობილი კოორდინატები (ავარიისშემდგომი დამყარებული რეჟიმი). ვუშვებთ, რომ $\delta_i' = \delta_i + \delta_i^0$, $\dot{\delta}_i' - \dot{\delta}_i = y_i$, სადაც $\delta_i - i$ -ური მანქანის როტორის კუთხის გადახრა დამყარებული მნიშვნელობიდან δ_i^0 და ვუმატებთ რა სიჩქარის რეგულატორის განტოლებას, მივიღებთ არჩეული ენერგოსისტემის მოდელის აღგზნებული მიძრაობის განტოლებას:

$$\begin{aligned} \dot{\delta}_i &= y_i; \\ \dot{y}_i &= d_i z_i - d_i y_i - \Psi_i; \\ \dot{z}_i &= -l_i y_i - g_i z_i - \alpha_i y_i, \quad i = \overline{1, m}. \end{aligned} \quad (1.70)$$

სადაც a_i , d_i , l_i , $g_i \neq 0$, $\alpha_i = \text{const}$, y_i - i -ური მანქანის როტორის ბრუნვის აბსოლუტური კუთხეური სიჩქარეა, z_i - რეგულატორის კოორდინატა; არაწრფივი ფუნქცია Ψ_i გამოისახება განტოლებით:

$$\Psi_i = \sum_{\substack{k=1 \\ k \neq i}}^m a_{ik} \left[\sin(\delta_i - \delta_k + \delta_i^0 - \delta_k^0 - \theta_{ik}) - \sin(\delta_i^0 - \delta_k^0 - \theta_{ik}) \right] \quad (1.71)$$

სადაც $\theta_{ik} = \text{const}$.

ადგილი შესამჩნევია, რომ (1.70) განტოლებას აქვს წონასწორობის ბევრი მდგომარეობა, რაც გამოწვეულია ამ სისტემის მარჯვენა მხარის ნაწილის დამოკიდებულებით კუთხეების სხვაობაზე $\delta_i - \delta_k$. ამიტომ დინამიკური მდგრადობის გამოკვლევისას განიხილება ე.წ. მანქანების ურთიერთმოძრაობის განტოლება. მოცემულ შემთხვევაში განიხილება (1.70) განტოლებიდან მიღებული შემდეგი განტოლებათა სისტემა:

$$\begin{aligned}
\dot{u}_i &= y_i - y_m; \\
\dot{y}_i &= a_i z_i - d_i y_i - \Psi_i'; \\
\dot{y}_m &= a_m z_m - d_m y_m + \Psi_m; \\
\dot{z}_i &= -(\alpha_i a_i + g_i) z_i - (l_i - \alpha_i d_i) y_i + \alpha_i \Psi_i'; \\
\dot{z}_m &= -(\alpha_m a_m + g_m) z_m - (l_m - \alpha_m d_m) y_m + \alpha_m \Psi_m'.
\end{aligned} \tag{1.72}$$

由式(3) $U_m = \delta_i - \delta_m$, $U_i^0 = \delta_i^0 - \delta_m^0$,

$$\begin{aligned}
\Psi_i' &= \sum_{\substack{k=1 \\ k \neq i}}^{m-1} a_{ik} [\sin(U_i - U_k + U_i^0 + U_k^0 - \theta_{ik}) - \sin(U_i^0 - U_k^0 - \theta_{ik})] + \\
&\quad + a_{im} [\sin(U_i + U_i^0 - \theta_{im}) - \sin(U_i^0 - \theta_{im})]; \\
\Psi_m' &= \sum_{k=1}^{m-1} a_{mk} [\sin(U_k + U_k^0 + \theta_{mk}) - \sin(U_k^0 + \theta_{mk})], \quad (i = \overline{1, m-1}).
\end{aligned} \tag{1.73}$$

2. ბიურკაცია ენერგოსისტემებში

2.1. გაორმაგების ციკლი და ბიურკაცია ენერგოსისტემებში

როგორც აღვნიშნეთ ბიურკაცია – ეს არის გადასვლები, რომლებიც შეიძლება მოხდეს სხვადასხვა სახეებს შორის დინამიკური ქცევიდან პარამეტრების ცვლილებისას [34,35].

ბიურკაციის მოვლება ზოგადი ცნებაა, რომელსაც შეესაბამება შესაძლო ტოპოლოგიური ცვლილებების ქვესიმრავლე და ახასიათებს სისტემის ამონასნეს. ზოგად შემთხვევაში განსახილველ X ამონასნთა სივრცე შეიძლება დახასიათდეს გარკვეული ტოპოლოგიით. კერძოდ, რომელიდაც მეტრიკული სივრცე შეიძლება შევუსაბამოთ n -განზომილების E^n უკალიდურ სივრცეს. თეორიულ ასპექტში შეიძლება განვიხილოთ E^n -ზე უფრო ზოგადი სივრცე [30].

ბიურკაციულ ანალიზში გადამწყვეტ როლს თამაშობენ განსაკუთრებული ამონასნები, რომლებიც შეიძლება დავაჯგუფოთ შემდეგი სახით:

1. $x_0 = \| X \mid f : x_0 \rightarrow x_0 \|$ - სტაციონალური ამონასნები.
2. $X = \| X \mid f : x(0) \rightarrow x(0+T) \|$ - პერიოდული ამონასნები.
3. $X_a = \| X \mid f : X_a \rightarrow X \|$ - პირობით - პერიოდული ამონასნები.

დინამიკური სისტემებისათვის, რომელიც აღიწერება შემდეგი დიფერენციალური განტოლებით:

$$\frac{dx}{dt} = f(x, p), \quad (2.1)$$

ამონასნთა სიმრავლის პირველი შემთხვევა შეესაბამება განტოლებათა სისტემის $\frac{dx}{dt} = 0$ ამონასნს, რომელიც წარმოადგენს $f'(x, p) = 0$ განტოლებათა სიმრალეს.

მეორე შემთხვევაში ამონასნი წარმოადგენს ან მარტივ, ან საკმაოდ რთულ ზღვრულ ციკლებს.

ზემოთ ჩამოთვლილ ორ ამონასსნთან შედარებით უფრო რთული ხასიათი გააჩნია ან პირობით-პერიოდულ ამონასსნებს ან ატრაქტორებს, რომელთა საზღვრებს გარეთ ტრაექტორიები არ გადიან. ე. ი. $X_a \subset X$.

უკვე ნახსენები განსაკუთრებული ამონასსნები (1,2,3) ხასიათ-დებიან იმ თვისებებით, რომ მათგან მიისწოდიან ყველა რეგულარული ამონასსნები, როცა $t \rightarrow +\infty$ ან $t \rightarrow -\infty$.

მოცემული ამონასსნები წარმოადგენენ სტრუქტურულ მდგრადობას, თუ მეზობელი რეგულარული ამონასსნები პარამეტრების ცვლილებისას იქნება ერთმანეთთან საკმარისად ახლოს [31,32,33,34].

განვიხილოთ დისკრეტული დინამიკური სისტემა, რომელიც მოცემულია შემდეგი განტოლებით

$$X_{n+1} = V X_n (1 - X_n) \quad (2.2)$$

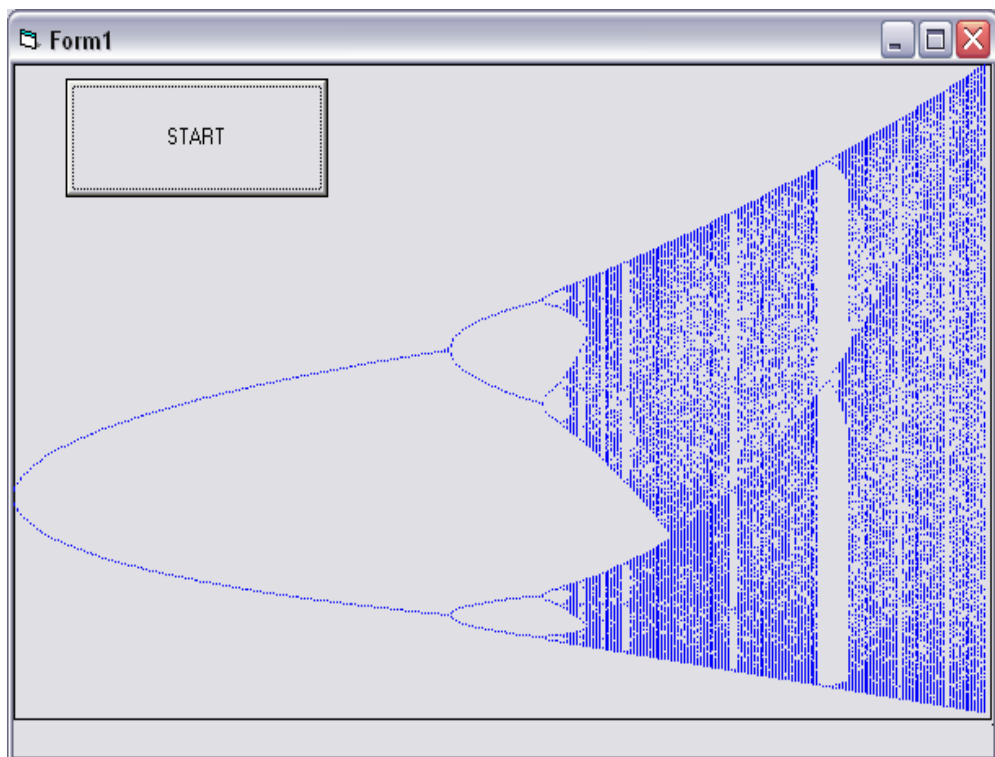
V კოეფიციენტი მართვის პარამეტრია. თუ ინტერვალი 0 -დან 4 -დეა, მაშინ ნებისმიერი მნიშვნელობა $0 \leq X \leq 1$ აისახება ამავე ინტერვალის რომელიმე წერტილში. V -ს საწყისი მნიშვნელობის მიცემის შემდეგ ადვილად განისაზღვრებიან $X_1, X_2 \dots$ ცნობილი ფორმულებით [34,35].

V -ზე დამოკიდებულებით ბიჯების გაზრდა იწვევს $\{X_n\}$ -ის ქცევის ცვლილებას; როცა $V < 3$, მაშინ $\{X_n\}$ მიმდევრობა დადის უძრავ წერტილზე, როცა $3 < V_1 < V_2$, მაშინ $\{X_n\}$ მიმდევრობა ხასიათდება $T = 2$ პერიოდიანი წანაცვლებით. ატრაქტორები ხდებიან უცნაურნი, როცა V -ს მნიშვნელობა უახლოვდება $3,5699471860$ -ს. აქ იწყება ქაოსი. თავიდან მწყობრად განშლადი ხაზები უეცრად იქცევიან ქაოსურ ზიგზაგებად (ნახ. 1). ამასთან უცნაურია ისიც, რომ როცა V -ს მნიშვნელობა უახლოვდება 4 -ს, ქაოსი წყდება. ასეთი წესით მიღებული გამოსახულება არის ბიფურქაციული დიაგრამა. თუ მას შევხდავთ გვერდიდან, გამოჩნდება X ქაოსური სპექტრი, რომლის დეკორატიული თავისებურებანიც წარმოადგენს გამოცანას, რომლის ამონსნა შეიძლება მხოლოდ თეორიული საშუალებით.

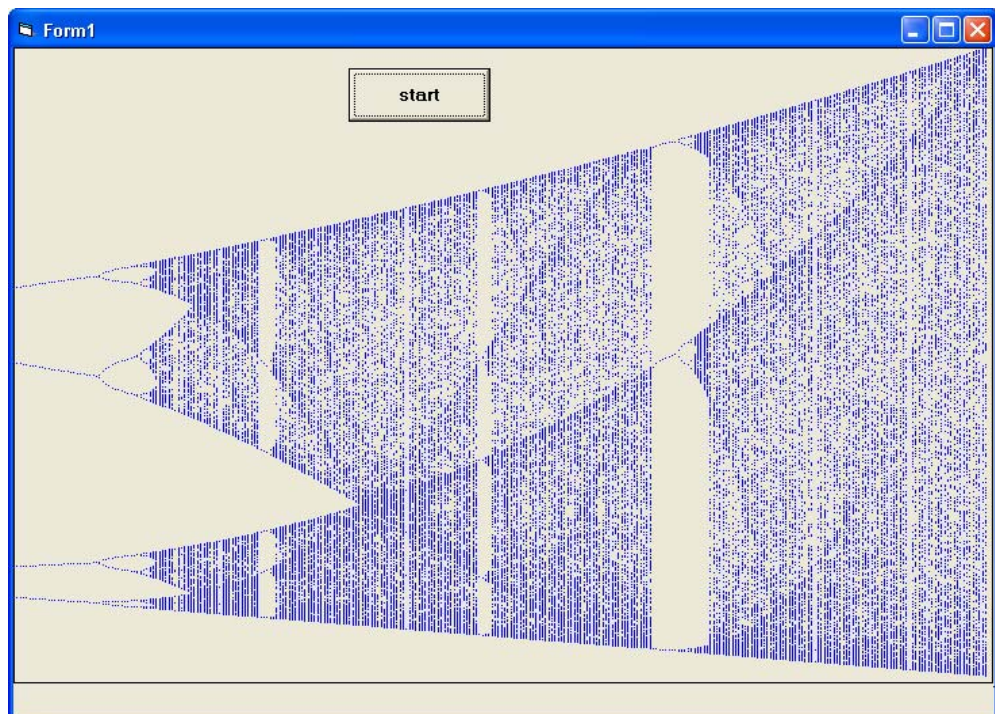
პოპფის თეორიის საფუძველზე შემოგვაქვს პოპფის ბიფურქაციისა და ზღვრული ციკლების ცნება.

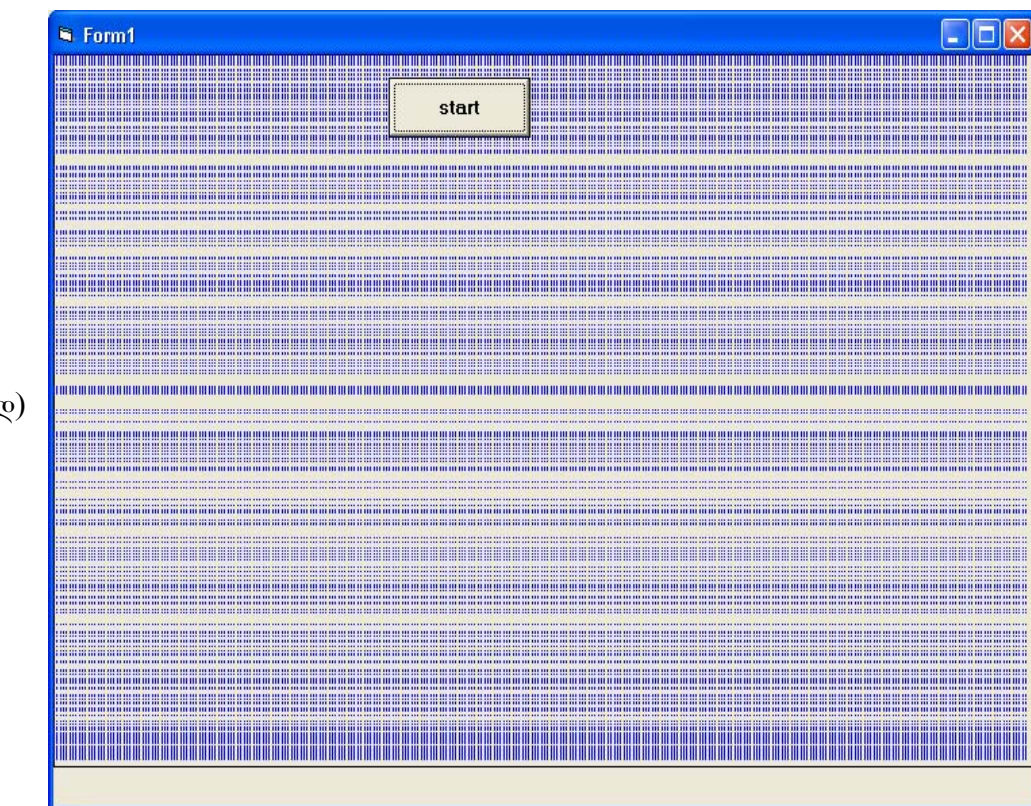
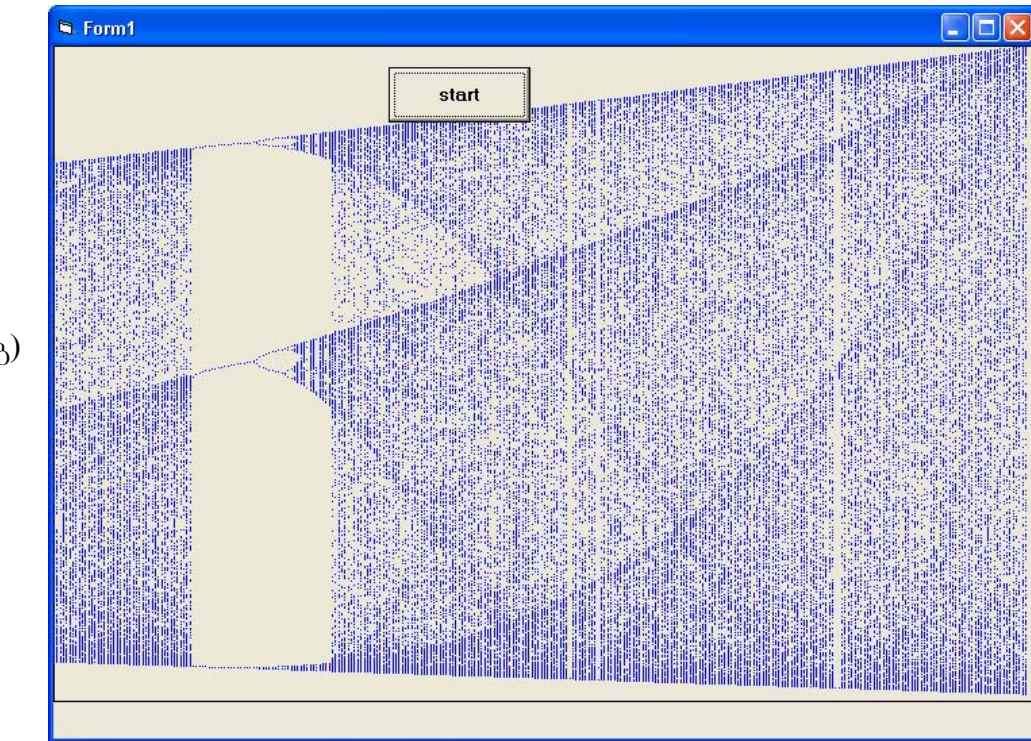
ზღვრული ციკლების კონცეფცია დიფერენციალური გამტოლებების კვლევიდან ჩამოაყალიბდა ა. პუანკარემ. ასეთ სისტემებში შეიძლება მივიღოთ რხევები, რომლებიც უბრუნდებიან საწყის მდგომარეობას მცირე შეშფოთების შემდეგ რხევების ნებისმიერი ფაზის დროს. პუანკარემ ასეთ რხევებს მდგრადი ზღვრული ციკლები უწოდა. სისტემებს კი პუანკარეს ოსცილატორები ეწოდებათ.

ა)



ბ)





ნახ. 1 ბიფურგაციული დიაგრამა

თუ ჩავთვლით, რომ სისტემა იძლევა ზღვრული ციკლის ტიპის რხევებს, მაშინ შეიძლება გავაკეთოთ წინასწარი დასკვნები ასეთი

სისტემების მდგრადობის შესახებ, მიუხედავად იმისა, ვიცით თუ არა სისტემის აღმწერი განტოლებები.

იმისათვის, რომ ვიმსჯელოთ სისტემის მდგრადობის ან არა-მდგრადობის შესახებ ზღვრული ციკლის მდგრადობის მიხედვით, უნდა დავადგინოთ ერთგენერატორიან, ორგენერატორიან და სამგენერატო-რიან სისტემებში ზღვრული ციკლების არსებობის ფაქტი. თუ მცირე შემფოთებისას ზღვრული ციკლი უბრუნდება საწყის მდგომარეობას, მაშინ სისტემა მდგრადია, თუ არ უბრუნდება – არამდგრადია.

თუ დინამიკური სისტემა დამოკიდებულია პარამეტრზე, ეს პარა-მეტრი შეიძლება იყოს ტემპერატურა, წნევა, ძაბვა და სხვა ფიზიკური სიდიდეები, მაშინ მათი ცვლილებისას სისტემის დინამიკა იცვლება.

დინამიკური სისტემების პარამეტრების ცვლილებისას შეიძლება შეიცვალოს მდგრადობის წერტილების რიცხვი და მათი მდგრადობა. ასეთი ცვლილებები არაწრფივ სისტემებში, რომლებიც დამოკიდებუ-ლია სისტემის პარამეტრის ცვლილებაზე, წარმოადგენს ბიფურქაციის თეორიის საგანს [34].

2.2 პოპფის ბიფურქაცია ენერგოსისტემაში

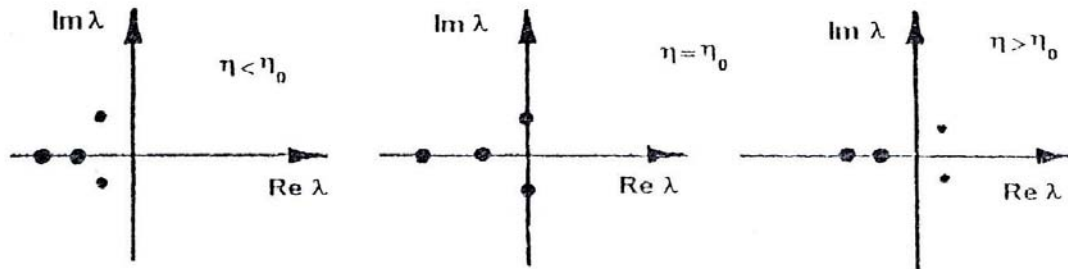
არაწრფივ დინამიკაში ერთი პარამეტრის ვარიაციაზე დამოკი-დებული არამდგრადობა წარმოადგენს მდგრად ბიფურქაციას, ვიბრა-ციული არამდგრადობა კი არის პოპფის ბიფურქაცია.

განვიხილოთ ორგანზომილებიანი სისტემა, როცა სისტემის დინამიკა აღიწერება შემდეგი სახის განტოლებებით.

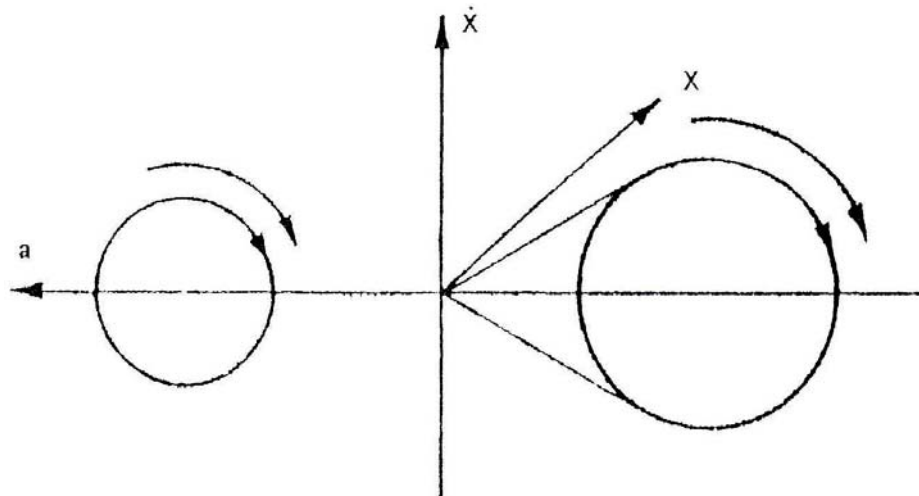
$$\begin{aligned} X_1 &= f_1(X_1, X_2, \eta), \quad X_1(0) = X_1^0, \\ X_2 &= f_2(X_1, X_2, \eta), \quad X_2(0) = X_2^0. \end{aligned} \tag{2.3}$$

η პარამეტრის ცვლილებისას იცვლება სისტემის ხარისხი. ამ მნიშვნელობას ეწოდება ბიფურქაციული მნიშვნელობა. ამ წერტილების მახლობლობაში ხდება გადასვლები სტაციონალურ მდგომარეობებს შორის, სტაციონალურ მდგომარეობებსა და ზღვრულ ციკლებს შორის, ან ზღვრულ ციკლებსა და ქაოსს შორის.

ბიფურკაციის მაგალითია ფიზიკურ სისტემებში ზღვრული ციკლების გაჩენა. ამ დროს $S_1, S_2 = \pm i\omega + y$ ფესვიბი არ არის ნულის ტოლი და კვეთს წარმოსახვით დერძს ისე, რომ $y \geq 0$. ამ დროს თავიდან ხდება მდგრადი ფორმის ბიფურკაცია ზღვრულ ციკლში. კოეფიციენტის ცვლილებამ შეიძლება გამოიწვიოს ზღვრული ციკლის არამდგრადობა (ნახ.2).



ნახ.2 ზღვრული ციკლის არამდგრადობა



ნახ.3 ბიფურკაცია სპირალიდან ზღვრულ ციკლზე

თუ ერთი ნამდვილი მაჩვენებელი y ხდება დადგებითი, მაშინ ძველი ზღვრული ციკლი შეიძლება დაიშალოს რამოდენიმე ზღვრულ ციკლად. ხოლო იმისათვის, რომ იგი შემდგომ დაუბრუნდეს საწყის მდგომარეობას, საჭიროა 2-ჯერ მეტი დრო, ანუ ხდება პერიოდის გაორმაგება, ე.ი. სუბპარმონიკის გენერაცია.

ნახ.3-ზე მოცემულია ბიფურკაცია სპირალიდან ზღვრულ ციკლებზე. დასმული ამოცანა გადავწყვიტოთ სისტემის აღმწერი განტო-

ლებების ამოხსნით ერთი პარამეტრის ცვლილების დროს. ეს კი იძლევა საშუალებას, რომ მიღებული შედეგები განზოგადდეს და ხელმისაწვდომი გახდეს სხვადასხვა მსგავსი სისტემების კვლევისათვის [34].

პოპულის ბიფურკაციული თეორემა ორგანზომილებიანი სისტემისათვის (R^2) ჩამოყალიბდება შემდეგნაირად:

ვთქვათ, ფუნქცია f_1 და f_2 4-ჯერ მაინცაა დიფერენცირებადი თითოეული არგუმენტით და $f_1(0.0.4) = f_2(0.0.4) = 0$ ყველა ნამდვილი η -თვის. ჩავთვალოთ, რომ $\frac{d}{d\eta}[\operatorname{Re}\lambda(\eta)]_{<0} > 0$, მაშინ:

1) არსებობს 2-ჯერ დიფერენცირებადი $\eta, (-\varepsilon, \varepsilon) \rightarrow R$. ის, რომ საწყისი წერტილი $(X^0, 0, \eta(X_1^0))$ ძეგს $2\pi/X(\eta)$ პერიოდიან ჩაკეტილ ტრაექტორიაზე, რომლის რადიუსიც იზრდება ისე, როგორც $\sqrt{\eta}$, როცა $X_1^0 = 0$, $\eta(0) = 0$.

2) არსებობს $(0,0,0)$ წერტილის V არე R^3 -ში, ისე, რომ ნებისმიერი ჩაკეტილი ტრაექტორია U არეში არის ზემოთ მითითებული სახის ერთ-ერთი ჩაკეტილი ტრაექტორია.

3) თუ „ 0 “ წერტილი ატრაქტორია, როცა $\eta = 0$. მაშინ $\eta(X_1^0) > 0$ ყველა $X_1^0 \neq 0$ -თვის და ჩაკეტილი ტრაექტორიები მიიზიდებიან. R^2 სისტემაში ჩაკეტილ ტრაექტორიად ითვლება ნებისმიერი X^* , აკმაყოფილებს პირობას $X(t) = X(t+T) = X$ ნებისმიერი $T > 0$ დროისათვის. წონასწორობის წერტილები ჩაკეტილი ტრაექტორიებია. პოპულის თეორიით η -ს 0-დან დაშორებისას ტრაექტორიებმა შეიძლება შეიცვალონ ქცევები, რაც დამოკიდებულია კოორდინატთა სათავეში იაკობის მატრიცის საკუთარი მნიშვნელობის ნამდვილი ნაწილის სიდიდეზე.

პირველი პირობა ნიშნავს კოორდინატთა სათავეში ბიფურკაციას განსაზღვრულ რადიუსიან ჩაკეტილ ტრაექტორიაში ($\sim \sqrt{\eta}$). როდესაც მეორე პირობიდან $\eta = 0$, მაშინ წერტილი იყო მიმზიდველი. ხოლო საწყისი ტრაექტორიები, წარმოშობილი ფიქსირებული წერტილებიდან, თავად მიიზიდავენ.

2.3 პოპულის ბიფურკაცია ერთგენერატორიანი სისტემისთვის

ერთგენერატორიანი სისტემა წარმოვიდგინოთ შემდეგი სახით:

$$\frac{dS}{dt} = K(\sin \delta_* - \sin(\delta_* + \Delta\delta_*)), \quad (2.4)$$

$$\frac{d\Delta S}{dt} = S(t).$$

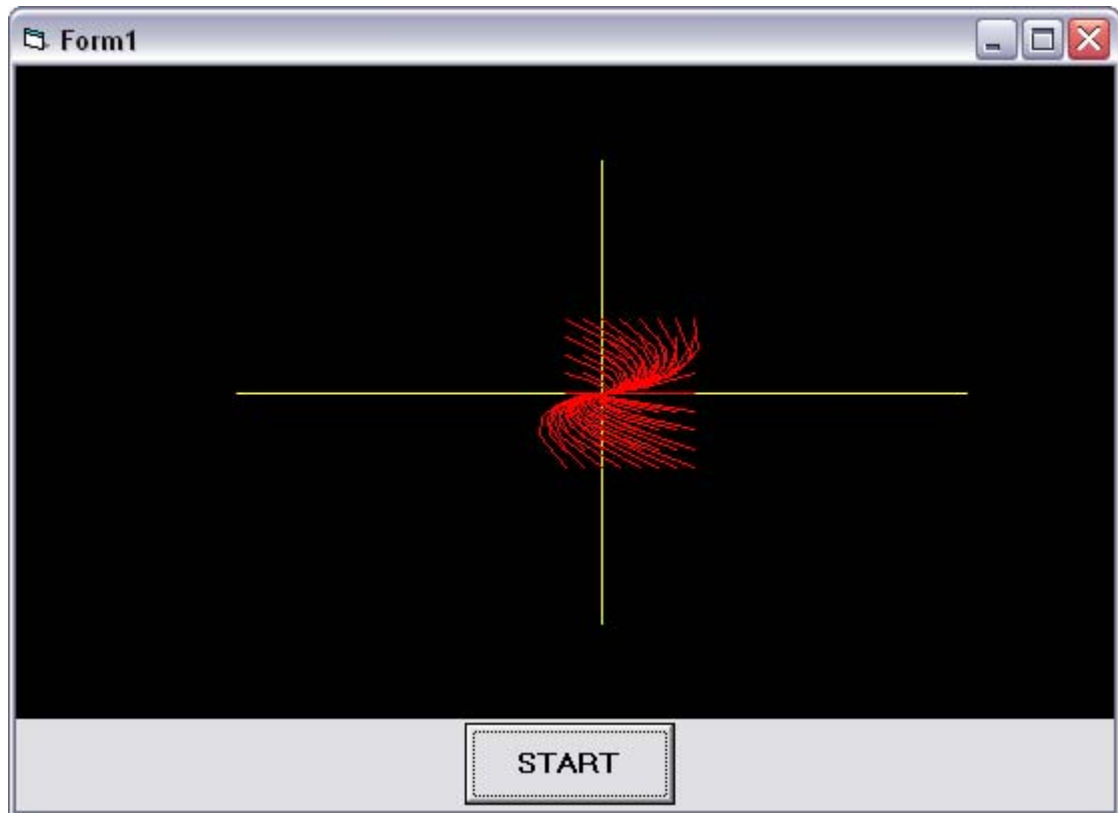
წონასწორობა განისაზღვრება შემდეგნაირად:

$$S(t) = 0; \quad K(\sin \delta_* - \sin(\delta_* + \Delta\delta_*)) = 0, \quad (2.5)$$

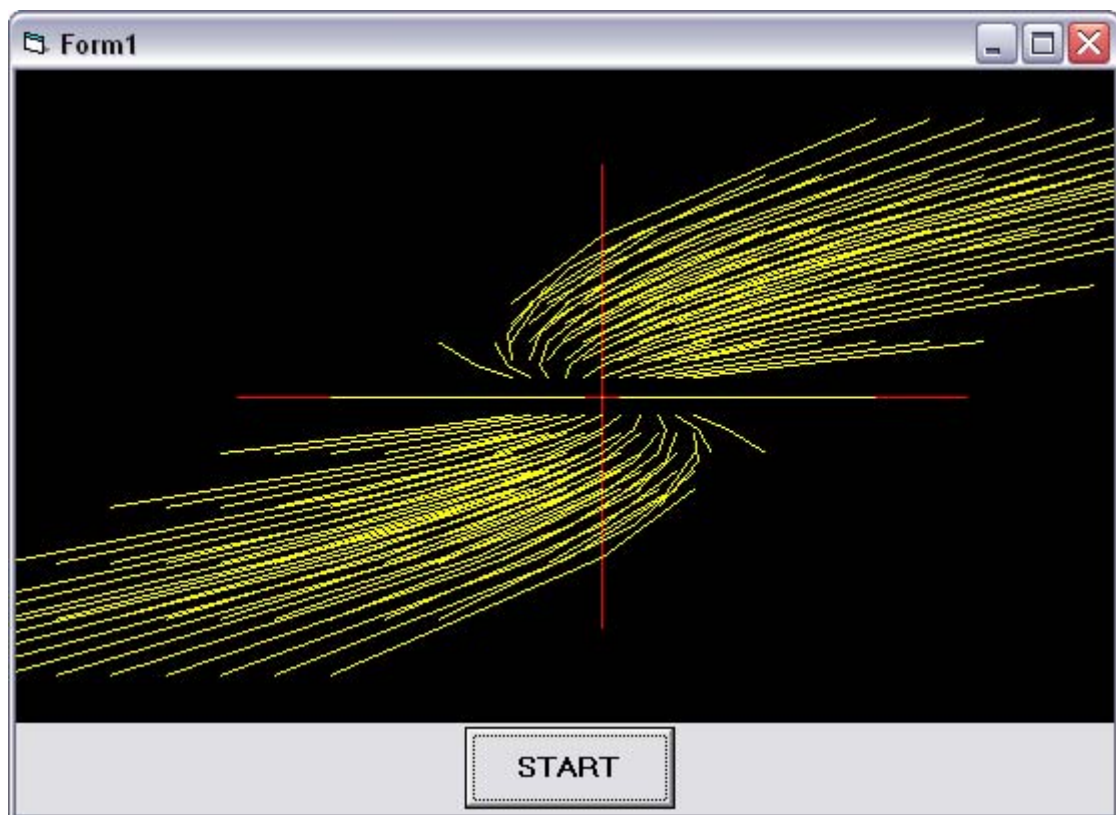
$(0,0 + 2\pi k)$ წერტილი წონასწორობის წერტილია. გამოვიკვლიოთ $(0,0)$

წერტილი. გარდაქმნების შედეგად მივიღებთ [26,34]:

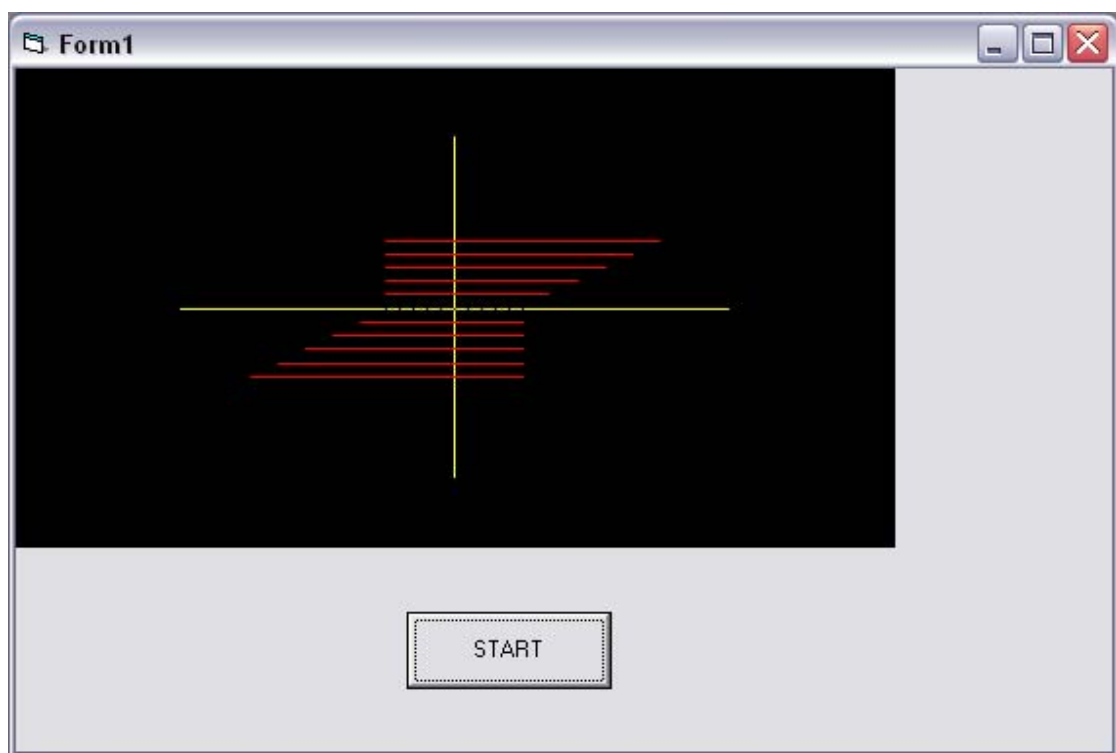
$$\begin{aligned} \frac{dS}{dt} &= K \cos \delta_* \Delta\delta_*, \\ \frac{\Delta S}{dt} &= S \end{aligned} \quad (2.6)$$



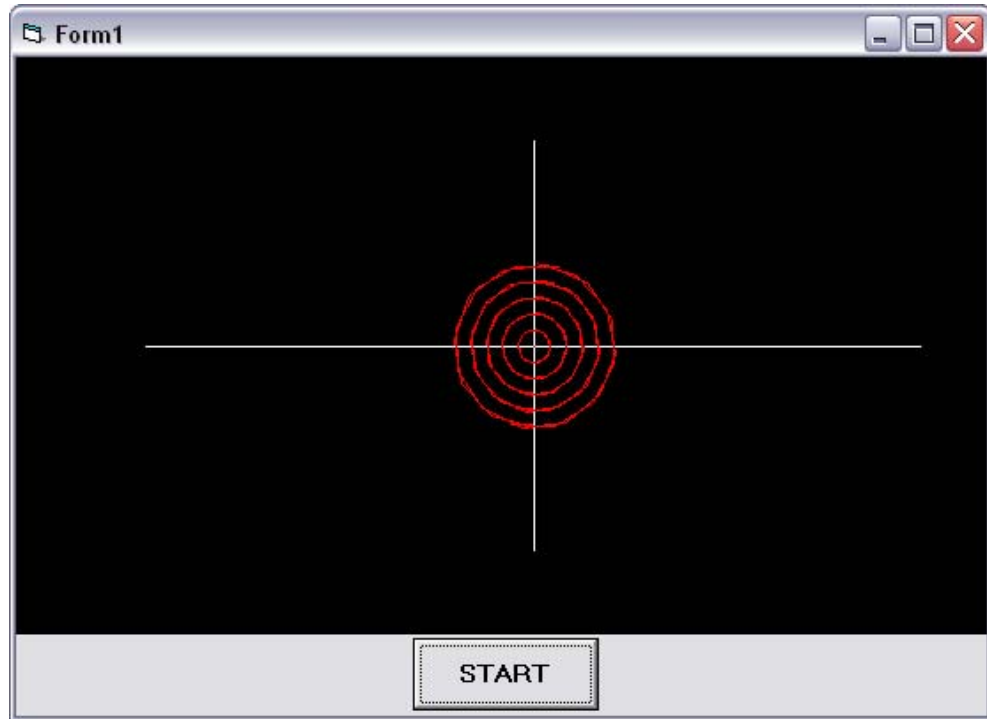
ნახ. 4 გადაგვარებული კვანძი ანუ არამდგრადი წონასწორობა



ნახ. 5 მდგრადი პვანძი



ნახ. 6 არამდგრადი მდგომარეობა



ნახ. 7 ნეიტრალურად მდგრადი მდგომარეობა

ანუ მატრიცული სახით $(S, \Delta\delta) = t$

$$\frac{d}{dt} \begin{bmatrix} S \\ \Delta\delta \end{bmatrix} = \begin{bmatrix} 0 & -K \cos \delta_* \\ 1 & 0 \end{bmatrix} \begin{bmatrix} S \\ \Delta\delta \end{bmatrix}. \quad (2.7)$$

λ -ს მიმართ მახასიათებელი განტოლებას აქვს სახე:

$$\det \begin{vmatrix} -\lambda & -K \cos \delta_* \\ 1 & -\lambda \end{vmatrix} = 0 \quad (2.8)$$

ანუ $\lambda^2 - k \cos \delta^* = 0$;

აქედან

$$\lambda_1 = \sqrt{k \cos \delta_*}, \quad \lambda_2 = -\sqrt{k \cos \delta_*} \quad \lambda_1 = \lambda_2.$$

რადიუსი იქნება \sqrt{k} . მაშინ გვექნება ოთხი შემთხვევა:

1. $k > 0$; $\lambda_1 = \lambda_2 > 0$ - გადაგვარებული კვანძი - არამდგრადი წონასწორობა. ამონასნის აქვს სახე (ნახ. 4):

$$S(t) = c_2 e^{-\lambda t}, \quad \Delta\delta(t) = c e^{-\lambda t}.$$

2. $k > 0$; $\lambda_1 = \lambda_2 < 0$ - მდგრადი კვანძი - ამონასნის აქვს სახე:

$$S(t) = C_1 e^{-\lambda t}, \quad \Delta\delta(t) = -C_2 e^{-\lambda t}$$

და ისინი აკმაყოფილებენ (2.5) განტოლებას (ნახ. 5).

3. $k = 0$; $\lambda_1 = \lambda_2 = 0$ - არამდგრადი მდგომარეობა. (ნახ. 6).

ზოგად ამონასსნე აქვს სახე:

$$\Delta\delta = C_1 + C_2 t; \quad S = C_2;$$

4. $K < 0$; $\lambda_1 = -\lambda_2$ კომპლექსური ფესვებია. მივიღებთ ციკლს – ნეიტრალურად მდგრადი მდგომარეობა (ნახ. 7).

ე.ო, როცა $k > 0$, გვაქვს წონასწორობის მდგრადი მდგომარეობა (ნახ. 5). $k = 0$ -ის დროს – არამდგრადი (ნახ. 6). როცა $k < 0$ – სისტემა გადადის რხევის რეჟიმში. ის არ არის მდგრადობის დაკარგვა, ანუ პოპულის ბიფურკაცია.

ურთიერთდამიკიდებულება S -სა და $\Delta\delta$ -ს შორის ყველა შემთხვევისათვის გამოსახულია ეგმ-ზე მოდელირებით (დანართი).

2.4 პოპულის ბიფურკაცია ორგენერატორიანი ენერგოსისტემისათვის

ორგენერატორიანი სისტემა აღიწერება შემდეგი განტოლებათა სისტემით:

$$\begin{aligned} \frac{dS_1}{dt} &= \frac{E_1 E_2 I_{12}}{I_1} [\sin(\delta_{*1} - \delta_{*2}) - \sin(\delta_{*1} + \Delta\delta_{*2} - \delta_{*2})] + \\ &+ \frac{E_1 U I_{1U}}{I_1} [\sin \delta_{*1} - \sin(\delta_{*1} + \Delta\delta_1)] - T_1 S_1 \end{aligned} \quad (2.9)$$

$$\begin{aligned} \frac{dS_2}{dt} &= \frac{E_1 E_2 I_{12}}{I_2} [\sin(\delta_{*1} + \Delta\delta_{*1} - \delta_{*2} - \Delta\delta_{*2}) - \sin(\delta_{*1} - \delta_{*2})] + \\ &+ \frac{E_1 U I_{1U}}{I_2} [\sin \delta_{*2} - \sin(\delta_{*2} + \Delta\delta_{*2})] - T_2 S_2. \end{aligned} \quad (2.10)$$

შემოვიჩანოთ აღნიშვნები:

$$\begin{aligned} \frac{E_1 E_2 I_{12}}{I_2} &= K_1; \quad \frac{E_1 U I_{1U}}{I_1} = K_2; \\ \frac{E_1 E_2 I_{12}}{I_2} &= K_3; \quad \frac{E_1 U I_{1U}}{I_1} = K_4. \end{aligned} \quad (2.11)$$

თუ (2.11) აღნიშვნებს შევიტანო (2.9)-ში, მივიღებთ:

$$\frac{dS_1}{dt} = K_1 [\sin(\delta_{*1} - \delta_{*2}) - \sin(\delta_{*1} + \Delta\delta_{*1} - \delta_{*2} + \Delta\delta_{*2})] + K_2 [\sin\delta_{*1} - \sin(\delta_{*2} + \Delta\delta_{*1})] - T_1 S_1; \quad (2.12)$$

$$\frac{dS_2}{dt} = K_3 [(\delta_{*1} + \Delta\delta_{*1} - \delta_{*2} - \delta_2) - \sin(\delta_{*1} - \delta_{*2})] + K_4 [\sin\delta_{*2} - \sin(\delta_{*2} + \Delta\delta_{*2})] - T_2 S_2.$$

$$\text{აღვნიობოთ } \frac{d\Delta\delta_1}{dt} = S_1 \quad \frac{d\Delta\delta_2}{dt} = S_2 \quad (2.13)$$

შონას შორების შერტილი იქნება:

$$(S_1, \Delta\delta_1, S_2, \Delta\delta_2) = (0, 0, 0, 0) \quad (2.14)$$

და ამ შერტილის არეში სისტემას ექნება სახე:

$$\frac{dS_1}{dt} = -K_1 \cdot \cos(\delta_{*1} - \delta_{*2}) \Delta\delta_1 - K_2 \cdot \cos(\delta_{*1}) \Delta\delta_1 - T_1 S_1 + K_1 \cos(\delta_{*1} - \delta_{*2}) \Delta\delta_2; \quad (2.15)$$

$$\frac{dS_2}{dt} = -K_3 \cos(\delta_{*1} - \delta_{*2}) \Delta\delta_2 - K_4 \cdot \cos(\delta_{*2}) \Delta\delta_2 - T_2 S_2 - K_3 \cos(\delta_{*1} - \delta_{*2}) \Delta\delta_2.$$

კეტორული სახით $(S_1, \Delta\delta_1, S_2, \Delta\delta_2)$ -თან მიმართებაში სისტემა ჩაიწერა შემდეგი სახით:

$$\begin{bmatrix} S_1 \\ \Delta\delta_1 \\ S_2 \\ \Delta\delta_2 \end{bmatrix} = \begin{bmatrix} -T_1 & -K_1(\delta_{*1} - \delta_{*2}) + K_2 \cos(\delta_{*1}) & 0 & K_3(\delta_{*1} - \delta_{*2}) \\ 1 & 0 & 0 & 0 \\ -T_2 & K_3(\delta_{*1} - \delta_{*2}) & 0 & -K_3(\delta_{*1} - \delta_{*2}) + K_4 \cos(\delta_{*2}) \\ 0 & 1 & 0 & 0 \end{bmatrix} \times \begin{bmatrix} S_1 \\ \Delta\delta_1 \\ S_2 \\ \Delta\delta_2 \end{bmatrix} \quad (2.16)$$

აქედან, მათ სიათებელ განტოლებას ექნება სახე:

$$\begin{aligned} & \begin{bmatrix} -T_1 - \lambda & -K_1(\delta_{*1} - \delta_{*2}) + K_2 \cos(\delta_{*1}) & 0 & K_1(\delta_{*1} - \delta_{*2}) \\ 1 & 0 & 0 & 0 \\ -T_2 - \lambda & K_3(\delta_{*1} - \delta_{*2}) & -\lambda & -K_3 \cos(\delta_{*1} - \delta_{*2}) + K_4 \cos(\delta_{*2}) \\ 0 & 1 & 1 & -\lambda \end{bmatrix} = \\ & = -\lambda \times \begin{bmatrix} -T_1 - \lambda & -K_1(\delta_{*1} - \delta_{*2}) + K_2 \cos(\delta_{*1}) & 0 \\ 1 & -\lambda & 0 \\ -T_2 & K_3(\delta_{*1} - \delta_{*2}) & -\lambda \end{bmatrix} - \\ & - \begin{vmatrix} -T_1 - \lambda & -K_1 \cos(\delta_{*1} - \delta_{*2}) + K_2 \cos(\delta_{*1}) & K_1 \cos(\delta_{*1} - \delta_{*2}) \\ 1 & -\lambda & 0 \\ -T_2 & K_3 \cos(\delta_{*1} - \delta_{*2}) & -K_3 \cos(\delta_{*1} - \delta_{*2}) - K_4 \cos(\delta_{*2}) \end{vmatrix} \end{aligned} \quad (2.17)$$

3×3 დეტერმინანტის ამოხსნით და გამარტივებით მივიღებთ:

$$\begin{aligned}
& \lambda^4 + T_1 \lambda^3 + \lambda^2 (K_1 \cos(\delta_{*1} - \delta_{*2})) + K_2 \cos(\delta_{*1}) + K_3 \cos(\delta_{*1} - \delta_{*2}) - \\
& - K_4 \cos(\delta_{*2}) + \lambda(T_1 + K_3 \cos(\delta_{*1} - \delta_{*2}) + T_2 \cos(\delta_{*1} - \delta_{*2})) - \\
& - K_3 \cos(\delta_{*1} - \delta_{*2}) \cdot K_1 \cos(\delta_{*1} - \delta_{*2}) + (K_1 \cos(\delta_{*1} - \delta_{*2})) + \\
& + K_2 \cos(\delta_{*1}) \cdot (K_3 \cos(\delta_{*1} - \delta_{*2}) + K_4 \cos(\delta_{*2})) = 0
\end{aligned} \tag{2.18}$$

თუ მიღებული მახასიათებელი განტოლების ამოხსნის შედეგად K_1, K_2, K_3, K_4 , მნიშვნელობებს აღმოაჩნდათ წყვილი შეუდლებული კომპლექსური ფესვები, სისტემაში ადგილი ექნება პოპულაციას, ე.ო. ეგზ-ზე მოდელირებით ფაზურ სიბრტყეზე მივიღებთ ზღვრულ ციკლებს, რომელთაც ფაზურ სივრცეში შეესაბამება ტორი (ნახ. 8).

უპირველესად განვიხილოთ მთლიანად ეს სისტემა ანალიზურად. გავარკვიოთ, პარამეტრების მოცემული მნიშვნელობების დროს მახასიათებელი განტოლება იძლევა თუ არა კომპლექსურ ფესვებს. შემდგომ ის ამოგხსნათ ეგზ-ის საშუალებით და მივიღოთ ფაზური პორტრეტი:

$$\begin{aligned}
\frac{dS_2}{dt} &= -X_1 \Delta \delta_1 + X_2 \Delta \delta_2 - T_1 S_1 + X_1 \Delta \delta_2; \\
\frac{d(\Delta \delta_1)}{dt} &= S_1; \\
\frac{dS_2}{dt} &= -X_3 \Delta \delta_1 - X_4 \Delta \delta_2 - T_2 S_2 + X_2 \Delta \delta_1; \\
\frac{d(\Delta \delta_2)}{dt} &= S_2.
\end{aligned} \tag{2.19}$$

სადაც

$$X_1 = K_1 \cos(\delta_{*1} - \delta_{*2}); \quad X_2 = K_2 \cos(\delta_{*1});$$

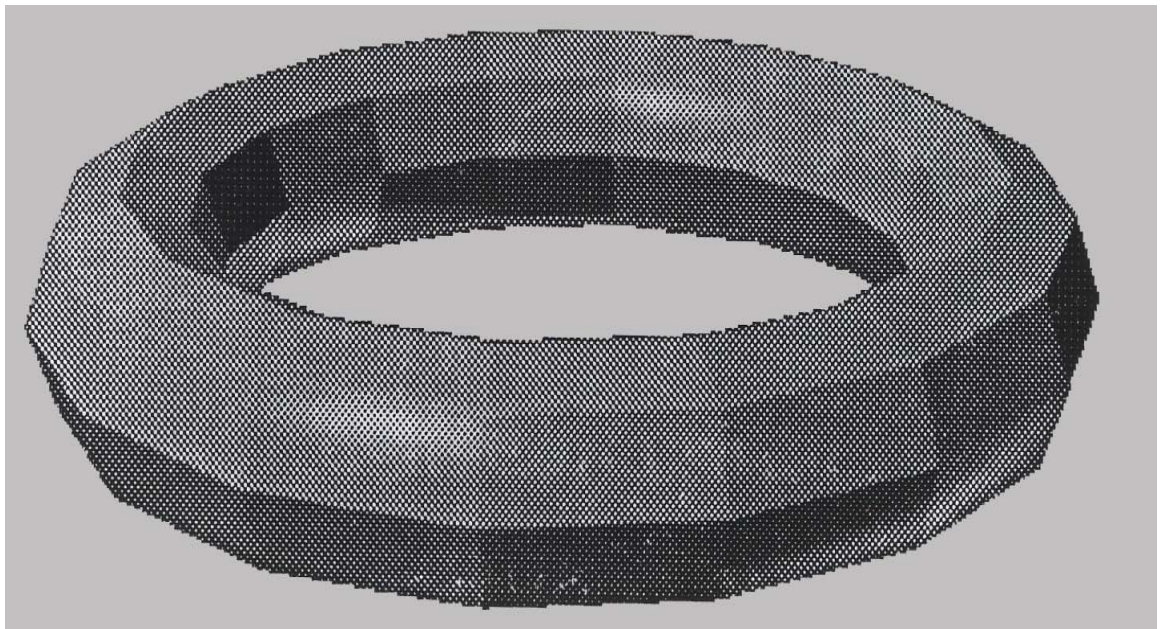
$$X_3 = K_3 \cos(\delta_{*1} - \delta_{*2}); \quad X_4 = K_4 \cos(\delta_{*2});$$

$$\begin{bmatrix} S_1 \\ \Delta \delta_1 \\ S_2 \\ \Delta \delta_2 \end{bmatrix} = \begin{bmatrix} -T_1 & -X_1 - X_2 & 0 & X_1 \\ 1 & 0 & O(-T_2) & 0 \\ 0 & X_3 & -T_2 & -X_3 - X_4 \\ 0 & 0 & 1 & 0 \end{bmatrix} \times \begin{bmatrix} S_1 \\ \Delta \delta_1 \\ S_2 \\ \Delta \delta_2 \end{bmatrix} \tag{2.20}$$

$$\begin{aligned}
& \begin{bmatrix} -T-\lambda & -(X_1-X_2) & 0 & X_1 \\ 1 & -\lambda & 0 & 0 \\ 0 & X_3 & -T_2-X & -(X_3-X_4) \\ 0 & 0 & 1 & -\lambda \end{bmatrix} = 0, \\
& -\lambda \begin{bmatrix} -(T_1+\lambda) & -(X_1+X_2) & 0 & 0 \\ 1 & -\lambda & 0 & 0 \\ 0 & X_3 & -(T_2-\lambda) & 0 \end{bmatrix} - \\
& - \begin{bmatrix} T_1+\lambda & -(X_1+X_2) & X_1 & 0 \\ 1 & -\lambda & 0 & 0 \\ 0 & X_3 & -(X_3+X_4) & 0 \end{bmatrix} = 0 \\
& \lambda[\lambda(T_1+\lambda)(T_2+\lambda)+(X_1+X_2)(T_1+\lambda)] + \\
& + \lambda(T_1+\lambda)(X_3+X_4)-X_1X_3+(X_1+X_2)(X_3+X_4) \\
& \lambda^4 + b\lambda^3 + C\lambda^2 + d\lambda + e = 0 \tag{2.21}
\end{aligned}$$

$$b = T_1 + T_2 \quad c = T_1 + T_2 + X_1 + X_2 + X_3 + X_4$$

$$d = (X_1 + X_2)T_2 + (X_3 + X_4)T_1 \quad e = X_1X_4 + X_2(X_3 + X_4)$$



ნახ. 8 ორგენერატორიანი სისტემის ფაზური გორი

მივანიჭოთ პარამეტრებს მნიშვნელობები, ჩათვალოთ, რომ $T_1 = 10$ და $T_2 = 5$ და ამოვხესნათ მიღებული მახასიათებელი განტოლება:

$$X_1 = K_1 \cos(\delta_{*1} - \delta_{*2}) = 0,3 \cdot 0,9801 = 0,2940$$

$$X_2 = K_2 \cos(\delta_{*1}) = 0,44 \cdot 0,6216 = 0,2735$$

$$X_3 = K_3 \cos(\delta_{*1} - \delta_{*2}) = 0,4 \cdot 0,9801 = 0,3920$$

$$X_4 = K_4 \cos(\delta_{*2}) = 0,66 \cdot 0,7648 = 0,5048$$

$$b=15; C=50+0,2940+0,2735+0,3920+0,5048=1,4643$$

$$d = (0,2940 + 0,2735) \cdot 5 + (0,3920 + 0,5048) \cdot 10 = 11,8055$$

$$e = 0,2940 \cdot 0,5048 + 0,2735 \cdot (0,3920 + 0,5048) \cdot 0,3937$$

(2.9) განტოლების ფესვები ემთხვევა

$$\lambda^2 + (b+a)\frac{\lambda}{2} + Y_1 + \frac{bY-d}{a} = 0 \quad (2.22)$$

კვადრატული განტოლების ფესვებს, სადაც

$$a = \pm \sqrt{8Y_1 + b^2 - 4c} \quad (2.23)$$

ხოლო Y_1 აკმაყოფილებს განტოლებას:

$$8Y_1^3 - 4CY_1^2 + (2bd - 8e)Y_1 + e(4C - b^2) - d^2 = 0 \quad (2.24)$$

და ეს განტოლება კუბური განტოლების რომელიმე ნამდვილი ფესვია.
(2.22) ასე გადავწეროთ:

$$a_0 X^3 + b_0 X^2 + C_0 X + d_0 = 0 \quad (2.25)$$

$$\text{სადაც } X = Y_1; \quad a_0 = 8; \quad b_0 = -4C = -205,86; \quad C_0 = 2bd - 8e = 351,015;$$

$$d_0 = e(4C - b^2) - d^2 = -146,9052.$$

თუ (2.25)-ს გავყოფთ a_0 -ზე და შემოვიტანო ახალ ცვლადებს შემდეგი სახით:

$$Y = X + \frac{b_0}{3a_0} = Y_1 - 8,5775, \quad (2.26)$$

მივიღეთ შემდეგი სახის კუბურ განტოლებას:

$$Y^3 + 3PY + 2q = 0 \quad (2.27)$$

სადაც

$$P = \frac{C_0}{3a_0} - \frac{b_0^2}{9d_0^2} = -58 = 9485$$

$$q = \frac{b_0^3}{27a_0^3} - \frac{b_0C_0}{6a_0^3} + \frac{d_0}{2a_0} = 451,9653$$

(2.27) განტოლების დისკრიმინანტი $D = q + p = -1075 < 0$. რადგან $D < 0$, ამიტომ მოცემულ განტოლებას სამი ნამდვილი ფესვი აქვს. ერთ-ერთი მათგანი შემდეგი სახისაა:

$$Y = 2r \cos \frac{\varphi}{3}, \quad (2.28)$$

$$\text{სადაც } r = -\sqrt{|p|} = -\sqrt{58,9485} = 7,6778;$$

$$\cos \varphi = \frac{q}{r^3} = \frac{-451,9653}{-452,9902} = 0,9977; \quad \varphi = \arccos 0,9977 = 4^\circ,$$

$$\cos \frac{\varphi}{3} = \cos 1^\circ 20' = 0,9977; \quad Y = 2 \cdot 7,6778 \cdot 0,9977 = 15,351$$

(2.26)-ის თანახმად

$$Y_1 = Y + 8,5775 = 15,351 + 8,5775 = 23,9285$$

(2.25)-ის მიხედვით

$$a = \pm \sqrt{191,428 + 225 - 205,86} = 14,511;$$

$$\frac{b+a_1}{2} = 14,7555, \quad \frac{b+a_2}{2} = 14,7555 \quad (2.29)$$

$$Y_1 + \frac{b_r - d}{a_1} = 47,8498, \quad Y_1 + \frac{b_r - d}{a_2} = 0,037$$

(2.20)-სა და (2.25)-ის თანახმად გვაქვს ორი განტოლება:

$$\lambda^2 + 14,7555\lambda + 47,8498 = 0 \quad (2.30)$$

$$\lambda^2 + 0,2445\lambda + 0,0370 = 0 \quad (2.31)$$

(2.30)-თვის მივიღებთ:

$$\lambda_{1,2} = -7,3778 \pm 2,5655$$

ხოლო (2.31)-თვის

$$\lambda_{3,4} = -0,1223 \pm i \times 0,1483$$

ამგარად მივიღებთ შემდეგ მნიშვნელობებს:

$$\lambda_1 = -4,8123; \quad \lambda_2 = -9,9433; \quad \lambda_3 = -0,1223 + 0,1483i; \quad \lambda_4 = -0,1223 - 0,1483i;$$

ზოგადი ამონასნი რომელიმე ცვლადი სიდიდისათვის ჩაიწერება შემდეგნაირად:

$$\begin{aligned}
\xi &= \xi_1 e^{\lambda_1 t} + \xi_1 e^{\lambda_2 t} + \xi_1 e^{\lambda_3 t} + \xi_1 e^{\lambda_4 t} = \\
&= \xi_1 e^{0,0012t} \cdot \xi_1 e^{-50,0044t} \cdot \xi_1 e^{-0,0034t} \cdot \xi_1 e^{-0,0034t} \cdot \xi_1 e^{-1,064it} = \\
&= \xi_1 e^{-0,0012t} + \xi_1 e^{-50,0044t} + \xi_1 e^{-0,003425t} \cdot (\cos 1,064t + i \sin 1,064t) + \\
&+ \xi_1 e^{-0,0034t} (\cos 1,064t - i \sin 1,064t)
\end{aligned} \tag{2.32}$$

$t = 0$ მომენტი მივიღებთ შემდეგ განტოლებებს:

$$\xi = X_1; \quad \frac{d\xi}{dt} = X_2; \quad \frac{d^2\xi}{dt^2} = X_3; \quad \frac{d^3\xi}{dt^3} = X_4. \tag{2.33}$$

ამრიგად, როცა სისტემის მახასიათებელ განტოლებას ნამდვილ ფესვებთან ერთად აქვს კომპლექსურიც, მაშინ მასში მოსალოდნელია ჰარმონიული რხევების არსებობაც, რომლებსაც ფაზურ სივრცეში ზღვრული ზედაპირი ანუ ციკლები შეესაბამება.

ანალიტიკური გამოკვლეულებიდან ჩანს, რომ ამ დროს ორგენერატორიან სისტემაში მიიღება ჰოპფის ბიფურკაცია.

2.5 ჰოპფის ბიფურკაცია სამგენერატორიანი სისტემისათვის

იმისათვის, რომ გაჩვენოთ სისტორული არეების ჰოპფის ბიფურკაციის თეორემა მძლავრი ელექტროსისტემებისათვის, გამოვიყენოთ იგი სამგენერატორიანი სისტემისათვის. განტოლებები გადავწეროთ შემდეგი სახით:

$$\ddot{Q}_1 + 2D_{12}\sin(\theta_1) + D_{23}\sin(\theta_1 - \theta_2) + D_{13}\sin(\theta_2) + C_{23}\cos(\theta_1 - \theta_2) - C_{13}\cos(\theta_2) = \Delta P_1 \tag{2.34}$$

$$\ddot{Q}_1 + 2D_{13}\sin(\theta_2) + D_{23}\sin(\theta_2 - \theta_1) + D_{12}\sin(\theta_1) + C_{23}\cos(\theta_2 - \theta_1) - C_{12}\cos(\theta_1) = \Delta P_2 \tag{2.35}$$

სადაც $\theta_1 = \delta_2 - \delta_1; \theta_2 = \delta_3 - \delta_1; \Delta P_1 = P_2 - P_1; \Delta P_2 = P_3 - P_1; \delta_1$ და P_1 შესაბამისად აღნიშნავს მანქანურ კუთხეს და სიმძლავრეს.

შეიძლება განისაზღვროს პარამეტრების მნიშვნელობების ჯგუფი, რომლებიც შეესაბამება ბიფურკაციის წერტილებს კონსერვატიულ სისტემაში და მიიღება ჰოპფის ბიფურკაციის ინდიკატორი. ბიფურკაციის ამ წერტილისათვის პარამეტრების მნიშვნელობები მოცემულია ცხრილში:

C ₁₂	C ₁₃	C	D ₁₂	D ₂₃	D ₁₃	ΔP ₁	ΔP ₂	P1	θ ₁	θ ₂
0	0	2	1	0,577	0,577	4,042	2,887	-1,155	1,047	0,523

დემპფირების დამატების შემდეგ (2.34), (2.35) განტოლებები დაიყვანება I რიგის განტოლებაზე, სადაც

$$X = \begin{bmatrix} \theta \\ \dot{\theta} \end{bmatrix}; \quad A = \begin{bmatrix} 0 & I \\ 0 & -\lambda I \end{bmatrix}; \quad B = \begin{bmatrix} 0 \\ I \end{bmatrix}; \quad C = [I \quad 0],$$

$$g(x, \eta) = \begin{bmatrix} P_2 - \eta - 2D_{12}\sin(\theta_1) - D_{23}\sin(\theta_1 - \theta_2) - D_{13}\sin(\theta_2) - C_{23}\cos(\theta_1 - \theta_2) + C_{13}\sin(\theta_2) \\ P_3 - \eta - 2D_{13}\sin(\theta_2) - D_{23}\sin(\theta_2 - \theta_1) - D_{23}\sin(\theta_1) - C_{23}\cos(\theta_2 - \theta_1) + C_{13}\sin(\theta_1) \end{bmatrix} \quad (2.36)$$

$$\eta = P_1$$

(2.34), (2.35) უნდა გარდავქმნათ უპერადაცემის ეკვივალენტურ სისტემად:

$$X = AX + BRY + B[(g, \eta) - RY]; \quad Y = CX \quad (2.37)$$

სადაც

$$L(e) = G(S, \eta) \cdot L(U)$$

$$G(S, \eta) = C[SI - (A + BRC)]^{-1} \beta \quad (2.38)$$

$$u = f(e, \eta) = g(-e, \eta) - RY$$

თუ $R=1$, რათა არ იყოს ნაიკვისტის კონტურზე ერთგვაროვნება, მაშინ მივიღებთ:

$$G(S) = \begin{bmatrix} \frac{1}{S^2 + YS - 1} & 0 \\ 0 & \frac{1}{S^2 + YS - 1} \end{bmatrix} \quad (2.39)$$

$$f(e, \eta) = g(-e, \eta) + e$$

იაკობიანი $J = \text{Det}f$ იქნება:

$$\text{Det}f = \begin{bmatrix} \gamma + z & \beta + Y \\ \beta - Y & \gamma - z \end{bmatrix}$$

$$\gamma = D_{12} \cos(e_1) + D_{13} \cos(e_2) + D_{23} \cos(e_1 - e_2) + 1;$$

$$Z = D_{12} \cos(e_1) + D_{13} \cos(e_2) + D_{23} \sin(e_1 - e_2), \quad (2.40)$$

$$\beta = -D_{23} \cos(e_1 - e_2) + [D_{12} \cos(e_1) + D_{12} \cos(e_2)]/2 + [C_{12} \sin(e_1) + C_{13}(e_2)]/2;$$

$$Y = [D_{13} \cos(e_2) - D_{12} \cos(e_1)]/2 + C_{13} \sin(e_1 - e_2) + [-C_{12} \sin(e_1) + C_{13}(e_2)]/2. \quad (2.41)$$

ამგვარად,

$$G(S) \cdot J = \frac{1}{S^2 + YS - 1} \begin{bmatrix} \alpha + z & \beta + Y \\ \beta - Y & \alpha - z \end{bmatrix} \quad (2.42)$$

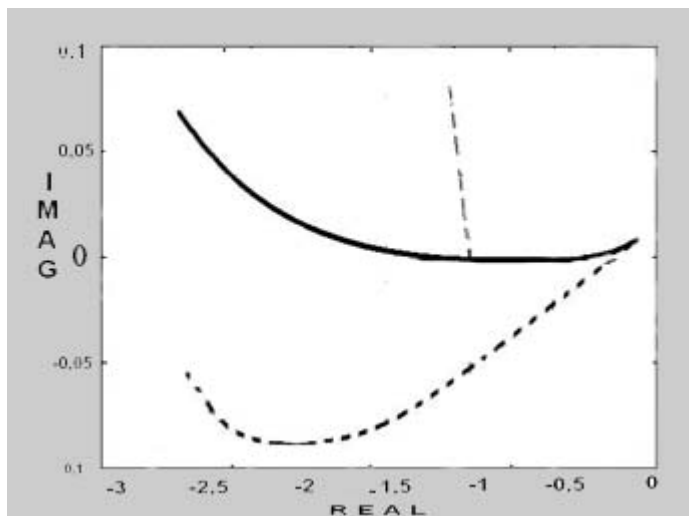
$G(j\omega) \cdot J$ ფუნქციის მახასიათებელი განტოლება იქნება:

$$\lambda(j\omega) = -[\alpha \pm \sqrt{z + \beta - \omega}] \frac{(\omega^2 + 1) + J\omega Y}{\omega^4 (2 + Y)\omega^2 + 1} \quad (2.43)$$

ნათელია, რომ ნახევარნორმალური პოლუსი განსაზღვრული სმიტ-მაკმილანის [S] ფორმით, არის გახსნილ მარყუჯზე გადაადგილების ფუნქცია. $G(S) \cdot J$ მატრიცა იქნება [34]:

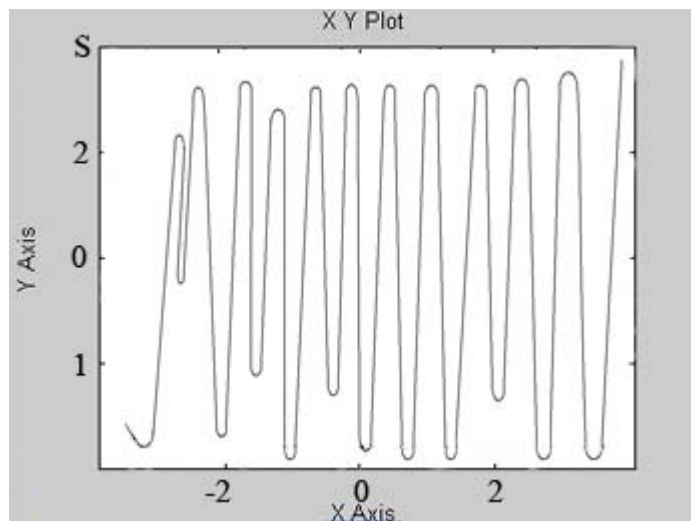
$$P(S) = (S^2 + TS - 1) \quad (2.44)$$

თუ ჩაგსვავთ პარამეტრების მნიშვნელობებს ცხრილიდან, როცა $Y=0,05$, ეს საკმარისი იქნება საანგარიშოდ და ეგმ-ზე მოდელირებისათვის, რადგან ბიურკაციის პარამეტრი P_1 იცვლება მისი კრიტიკული მნიშვნელობისას. როცა დემპფირების მნიშვნელობა $Y=0,05$ და P_1 -ის კრიტიკული მნიშვნელობა დაძრულია – 1,1551-დან დაახლოებით – 1,146-მდე. $P_1 < -1,146$ – თვის მახასიათებელი შემოწერს (-1,50) წერტილს ორჯერ და აღწევს მდგრად მდგომარეობას. თავიდან კი გრაფიკი მიისწოდის ამ წერტილისაკენ, ე.ი. სისტემა კონვერგირებს წონასწორობისაკენ, რჩევების სიხშირით 1,2 რად/წმ. (ნახ.9)

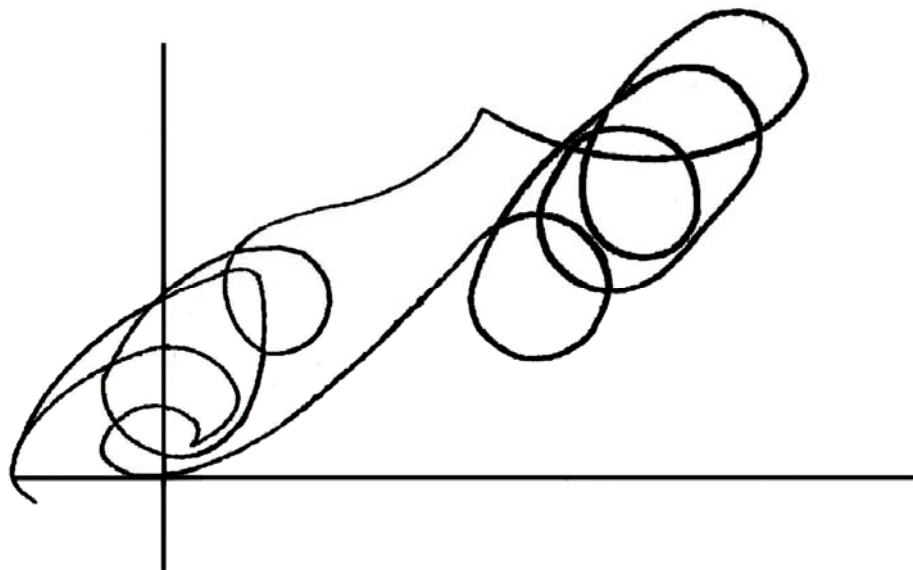


ნახ.9 სამგენერატორიანი სისტემის მოძრაობა წონასწორობისაკენ

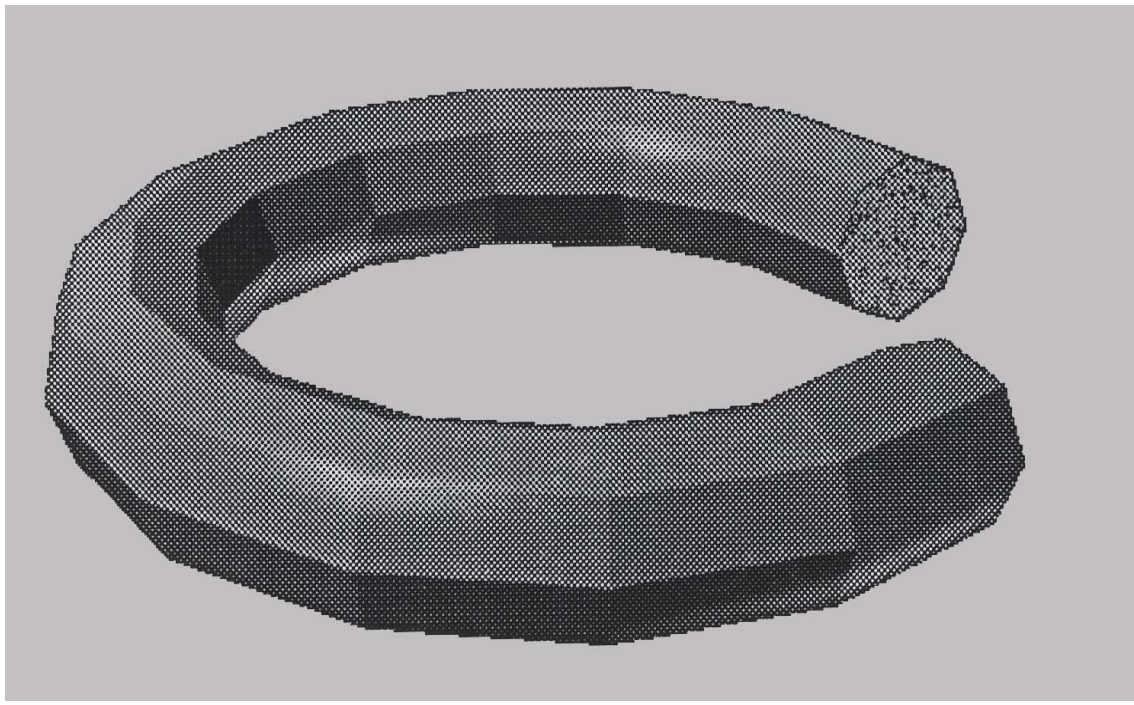
თუ P_1 გადის კრიტიკულ მნიშვნელობას, ტრაექტორია გაივლის (-1,50) წერტილზე, მაგრამ არ ემთხვევა მას, ე.ი. აღწერს არამდგრად სისტემას. ეს არის ის შემთხვევა, როცა ფესვები კვეთენ წარმოსახვით დერძებს. სისტემაში ადგილი აქვს პოპულაციას.



ნახ.10 გარდამავალი პროცესის გრაფიკი სამგენერატორიანი სისტემისთვის



ნახ.11 სამგენერატორიანი სისტემის სახე ფაზურ სიბრტყეზე



ნახ.12 n – განზომილებიანი ტორი

როცა $P_1=-1,144$, მაშინ სისტემა მიისწრაფის წონასწორობისაკენ.
თუ $P_1=-1,145$, მაშინ სისტემა აღწევს წონასწორობას და საბოლოოდ,
როცა $P_1=-1,146$, სისტემაში აქაც ადგილი აქვს პოპფის ბიფურკაციას.

ამ ექსპერიმენტის გარდამავალი პროცესის გრაფიკი და ფაზურ
სიბრტყეზე მისი სახე მოცემულია (ნახ.10) და (ნახ.11), ხოლო (ნახ.12)-ზე
კი - ექსპერიმენტის საბოლოო შედეგები: n-განზომილებიანი ტორი.

3. ქაოსი ენერგოსისტემებში

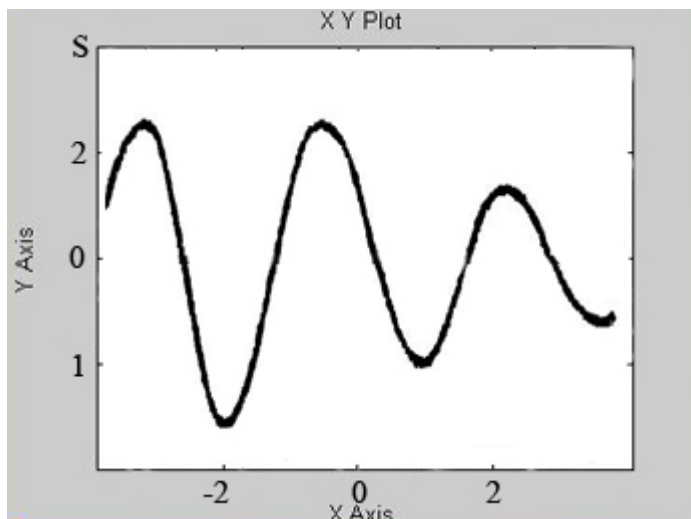
3.1 საერთო ცნობები ქაოსის შესახებ

ქაოსი დინამიკურ სისტემებში – ეს არის ერთ-ერთი ძირითადი პრობლემა რხევების არაწრფივი თეორიისა. კვლევები ამ მიმართულებით მიმდინარეობს როგორც რიცხვითი, ასევე ნატურალური ექსპერიმენტებით.

რხევით სისტემაში მოძრაობის ხასიათის შესასწავლად და ატრაქტორის არსებობის დასადგენად გამოიყენება შემდეგი მეთოდები:

- 1) გამოსაკვლევი დიფერენციალური განტოლების რიცხვითი ინტეგრირება გარდამავალი პროცესის უარყოფით.

შედეგად ვღებულობთ ერთ ან რამდენიმე $X(t)$ ფაზური ცვლადის დროში ცვლილების სურათს. (ნახ. 13.)-ზე მოცემულია ატრაქტორის რეჟიმში მომუშავე არაწრფივი ინერციული გენერატორისათვის ზემოთ აღნიშნული დროითი რეალიზაცია [34]:



ნახ. 13. ატრაქტორის რეჟიმში მომუშავე არაწრფივი ინერციული გენერატორის გარდამავალი პროცესი

2) ფურიეს გამოკვლევა.

ხორციელდება მიღებული რხევების სპექტრებით, ან ნატურალურ ექსპერიმენტებში სპექტრ-ანალიზატორის გამოყენებით, ან კიდევ

განტოლების ინტეგრირებით ეგმ-ზე სპეციალური პროგრამით დაფურიეს სწრაფი გარდაქმნით.

სისტემაში რხევების ევოლუციისას პერიოდულიდან ქაოსურისაკენ, ერთი ან რამოდენიმე მმართველი პარამეტრის ცვლილებისას, სპექტრში შეიძლება დავაკვირდეთ პარმონიკების ღონიერის ზრდას, შემდეგ კი სუბპარმონიკების წარმოშობას (რხევების პერიოდის ბიფურკაცია) და ქაოსის დროს ჩნდება სრული სპექტრი, რომელშიც ჩანს სისტემის მახასიათებლები.

3) ქაოსური რხევების კორელაციური ფუნქციის კვლევა.

ვინერ-ხინჩინის თეორემის ძალით სრული სპექტრის არსებობისას, ნებისმიერი ცვლადისათვის მიიღება კორელაციის ფუნქციის დადმავალი ხასიათი [34].

4) დადებითი ენტროპია დინამიკურ სესტემებში.

იგი ითვლება ქაოსის ერთ-ერთ კრიტერიუმად, რომელიც ახასიათებს ფაზური ტრაექტორიების საშუალო სიჩქარეს ატრაქტორში:

$$K = \lim_{\varepsilon \rightarrow 0} \lim_{t \rightarrow \infty} \frac{M(\varepsilon, t)}{t}, \quad (3.1)$$

სადაც, ε - გაზომვის ცდომილებაა, t - დაკვირვების დრო, M - ტრაექტორიების მაქსიმალური რიცხვი, რომელთა შორის მანძილიც მეტია K -ზე. ე.ო. თუ ტრაექტორიები მდგრადია ლიაპუნოვის მიხედვით, ანუ ახლო მდებარე საწყისი გამომსახულები არ შორდებიან ერთმანეთს, მაშინ $K=0$.

5) დისპერსიის $D^2 = (X - \bar{X})^2$ განსაზღვრა და პისტოგრამების აგება.

ეს ხორციელდება, მაშინ, როცა ატრაქტორი იკვეთება სიბრტყესთან, რომელსაც პუანკარეს სიბრტყე ეწოდება. ამ დროს მმართველი პარამეტრის ცვლილებისას შეიძლება ფაზური სიგრცის ზომების 1-ით შემცირება და მასზე რხევების ევოლუციის სურათის მიღება პერიოდულიდან ქაოსურამდე. ამ დროს შეიძლება სიგრცეული და დროითი დისკრეტიზაციის განხორციელება [1,5,26,34].

წინამდებარე სამუშაოში გამოყენებული მაქვს დროითი დისკრეტიზაცია, რადგან ის სიგრცეული დისკრეტიზაციისაგან განსხვავებით ამარტივებს დასმული პრობლემის გადაჭრას.

განვიხილოთ ε დროითი დისკრეტიზაცია, როდესაც ხდება გადასვლა უწყვეტი დროითი დინამიკური სისტემიდან:

$$X=F(X), F: R^d \rightarrow R^d, F \in C^2(R^d) \quad (3.2)$$

გარდასახვაზე $f \in R^d$. საინტერესოა, თუ რამდენად ინარჩუნებს მოცემული (3.2) სისტემა თავის ძირითად მახასიათებლებს საკმაოდ მცირე დისკრეტიზაციის დროს. კარგადაა ცნობილი დიფერენციალური განტოლებებიდან ასახვაზე გადასვლის ზუსტი მეთოდები: ესაა ε დროით ტრაექტორიაზე ძვრის ოპერატორი და პუანკარეს ასახვა რადაც ზედაპირის მიმართ, რომელიც ტრანსვერსალურია სისტემის ტრაექტორიებთან.

პრაქტიკაში გამოყენებულია დროითი დისკრეტიზაციის შემდეგი მიახლოებითი მეთოდები: ეილერის მეთოდი, ცენტრალური სხვაობების მეთოდი, შტერმერის მეთოდი და ა. შ.

სივრცული დისკრეტიზაციისაგან განსხვავებით, სადაც ტიპიურ ეფექტს წარმოადგენს არამდგრადი ციკლების სტაბილიზაცია – სტოქასტიკურობის დაშლა, დროითი დისკრეტიზაციისას შესაძლებელია ქაოსურობის გაჩენა.

დაგუშვათ, (3.2) სისტემას აქვს ორი გადაუგვარებელი უძრავი წერტილი, რომელთა შორისაც ერთ-ერთი არამდგრადია. მაშინ ეილერის მეთოდით დისკრეტიზაციისას ანუ $f\varepsilon(X) = X + \varepsilon F(X)$ ასახვაზე გადასვლისას, მოიძებნება ისეთი $\varepsilon_0 > 0$, რომ ყველა $\varepsilon > \varepsilon_0$ დისკრეტიზირებული სისტემა ქაოსურია ლი-იორქეს მიხედვეთ.

ერთ-ერთ ძირითად ნაკლოვანებად ამ შემთხვევაში წარმოგვიდგება ის, რომ ქაოსურობა ჩნდება დისკრეტიზაციის ε პარამეტრის მხოლოდ საკმაოდ დიდი მნიშვნელობისას, რომლის დროსაც განსაკუთრებული წერტილების ტიპი შეიძლება განსხვავდებოდეს საწყისი სისტემისაგან. ამ ნაკლოვანების ნაწილობრივი აცილება შეიძლება შემდეგნაირად:

კოქვათ $d=1$, $F(X)=X(1-X)$, მაშინ ცენტრალური სხვაობებით დისკრეტიზაციის დროს, ე.ო. ორგანზომილებიან ასახვაზე $f(\varepsilon(U,V)) = (V + 2\varepsilon F(U), U)$ გადასვლისას, ნებისმიერი $\varepsilon > 0$ -თვის, დისკრეტიზირებული სისტემა ქაოსურია ლი-იორქეს მიხედვით.

გეომეტრიული თვალსაზრისით, ამ დროს ნებისმიერი $\varepsilon > 0$ -თვის (1,1) წერტილის მდგრადი და არამდგრადი მრავალსახეობები ტრანსფერსალურად იკვეთებიან შესაბამისად არამდგრად და მდგრად (0,0) წერტილის მრავალსახეობებთან, რაც იწვევს ქაოსს. მაგრამ ამ დროს დისკრეტულ დროითი სისტემა მნიშვნელოვნად განსხვავდება საწყისი სისტემისაგან ძირითადი მახასიათებლებით (ფაზური სევრცის განზომილება, განსაკუთრებული წერტილების ტიპი ა.შ.)

ეგმ-ზე მოდელირებით შეიძლება გამოვიკვლიოთ ქაოსის ჩასახვა ენერგოსისტემებში. რიცხვით ანალიზს საფუძვლად უდევს სხვადასხვა სქემები, ამიტომ ეს გვაიძულებს დიფერენციალური განტოლებებიდან გადავიდეთ სხვაობითი სახის განტოლებებზე. სისტემის მოძრაობის დისკრეტული განტოლება იძენს სტოქასტიკურობას ნებისმიერი დისკრეტიზაციისას, როცა კი საწყისი განტოლება ზუსტად ინტეგრირდება. ეს ნიშნავს, რომ დისკრეტულ განტოლებებზე გადასვლა ექვივალენტურია გარეშე პერიოდული ძალის დამატებისა.

განვიხილოთ ენერგოსისტემებში ქაოსის ჩასახვა და განვითარების პროცესი. ქაოსური მოძრაობა განვიხილოთ, როგორც ფაზური ტრაექტორიები სიბრტყეზე, რომლის ღერძებად არჩეულია: დადგენილი რეჟიმებიდან გადახრის კუთხე და შესაბამისი სრიალი. ეს ტრაექტორიები მიღებულია სამგანზომილებიანი სივრცის კვეთით, რომლის მესამე დერძად მიღებულია ინტეგრირების ბიჯის სიდიდე. ეს უკანასკნელი ასრულებს გარეშე პერიოდული ძალის და მმართველი პარამეტრის როლს.

n-გენერატორებისათვის კვლევის ობიექტი ჩაიწერება შემდეგი სახით:

$$\begin{aligned} I_i \frac{dS_i}{dt} = & -\sum_{\substack{j=1 \\ j \neq i}}^n E_i E_j Y_{ij} \cos(\delta_{*i} - \delta_{*j}) \cdot \sin(\Delta\delta_i - \Delta\delta_j) + \\ & + \sum_{\substack{j=1 \\ j \neq i}}^n E_i E_j Y_{ij} \sin(\delta_{*i} - \delta_{*j}) \times [1 - \cos(\Delta\delta_i - \Delta\delta_j)], \\ \frac{d\Delta\delta_i}{dt} = & S_i \end{aligned} \quad (3.3)$$

სადაც I – ელექტრული მანქანის ინერციის მუდვივაა; δ_* - მოცემულ რეჟიმში კვანძის სიდიდეა; $\Delta\delta$ - მოცემული მნიშვნელობებიდან

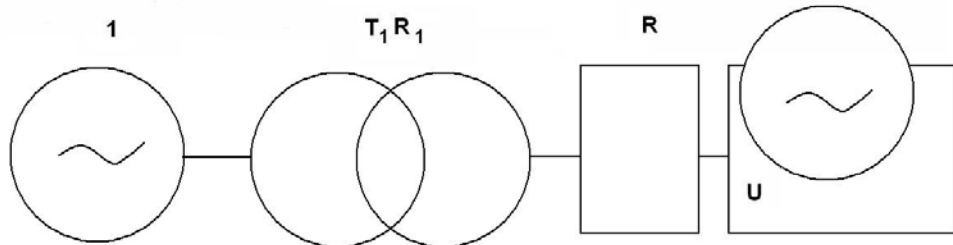
გადახრის კუთხის სიდიდეა; E – გენერატორების ემპ; Y – განშტოებების ურთიერთგამტარობა; S – სრიალი.

განვიხილოთ ერთგენერატორიანი – “გენერატორი-უსასრულო სიმძლავრის სალტე”, ორგენერატორიანი და სამგენერატორიანი სისტემები.

3.2 ქაოსი ერთგენერატორიან ენერგოსისტემაში

ერთგენერატორიანი სისტემებისათვის მოძრაობის განტოლებას სისტემაში „გენერატორი-უსასრულო სიმძლავრის სალტე” კონსერვატიული იდეალიზაციისათვის ექნება სახე (ნახ. 14):

$$I \frac{dS}{dt} = -EUY \cos \delta_* \sin \Delta\delta + EUY \sin \delta_* (1 - \cos \Delta\delta). \quad (3.4)$$



ნახ. 14 „გენერატორი-უსასრულო სიმძლავრის სალტე“ -ს ბლოკ-სქემა

მოცემული მოდელისათვის ლიაპუნოვის ფუნქციას ექნება სახე [34]:

$$V = \frac{1}{2} IS^2 + EUY \cos \delta_* (1 - \cos \Delta\delta) - EUY \sin \delta_* (1 - \cos \Delta\delta) \quad (3.5)$$

სისტემაში „გენერატორი-უსასრულო სიმძლავრის სალტე” შემოვიტანოთ აღნიშვნა:

$$EUY = A \quad (3.6)$$

შემფოთებაზე მიღებული შეზღუდვის გათვალისწინებით მივიღოთ, რომ $S=0$, საიდანაც, $V = A \cos \delta_* (1 - \cos \Delta\delta) - A \sin \delta_* (\Delta\delta - \cos \Delta\delta)$

ქაოსის შესასწავლად ერთგენერატორიან სისტემაში, გარდავქმნათ (3.4), მივიღებთ:

$$\frac{dS}{dt} = \frac{EUY}{I} (\sin \delta_* - \sin(\delta_* + \Delta\delta)). \quad (3.7)$$

(3.7)-ის ამონასნი განვიხილოთ გრაფიკული მეთოდებით, დროისა და ფაზური პარამეტრების დამოკიდებულებაში. ამ დროს უნდა

დადგინდეს მდგრადობის საზღვრები კუთხის მაჩვენებლით, რომელიც დგინდება ზღვრული ციკლებისა და ატრაქტორების ბიფურკაციის იერარქიით. (3.7) წარმოვადგინოთ შემდეგი სახით:

$$\frac{dS}{dt} = \frac{EUY}{I} (-\cos \delta_* \sin \Delta\delta + \sin \delta_* - \sin \delta_* \sin \Delta\delta) = \frac{EUY}{I} (\sin \delta_* - \sin(\delta_* + \Delta\delta));$$

$$\begin{aligned} \delta_* &= DD; \quad \Delta\delta = D; \quad \frac{EUY}{I} = K; \quad \Delta t = T; \\ \frac{S_{n+1} - S_n}{\Delta t} &= \frac{EUY}{I} (\sin \delta_* - \sin(\delta_* + \Delta\delta_n)); \quad (3.8) \\ S_{n+1} &= S_n + \Delta t \frac{EUY}{I} (\sin \delta_* - \sin(\delta_* + \Delta\delta_n)); \\ S_{n+1} &= S_n + TK \frac{EUY}{I} (\sin \delta_* - \sin(\delta_* + \Delta\delta_n)); \\ \frac{\Delta\delta_{n+1} + \Delta\delta_n}{\Delta t} &= S_{n+1}. \\ \Delta\delta_{n+1} &= \Delta\delta_n + TS_{n+1}; \\ S_{n+1} &= S_n + TK (\sin \delta_* - \sin(\delta_* + \Delta\delta_n)); \quad (3.9) \\ \Delta\delta_{n+1} &= \Delta\delta_n + TS_{n+1}. \end{aligned}$$

(3.9) განტოლება წარმოადგენს ალგორითმს, რომლის მიხედვითაც ავაგე ფაზური პორტრეტი ამოცანის დისკრეტიზაციით. პროგრამა უზრუნველყოფს ფაზური პორტრეტების აგგეს საწყისი პირობების ცვლილებისას. საწყისი პირობები პროგრამის ტანში იცვლებიან ციკლში (ნახ. 15). ფაზური პორტრეტებიდან ჩანს, რომ სისტემის მოძრაობის დისკრეტული ანალოგი იძენს სტოხასტურობის უბანს $T(b)$ დისკრეტიზაციის ნებისმიერ ბიჯზე. ამ დროს საწყისი განტოლება ზუსტად ინტეგრირდება. ეს ნიშნავს, რომ გადასვლა მოძრაობის დისკრეტულ განტოლებებზე (3.9), ექვივალენტურია გარე პერიოდული დალის დამატებისა, რომელიც განპირობებულია დისკრეტიზაციით.

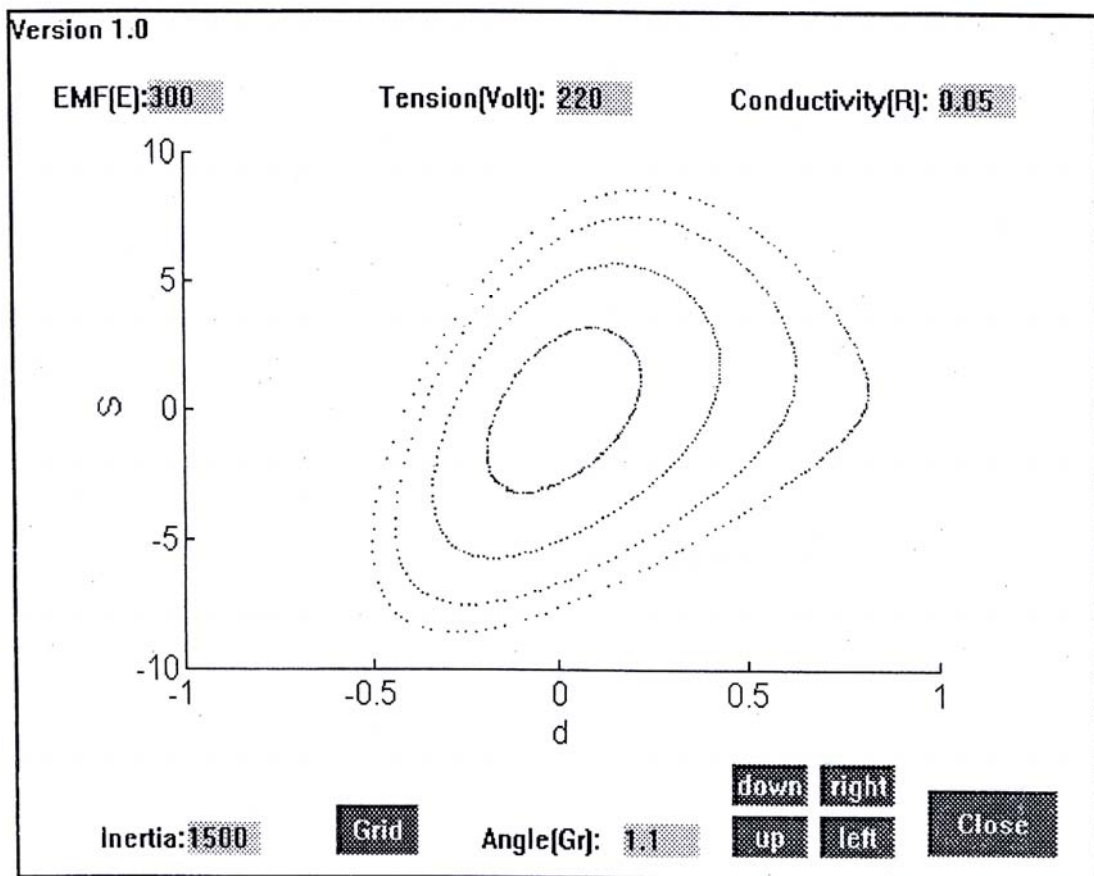
(ნახ. 15-18) ნაჩვენებია, თუ სად ჩნდება ქაოსი სისტემაში - „ერთი გენერატორი-უსასრულო ენერგიის სალტე“ სხვადასხვა პარამეტრების დროს.

აღწერილი დინამიკური სისტემის კონსერვატულობა აღნიშნავს, რომ წინასწარი იტერაციული ციკლი შუალედური მნიშვნელობების გამოსარიცხად, გარდამავალ რეჟიმში შეიძლება გამოიტოვოს.

ყოველი გამოთვლილი სისტემა წარმოადგენს თავის საკუთარ ატრაქტორს.

$$\frac{EUY}{I} \quad \text{პარამეტრის } \text{ნებისმიერი } \text{მნიშვნელობის } \text{ცვლილებების}$$

შედეგად სისტემას აქვს ბევრი ორბიტა და კონსერვატულობის თვისების თანახმად ნებისმიერი საწყისი მნიშვნელობების წყვილი S და Δδ იქნება წერტილის წარმომდგენი, რომელიც მდებარეობს ერთ-ერთ ორბიტაზე.



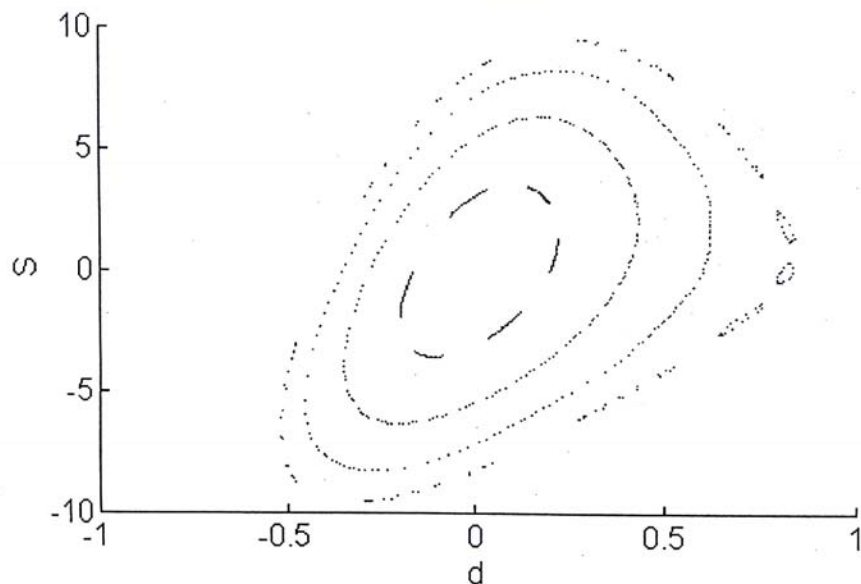
ნახ.15 ქაოსი სისტემაში - „ერთი გენერატორი-უსასრულო ენერგიის სალტე“ (პირველი ციკლი)

Version 1.0

EMF(E): 300

Tension(Volt): 264

Conductivity(R): 0.05



Inertia: 1500

Grid

Angle(Gr): 1.1

down right
up left

Close

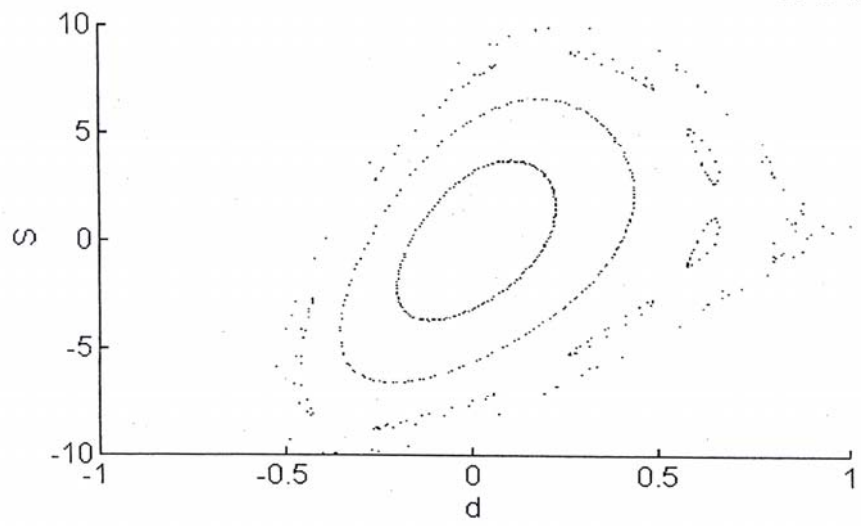
ნახ.16 ქაოსი სისტემაში - „ერთი გენერატორი-უსასრულო ენერგიის სალტე” (მეორე ციკლი)

Version 1.0

EMF(E): 300

Tension(Volt): 281

Conductivity(R): 0.05



Inertia: 1500

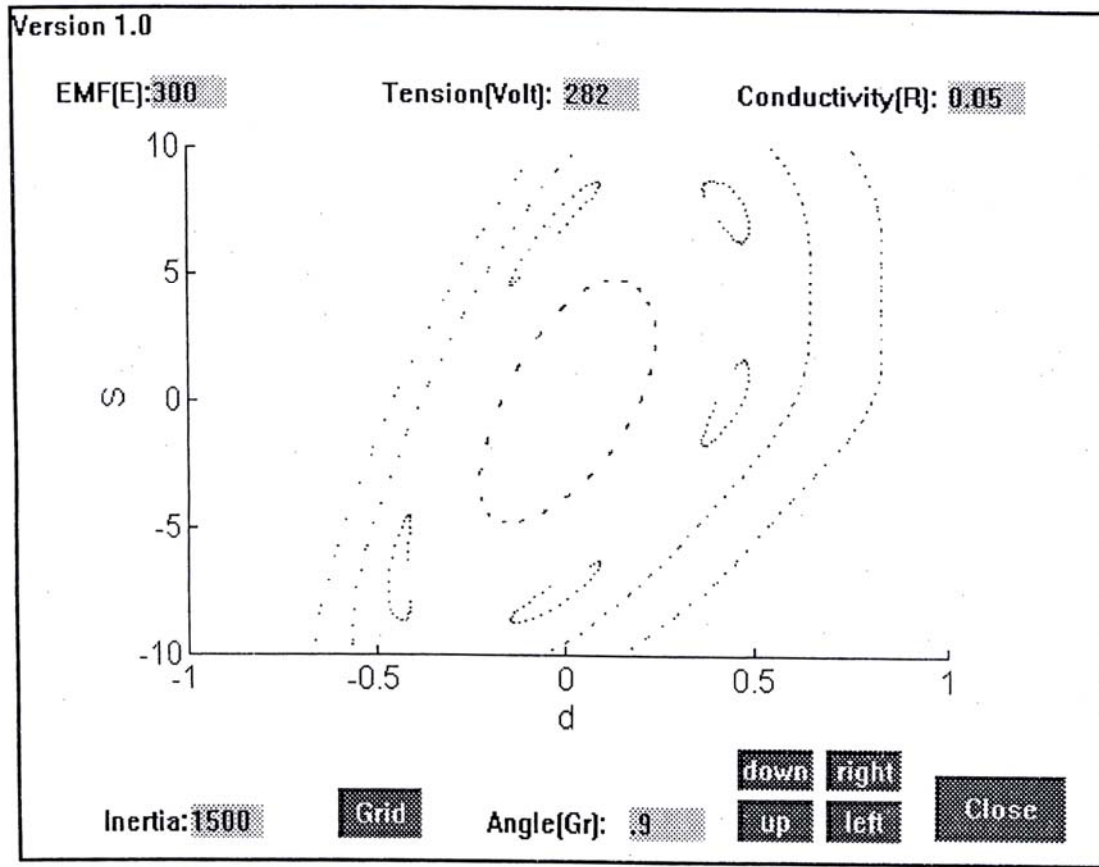
Grid

Angle(Gr): 1.1

down right
up left

Close

ნახ.17 ქაოსი სისტემაში - „ერთი გენერატორი-უსასრულო ენერგიის სალტე” (მესამე ციკლი)



ნახ.18 ქაოსი სისტემაში - „ერთი გენერატორი-უსასრულო ენერგიის სალტე“ (მეოთხე ციკლი)

აქედან გამომდინარე, მიზიდულობა იცვლება მყისიერად. პარამეტრების ყოველი ახალი მნიშვნელობა იძლევა ახალ სისტემას. ნახაზებზე ნაჩვენებია ორბიტების მიმდევრობა, რომელიც აგებულია (3.7) ასახვის განტოლებით, რომლებსაც აქვთ შემდეგი მნიშვნელობები:

$$d=0,5; \frac{EUY}{I}=1; d_*=0,5; T=0,8.$$

ცენტრიდან თანდათან დაშორებისას ჩანს, თუ როგორ ქმნიან ორბიტები ბუდებს ჩაკიტილი ტრაექტორიებით. შემდეგ უკცრად ჩნდებიან პატარა „კუნძულები“ – ცალკე ორბიტები, რომლებიც არიან დიდ ორბიტებს შორის. ცენტრიდან კიდევ უფრო დაშორებისას ვნახავთ თუ როგორ მონაცვლეობენ ასეთი ორბიტიანი უბნები.

3.3. ქაოსი ორგენერატორიან ენერგოსისტემაში

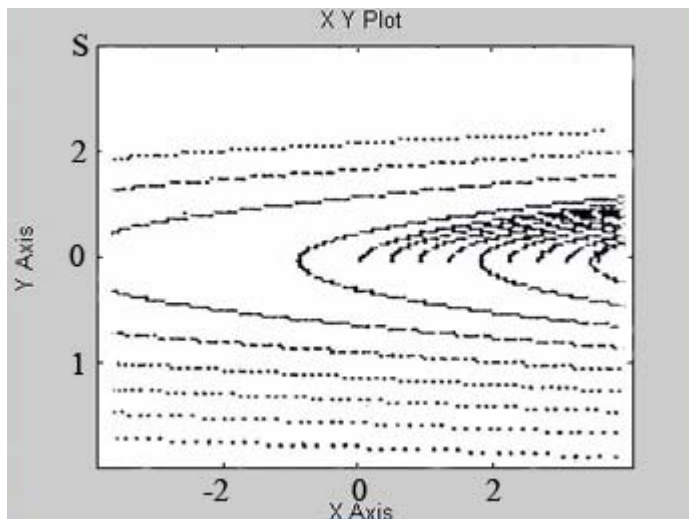
განვიხილოთ ორგენერატორიანი სისტემა ედანოვის მოდელის მაგალითზე. დიფერენციალურ განტოლებას ასეთი სისტემისათვის აქვს შემდეგი სახე:

$$\begin{aligned} J_1 \frac{d\omega_1}{dt} &= T_{T1} - \frac{1}{\omega_1} \frac{3}{2} \left[\frac{E_{q_1}^2}{Z_{11}} \sin \alpha_{11} + \frac{E_{q_1} E_{q_2}}{Z_{12}} \sin(\delta_{12} - \alpha_{12}) \right]; \\ J_2 \frac{d\omega_2}{dt} &= T_{T2} - \frac{1}{\omega_2} \frac{3}{2} \left[\frac{E_{q_2}^2}{Z_{22}} \sin \alpha_{22} + \frac{E_{q_1} E_{q_2}}{Z_{12}} \sin(\delta_{12} - \alpha_{12}) \right]; \\ \frac{d\delta_{12}}{dt} &= \omega_1 - \omega_2. \end{aligned} \quad (3.10)$$

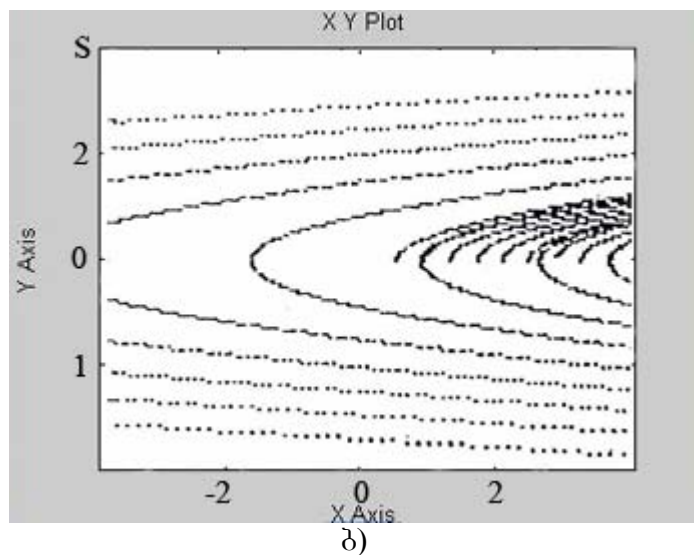
ამ მოდელის ალგორითმს ექნება შემდეგი სახე:

$$\begin{aligned} \omega_{1i+1} &= \omega_{1i} + \frac{T}{J_1} \left[T_{T1} - \frac{1}{\omega_{1i}} \frac{3}{2} \left[\frac{E_{q_1}^2}{Z_{11}} \sin \alpha_{11} + \frac{E_{q_1} E_{q_2}}{Z_{12}} \sin(\delta_{12i} - \alpha_{12}) \right] \right]; \\ \omega_{2i+1} &= \omega_{2i} + \frac{T}{J_2} \left[T_{T2} - \frac{1}{\omega_{2i}} \frac{3}{2} \left[\frac{E_{q_2}^2}{Z_{22}} \sin \alpha_{22} + \frac{E_{q_1} E_{q_2}}{Z_{12}} \sin(\delta_{21i} - \alpha_{21}) \right] \right]. \end{aligned} \quad (3.11)$$

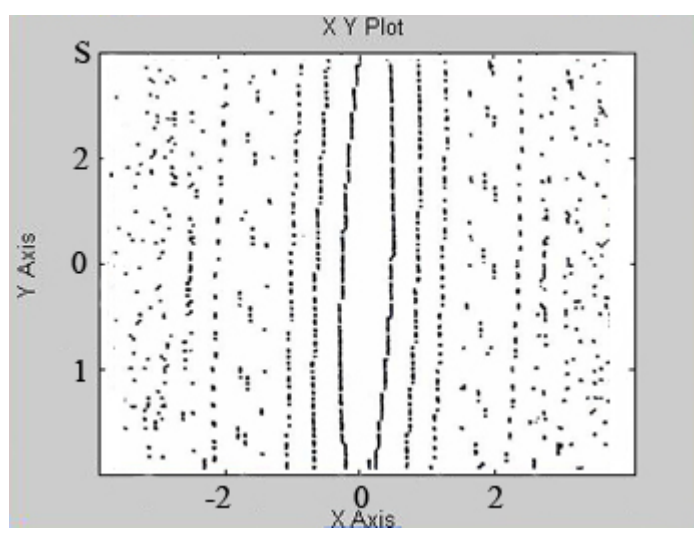
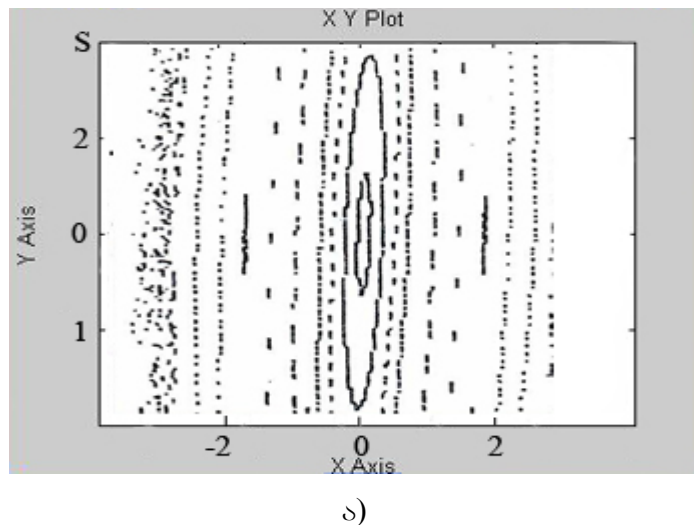
ეგმ-ის გამოყენებით მოვახდინოთ (3.11)-ის მოდელირება. ამ მოდელში ცვლადებად ავიდებთ ω , δ_{12} , δ_{21} . მოდელირების რეზულტატებიდან ჩანს, რომ ფაზური პორტრეტი (ნახ. 19) განსხვავდება ლიაპუნოვის მოდელისაგან.



5)



ნახ. 19 ორგენერატორიანი ენერგოსისტემის ქაოსის ფაზური
პორტრეტი



ნახ. 20 ორგენერატორიანი ენერგოსისტემის ქაოსური მოძრაობის
მოდერინების შედეგი პვანძებისა და ქსელისთვის

ორგენერატორიან სისტემას მიეკუთვნება აგრეთვე მოდელი, რომელიც იყენებს ერთსიხშირიან დენებს და ძაბვას მანქანის კვანძებსა და ქსელში.

დისკრეტულ - დიფერენციალურ განტოლებას ამ მოდელისათვის აქვს შემდეგი სახე:

$$T_{ji} \frac{d^2\delta_{ln}}{dt^2} = P_{T_i} - E_i^2 Y_{ij\Theta_k} \sin \alpha_{ij\Theta_k} - \sum_{j=1}^n E_i E_j Y_{ij\Theta_k} \sin(\delta_{ij} - \alpha_{ij\Theta_k}). \quad (3.12)$$

ამ განტოლებას ორი გენერატორისათვის ექნება სახე:

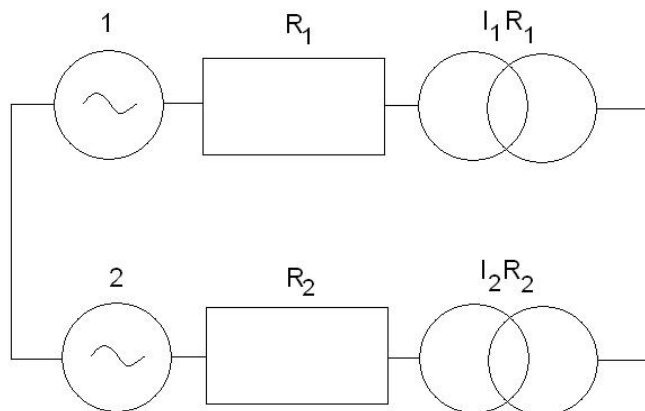
$$\begin{aligned} T_{j1} \frac{d^2\delta_{ln}}{dt^2} &= P_{T_1} - E_1^2 Y_{11\Theta_k} \sin \alpha_{11\Theta_k} - E_1 E_2 Y_{12\Theta_k} \sin(\delta_{12} - \alpha_{12\Theta_k}); \\ T_{j2} \frac{d^2\delta_{ln}}{dt^2} &= P_{T_2} - E_2^2 Y_{22\Theta_k} \sin \alpha_{22\Theta_k} - E_1 E_2 Y_{21\Theta_k} \sin(\delta_{21} - \alpha_{21\Theta_k}). \end{aligned} \quad (3.13)$$

ამ მოდელის მოდელირების შედეგი მოცემულია (ნახ. 20) –ზე

3.4. ქაოსი სამგენერატორიან ენერგოსისტემაში

სამგენერატორიან სისტემას აგრეთვე უწოდებენ „ორი გენერატორი-უსასრულო ენერგიის სალტეები” (ნახ. 21).

გარდამავალი პროცესები როგორ ელექტრომექანიკურ სისტემებში მნიშვნელოვნად განსხვავდებიან მოძრაობისაგან ერთგენერატორიან სისტემაში. ამიტომ ზემოთ მიღებული შედეგები შევამოწმოთ გართულებულ სამგენერატორიან სისტემაზე.



ნახ. 21 „ორი გენერატორი-უსასრულო ენერგიის სალტე“ –ის ძლოპ-სქემა

ეს სისტემა შემთხვევით არ აგვირჩევია. ენერგოსისტემების ანალიზის პრაქტიკაში ეს სისტემა იკავებს განსაკუთრებულ ადგილს. ბევრი მკვლევარი თავის იდეებს ცდის სწორედ ამ მოდელზე. ეს გამოწვეულია იმით, რომ სამმანქანიანი სისტემა შეიცავს ბევრ ისეთ თვისებას, რომელიც ახასიათებს რეალურ რთულ სისტემებს. ამიტომ კვლევები გენერატორების ნებისმიერი რაოდენობიანი სისტემებისთვის შეიძლება ჩატარდეს ამ სისტემაზე [34].

სამგენერატორიან სისტემაში მოძრაობის აღწერის დიფერენციალურ განტოდებას აქვს სახე [26]:

$$\begin{aligned} I_1 \frac{dS_1}{dt} &= -E_1 E_2 Y_{12} \cos(\delta_{*1} - \delta_{*2}) \sin(\Delta\delta_1 - \Delta\delta_2) - \\ &- E_1 U Y_{1U} \cos \delta_{*1} \sin \Delta\delta_1 + E_1 E_2 Y_{12} \sin(\delta_{*1} - \delta_{*2}) \times \\ &\times [1 - \cos(\Delta\delta_1 - \Delta\delta_2)] + E_1 U Y_{1U} \sin \delta_{*1} (1 - \cos \Delta\delta_1) - T_1 \frac{d\Delta\delta_1}{dt}; \\ I_2 \frac{dS_2}{dt} &= E_1 E_2 Y_{12} \cos(\delta_{*1} - \delta_{*2}) \sin(\Delta\delta_1 - \Delta\delta_2) - \\ &- E_2 U Y_{2U} \cos \delta_{*2} \sin \Delta\delta_2 - E_1 E_2 Y_{12} \sin(\delta_{*1} - \delta_{*2}) \times \\ &\times [1 - \cos(\Delta\delta_1 - \Delta\delta_2)] + E_1 U Y_2 \sin \delta_{*2} (1 - \cos \Delta\delta_2) - T_2 \frac{d\Delta\delta_2}{dt}; \\ \frac{d\Delta\delta_1}{dt} &= S_1 \quad \frac{d\Delta\delta_2}{dt} = S_2; \end{aligned} \tag{3.14}$$

(3.14)-ის შესაბამის ლიაპუნოვის ფუნქციას აქვს სახე [26]:

$$\begin{aligned} V &= E_1 U Y_{1U} [\cos \delta_{*1} (1 - \cos \Delta\delta_1) - \sin \delta_{*1} (\Delta\delta_1 - \sin \Delta\delta_1)] + \\ &+ E_2 U Y_{2U} [\cos \delta_{*2} (1 - \cos \Delta\delta_2) - \sin \delta_{*2} (\Delta\delta_2 - \sin \Delta\delta_2)] + \\ &+ E_1 E_2 Y_{12} [\cos(\delta_{*1} - \delta_{*2}) [1 - [\cos(\Delta\delta_1 - \Delta\delta_2)] - \sin(\delta_{*1} - \delta_{*2}) \times \\ &\times [\Delta\delta_1 - \Delta\delta_2 - \sin(\Delta\delta_1 - \Delta\delta_2)]]] \end{aligned} \tag{3.15}$$

სამგენერატორიან სისტემაში ქაოსის შესასწავლად ვისარგებლოთ (3.15) მოძრაობის განტოლებით. გარდავქმნათ ის შემდეგ სახეში:

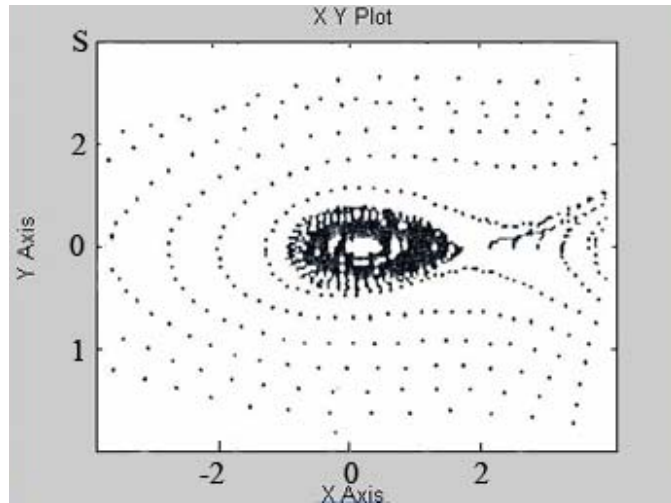
$$\begin{aligned} I_1 \frac{dS_1}{dt} &= E_1 E_2 Y_{12} \sin(\delta_{*1} - \delta_{*2}) - \sin(\delta_{*1} + \Delta\delta_1 - \delta_{*2} - \Delta\delta_2) + \\ &+ E_1 U Y_{1U} (\sin \delta_{*1} - \sin(\delta_{*1} - \Delta\delta_1)) - T_1 S_1; \\ I_2 \frac{dS_2}{dt} &= E_1 E_2 Y_{12} \sin(\delta_{*1} + \Delta\delta_1 - \delta_{*2} - \Delta\delta_2) - (\sin(\delta_{*1} - \delta_{*2})) + \\ &+ E_2 U Y_{2U} (\sin \delta_{*2} - \sin(\delta_{*2} + \Delta\delta_2)) - T_2 S_2; \\ \frac{d\Delta\delta_1}{dt} &= S_1, \quad \frac{d\Delta\delta_2}{dt} = S_2. \end{aligned}$$

უწყვეტი (3.16) განტოლებიდან გადავიდეთ დისკრეტულ ზე:

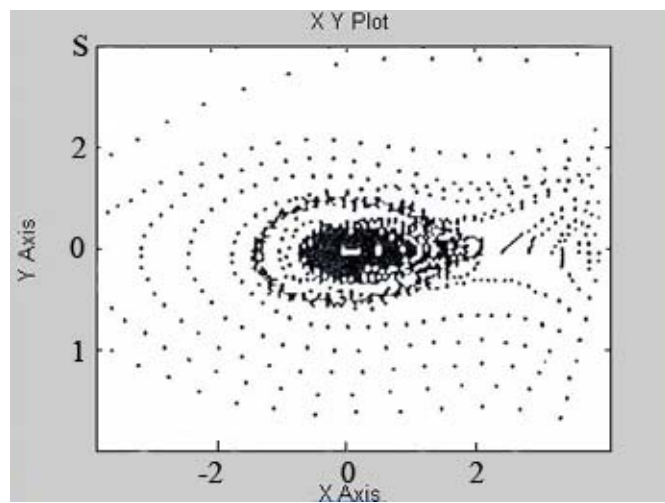
$$\begin{aligned}
 S_{1i+1} &= S_{11} + \frac{\Delta t}{I_1} [E_1 E_2 Y_{12} \sin(\delta_{*1} - \delta_{*2}) - \sin(\delta_{*1} + \Delta\delta_{12} - \delta_{*2} - \Delta\delta_{21})] + \\
 &\quad + E_1 U Y_{lU} (\sin \delta_{*1} - \sin(\delta_{*1} - \Delta\delta_{1i})) - T_1 S_{21}; \\
 S_{2i+1} &= S_{21} + \frac{\Delta t}{I_2} [E_1 E_2 Y_{12} \sin(\delta_{*1} + \Delta\delta_{12} - \delta_{*2} - \Delta\delta_{21}) - \sin(\delta_{*1} - \delta_{*2})] + \\
 &\quad + E_2 U Y_{2U} (\sin \delta_{*2} - \sin(\delta_{*2} + \Delta\delta_{21})) - T_2 S_{21}; \\
 \Delta\delta_{1i+1} &= \Delta\delta_{1i} + \Delta t S_{11}, \quad \Delta\delta_{2i+1} = \Delta\delta_{21} + \Delta t S_{21}. \tag{3.17}
 \end{aligned}$$

(3.17) განტოლებები წარმოადგენს ქაოსის შესწავლის ალგორითმს. ფაზური პორტრეტის აგების პროცესი იძლევა საშუალებას აიგოს ფაზური ტრაექტორიები საწყისი პირობების ცვლილებისას.

(ნახ. 22,23,24)-ზე მოცემულია ფაზური პორტრეტები, საიდანაც ჩანს, რომ სისტემის მოძრაობის (3.17) დისკრეტული ანალოგი იძენს სტოქასტურობის უბნებს დისკრეტიზაციის ნებისმიერ T ბიჯზე, ამ დროს (3.15) საწყისი განტოლება ზუსტად ინტეგრირდება. მოცემულ ნახაზზე ნაჩვენებია ოუ სად ჩნდება ქაოსი.

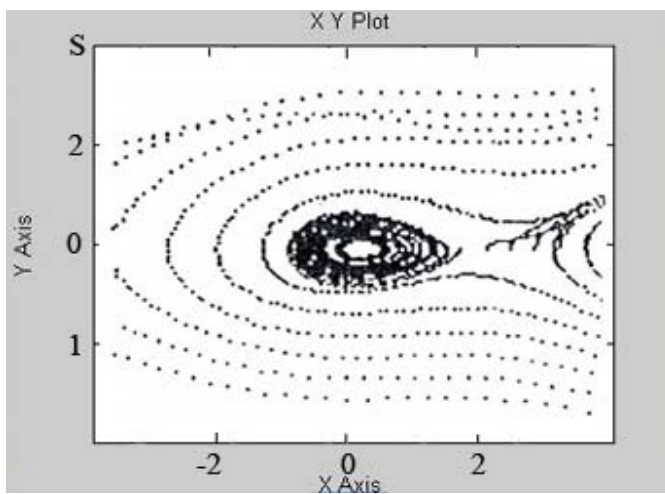


5)

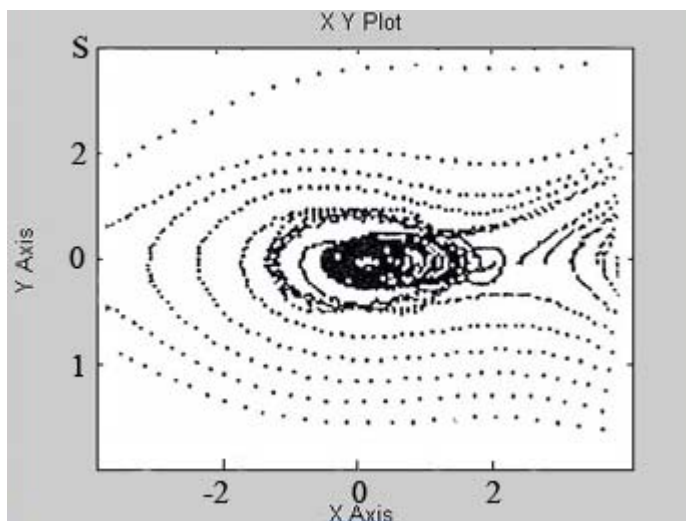


δ)

ნახ. 22 ფაზური პორტრეტი (პირველი ბიჯი)

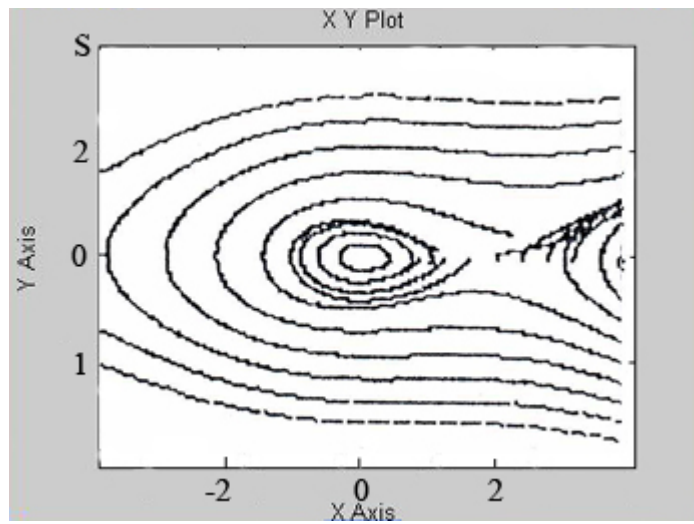


δ)

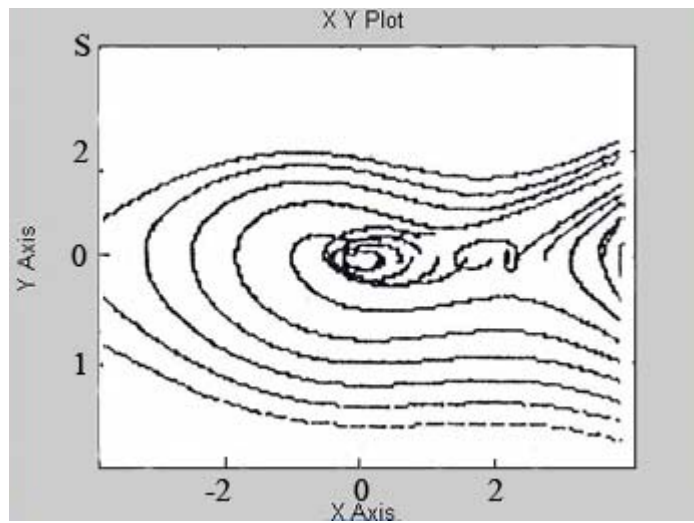


δ)

ნახ. 23 ფაზური პორტრეტი (მეორე ბიჯი)



δ)



δ)

ნახ. 24 ფაზური პორტრეტი (მესამე ბიჯი)

ამ ქვეთაგში, რხევების თეორიის საფუძველზე, გამოვიკვლიერდოს ქაოსის აღძვრა არაწრფივ სისტემებში.

განვიხილე ერთგენერატორიანი, ორგენერატორიანი და სამგენერატორიანი სისტემები. გადაიჭრა ენერგოსისტემებში ქაოსის წარმოშობის ამოცანა, მმართველი პარამეტრის ცვლილებაზე დამოკიდებულებებით.

ენერგოსისტემების მოდელებად წარმოვადგინეთ ჟდანოვის მოდელი, ლიაპუნოვის მოდელი და მოდელი, რომელიც იყენებს ერთტაქტა დენებს და დაძაბულობას გენერატორების კვანძებსა და ქსელში.

ენერგოსისტემების მოდელების დაყვანა ალგორითმზე მოვახდინე ლიაპუნოვის ფუნქციის საშუალებით. ერთგენერატორიან, ორგენერატორიან და სამგენერატორიან სისტემებში ქაოსის წარმოშობა და განვითარება მოდელირებული მაქვს პერსონალურ კომპიუტერზე.

კვლევის შედეგებმა აჩვენა, რომ ქაოსი წარმოიშობა ინტეგრირების ბიჯის ცვლილებისას, როცა უწყვეტი სისტემები გადადიან დისკრეტულ სისტემებში და ამოცანის გადასაჭრელად გამოყენებული მაქვს დროითი დისკრეტიზაცია.

3.5. დინამიკური ქაოსის კრიტერიუმები ენერგოსისტემაში და ლიაპუნოვის მახასიათებელი

დინამიკური ქაოსის კრიტერიუმებად მიღებულია:

- 1) ლიაპუნოვის მაჩვენებლები ანუ მახასიათებლები;
- 2) კორელაციური ფუნქციის თვისებები;
- 3) სპექტრალური სიმკვრივის თვისებები;
- 4) პუანკარეს გარდასახვები;
- 5) ფრაქტალური განზომილებანი.

მათ შორის ყველაზე ხშირად ქაოსის კრიტერიუმებად გამოიყენებიან ლიაპუნოვის მაჩვენებლები და ფრაქტალური განზომილებანი. ზოგადად ლიაპუნოვის დადებითი მაჩვენებელი მიგვითოვს ქაოსურ დინამიკაზე, ასევე ფაზურ სივრცეში ორბიტის ფრაქტალური სტრუქტურა მიგვანიშნებს უცნაური ატრაქტორების არსებობაზე. უცნაური ატრაქტორების თითქმის ყველა ფიზიკური მაგალითი აღმოჩნდა ქაოსური, ე.ი. უცნაური ატრაქტორი ქაოსის კრიტერიუმია.

ჩემი ამოცანაა, განვიხილო ლიაპუნოვის მაჩვენებლები, როგორც ენერგოსისტემებში დინამიკური ქაოსის ჩასახვისა და განვითარების კრიტერიუმი.

მგრძნობიარობა მცირე ფლუქტუაციებისადმი, ანუ საწყის პირობებში არსებული რადაც განუზღვრელობა, არის გადამწყვეტი დინამიკური სისტემის დასახასიათებლად. ამ დროს საწყისი განუზღვრელობა არის ექსპონენციალურად შზარდი დროის მიხედვით

მანამ, სანამ სისტემის შემდეგი მდგომარეობა არ გახდება განუზღვრელი. ინფორმაცია საწყისი მდგომარეობის შესახებ იკარგება სასრული დროის შემდეგ. სწორედ ამ დროის გაგლის შემდეგ სისტემის მდგომარეობის წინასწარმეტყველება შეუძლებელი ხდება. საწყისი პირობებისადმი მგრძნობიარობა წარმოადგენს ქაოსის ერთ-ერთ ძირითად მახასიათებელს.

პარამეტრი, რითაც შეიძლება ვიმსჯელოთ საშუალო ლოკალურ მდგრადობაზე ან სიჩქარეზე, რომლითაც ჩნდება ახალი ინფორმაცია ნაკადის საშუალებით ან პირიქით, გვაძლევს ინფორმაციას საწყის პირობებზე და წარმოადგენს ლიაპუნოვის მახასიათებელს - λ-ს. იგი არ არის ხარისხობრივი ხასიათის, რომელსაც დამკვირვებლის დიდი გამოცდილება სჭირდება, არამედ ის არის რაოდენობრივი მახასიათებელი და მისი გამოყენება დიდი წარმატებით შეიძლება.

ლიაპუნოვის მახასიათებლის გამოყენება შეიძლება როგორც დისიპატიურ, ასევე არადისიპატიურ (კონსერვატიულ) სისტემებში, ფრაქტალური განზომილებანი კი მხოლოდ დისიპატიურში გამოიყენება.

ლიაპუნოვის მახასიათებლის საშუალებით მოწმდება სისტემის მგრძნობიარობა საწყისი მონაცემების ვარიაციის დროს. იდეა მდგომარეობს შემდეგში: წარმოსახვით ფაზურ სივრცეში გამოიყოს მცირე სფერო, რომელშიც თავმოყრილი იქნება ტრაექტორიის საწყისი წერტილები და ყურადღება მივაქციოთ, თუ როგორ მოხდება მისი დეფორმაცია ელიფსოიდში სისტემის დინამიკური ევოლუციის პროცესში. თუ d არის ელიფსოიდის მაქსიმალური ზომა, d₀-საწყისი პირობების სფეროს საწყისი ზომაა, მაშინ ლიაპუნოვის მახასიათებელი λ გამოითვლება ფორმულიდან:

$$d = d_0 2^{\lambda(t-t_0)}. \quad (3.18)$$

ამასთან, ერთჯერადი გაზომვები არასაკმარისია, ამიტომ გაზომვების შედეგი უნდა ავირჩიოთ ფაზური სივრცის სხვადასხვა მონაკვეთზე და შემდეგ გავასაშუალოთ:

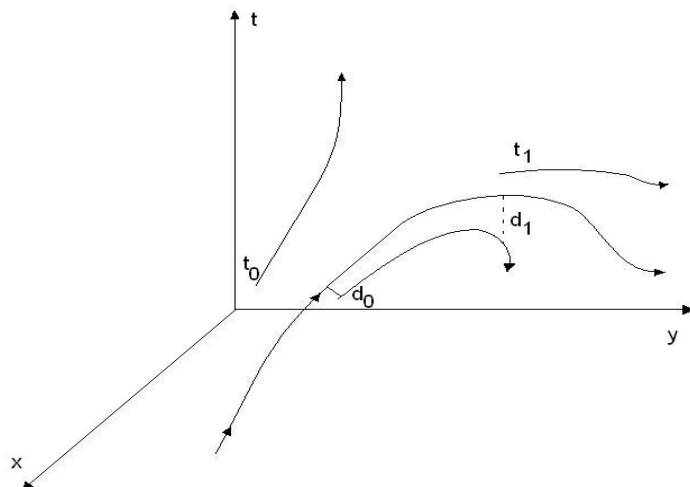
$$\lambda = \lim_{N \rightarrow \infty} \frac{1}{N} \sum_{i=1}^N \frac{1}{(t_i - t_{0i})} \log_2 \frac{d_i}{d_{0i}}. \quad (3.19)$$

(3.19)-დან ერთჯერადი გაზომვებით მივიღებთ:

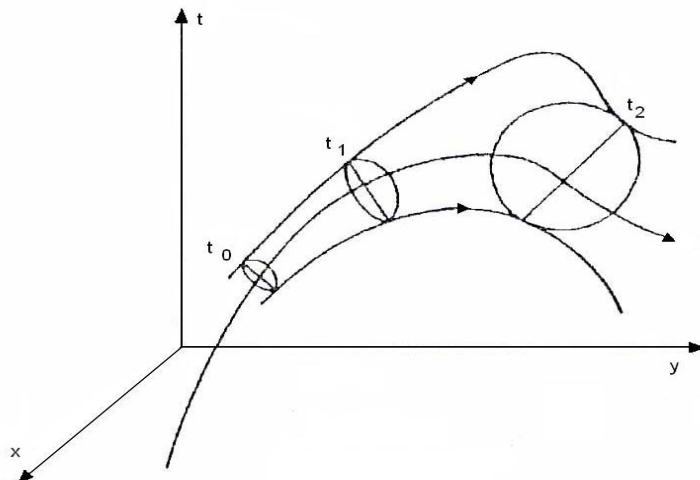
$$\lambda = \log_2 \frac{d}{d_0} \frac{1}{(t - t_0)} . \quad (3.20)$$

თუ სისტემა აღიწერება სხვაობითი განტოლებებით და ასახვით – $d_n = d_0 2^{\Delta L}$, მაშინ უნდა აღინიშნოს, რომ ალგორითმის მაჩვენებელი შეიძლება ავირჩიოთ ნებისმიერად.

ქაოსური ტრაექტორიების ექსპონენციალური განშლადობა ანდა იყოს ლოკალური. თუ სისტემა შეზღუდულია, (უმეტესად კი ასეა), მაშინ $d(T)$ უსასრულოდ ვერ გაიზრდება. ამიტომ, იმისათვის, რომ ავირჩიოთ ტრაექტორიების განშლადობის ზომა, უნდა მოგახდინოთ ექსპონენციალური ზრდის გასაშუალება ტრაექტორიის გასწვრივ ყველა წერტილზე (ნახ. 25 და 26) [34].



ა)



ბ)

ნახ. 25 ქაოსური ტრაექტორიის ექსპონენციალური განშლადობა

ლიაპუნოვის მახასიათებლის გამოთვლა იწყება საყრდენი ტრაექტორიის არჩევით (ნახ. 25), მეზობელ ტრაექტორიაზე წერტილის არჩევით და $d(t)/d_0$ სიდიდის გამოთვლით. როცა $d(t)$ მანძილი იზრდება ძალიან, უნდა მოვძებნოთ სხვა ტრაექტორია და ვიანგარიშოთ ახალი საწყისი $d_0(t)$ მანძილი.

ლიაპუნოვის მახასიათებელი შეიძლება ასეც ჩაიწეროს:

$$\lambda = \frac{1}{t_N - t_0} \sum_{K=1}^N \log_2 \frac{d(t_K)}{d_0 - (t_{K-1})}. \quad (3.21)$$

საბოლოოდ დავადგინეთ, რომ ლიაპუნოვის მახასიათებელი არის სისტემის ახლო ტრაექტორიების გაშლის სიჩქარის ზომა.

$F(x)$ – ფუნქციით მოცემული ასახვისას, ერთი იტერაციის დროს სისტემის შესახებ ინფორმაციის ცვლილება dF/dx წარმოებულით წარმოგვიდგება ფორმულით:

$$I = \log_2 \left| \frac{dF}{dx} \right|. \quad (3.22)$$

თუ $|dF/dx| < 1$, მაშინ მოცემულ წერტილში გარდასახვა მოქმედებს, როგორც ინფორმაციის მიმღები. თუ $|dF/dx| > 1$ – როგორც ინფორმაციის წყარო.

თუ $P(x)$ მოცემული საწყისი პარამეტრის დროს ტრაექტორიების ალბათობების ასიმპტოტური განაწილებაა, მაშინ $\langle I \rangle$ ინფორმაციის რაოდენობის საშუალო ცვლილებაა ლიაპუნოვის მახასიათებლის მაჩვენებელი მმართველი პარამეტრის მოცემული მნიშვნელობისას:

$$\langle I \rangle = \lambda(a) = \int_0^1 P(x) \log_2 \left| \frac{dF}{dx} \right| dx; \quad (3.23)$$

თუ ატრაქტორის შიგნით ტრაექტორიის ქცევა ერგოდიკულია, მაშინ არსებობს ლიაპუნოვის მახასიათებლის ალტერნატიული ფორმა:

$$\lambda(a) = \lim_{N \rightarrow \infty} \frac{1}{N} \sum_{i=1}^N \log_2 \left| \frac{dF(x, a)}{dx} \right| (dx) X_i, \quad (3.24)$$

სადაც N იტერაციების რიცხვია, რომელსაც ტრაექტორია განიცდის გარდასახვისას.

მაშასადამე, ლიაპუნოვის მახასიათებლის ზემოთ მოყვანილი განსაზღვრების თანახმად ჩანს, რომ როდესაც $\lambda(a) < 0$, ტრაექტორია

მდგრადი და არაპერიოდულია. გვაქვს რეგულარული მოძრაობა და ქაოსს ადგილი არა აქვს. (იტერაციული პროცესი მოქმედებს როგორც სისტემის შესახებ ინფორმაციის შემკრები).

$\lambda(a) = 0$ ტრაექტორია ნეიტრალურად მდგრადია, ე.ო. ინფორმაცია არც იკრიბება და არც იხარჯება (ამ დროს ხდება პერიოდის გაორმაგების „შეხებითი“ ბიფურკაციები ანუ ტრაექტორიამ უნდა გაიაროს ნეიტრალურ მდგრად ატრაქტორზე).

როცა $\lambda(a) > 0$ ტრაექტორია ლოკალურად არამდგრადია და სისტემა ქაოსურია (იტერაციული პროცესი მოქმედებს, როგორც ინფორმაციის წყარო).

ერთგანზომილებიან სისტემაში, რომელშიც ატრაქტორები შეიძლება იყოს მდგრადი განსაკუთრებული წერტილები, არსებობს მხოლოდ ერთი ლიაპუნოვის მახასიათებელი (-).

ორგანზომილებიანი შეიძლება იყოს ორი სახის ატრაქტორი: ესაა მდგრადი სახის სტაციონალური წერტილები და ზღვრული ციკლები. თუ ორივე მახასიათებელი უარყოფითია ($\lambda_1 < 0$, $\lambda_2 < 0$), ე.ო. (-,-), მაშინ ცხდია, რომ ასეთი სისტემა მდგრადია. თუ $(\lambda_1, \lambda_2) = (-, 0)$, მაშინ ატრაქტორი არის ზღვრულ ციკლი.

სამგანზომილებიან სივრცეში სტაციონარულ მდგომარეობას აქვს ლიაპუნოვის სამი მახასიათებელი და სამივე უარყოფითი (-,-,-).

ზღვრულ ციკლსაც სამი მახასიათებელი, მათგან ორი – უარყოფითი და ერთი (ნაკადის გასწვრივ) ნულია ანუ (-,-,0).

„უცნაური“ ატრაქტორიც სამმაჩვენებელიანია (+,0,-), ანუ ერთი დადებითი λ_+ მაჩვენებელი, ერთი ნულოვანი λ_0 ლიაპუნოვის მაჩვენებლით და ერთი უარყოფითი λ_- , ე.ო. „უცნაური“ ატრაქტორი ერთი მიმართულებით ქმნის სისტემის შესახებ ინფორმაციას, მეორე მიმართულებით – კუმშავს. ნაკადის მიმართულებით – კი ლ.მ. ნულის ტოლია.

(+,0,-) წარმოადგენს სიგნატურას, რაც ნიშნავს თუ როგორი ნამდვილი ნაწილი აქვს ლიაპუნოვის მახასიათებელს: დადებითი, ნულოვანი თუ უარყოფითი.

სამგანზომილებიანი სევრცისათვის (ინვარიანტული ტორი) საბოლოოდ 4 შემთხვევა ასე ჩამოყალიბდება.

$(\lambda_1, \lambda_2, \lambda_3) = (-, -, -)$ – სტაციონალური მდგომარეობა (მდგრადი ფოკუსი ან კვანძი);

$(\lambda_1, \lambda_2, \lambda_3) = (-, -, 0)$ – მდგრადობის ზღვრული ციკლი;

$(\lambda_1, \lambda_2, \lambda_3) = (-, 0, 0)$ – მდგრადი ტორი;

$(\lambda_1, \lambda_2, \lambda_3) = (-, 0, +)$ – „უცნაური” ატრაქტორი.

უნდა აღინიშნოს, რომ როცა $\lambda > 0$, ე.ი. არის ქაოსი, მეზობელი ტრაექტორიები განიშლებიან, როცა $\lambda < 0$, ე.ი. არ არის ქაოსი – ისინი იკვრებიან.

4. სინქრონიზაციის ენერგოსისტემები

4.1 სინქრონიზაციის პრობლემები

მართვადი სინქრონიზაციის პრობლემები იმაში მდგომარეობს, რომ ორ ან მეტ (ხშირად პერიოდულ) $y_j(t)$ დინამიკურ პროცესს უნდა ჰქონდეს ერთნაირი განვითარების სტრუქტურა. კონტროლირებადი სისტემის სხვადასხვა ნაწილების ქცევის მსგავსების საჭირო დამთხვევა ანალიტიკურად გამოხატულია სინქრონიზაციის პირობებით, რომლებიც შეიძლება მოცემული იყოს ცხადი ან დიფერენციალური საჭირო – $y_{dj}(t)$ პერიოდული ამონასსნების აღწერით, $y_1 = y_2 = \dots = y_m$ პროცესის განვითარების იდენტურობით ან უფრო ზოგადი წრფივი და არაწრფივი პოლონომიური $\varphi(y_1, y_2, \dots, y_m) = 0$ კაგშირებით, ასევე პერიოდული ორბიტების ანალიტიკური აღწერით, რომლებიც მიჩნეულია არატრევიალური სისტემის ატრაქტორებად [34,35,36,37,38,39,40].

მართვადი სისტემის მოდელზე დაყრდნობით იყო შემოთავაზებული სხვადასხვა მიღებები. სინქრონული რხევების ანალიზისათვის. ისინი შეიცავენ ლიაპუნოვის სტაბილიზაციის კლასიკურ მეთოდებს, გადამკვეთო უკუკავშირების სინქრონიზირების კონცეფციას, წრფივი და არაწრფივი მეთოდების შეთანხმებულ კონტროლს, ორბიტების და ატრაქტორების სტაბილიზაციას [41,42,43,44].

სინქრონზაციას, ორბიტალური მოძრაობის მომზადების საშუალებით, გააჩნია გამოკვეთილად გეომეტრიული ხასიათი. ეს დაკავშირებულია მექანიკის ძირითად პრობლემებთან. მატერიალური წერტილის მოძრაობა გლუვ მრუდებზე (ნიუტონის, ბერტრანდის და სუსლოვის კლასიკური პრობლემები) ასევე თანამედროვე მიმართულება არაწრფივ მართვაში [45,46,47].

აქ ჩვენ ვიხილავთ ლაგრანჯის სისტემის ოსცილატური ქცევის ანალიზს, სინქრონიზაციის მთავარი პრობლემა წარმოდგენილია სისტემის გამოსავალის ცვლადების პოლონომიალური დამიკიდებულებით.

შესაფერისი დიაგრამების კოორდინატების გამოყენება ყველაზე მეტად შეთავსებადია სინქრონიზაციის სისტემის მტკიცებასთან. მოძრავი ჩარჩოს თვისებები, რომლებიც დაკავშირებულია ატრაქტორთან, ისევე, როგორც ნაწილობრივი წრფივი სისტემის მოდელის აპროქსიმაცია ორბიტასთან ახლოს, საშუალებას გვაძლევს გამოვავლინოთ პრობლემის მთავარი გეომეტრიული და დინამიკური სპეციფიკური თვისებები და შემოვთავაზოთ არაწრფივი მართვის შესაფერისი კანონები.

ჩვენ შევისწავლეთ განსაკუთრებული შემთხვევები, დაკავშირებული ორკავშირიანი ლაგრანჯის სისტემის ორგანზომილებიან რხევებთან და შეგვები წარმოდგენილია მიღვომის თვისებების გამოსავლენად.

ჩვენ ვიხილავთ სისტემას, დაკავშურებულს ლია სივრცეში, რომელიც აღწერილია ლაგრანჯის განტოლებით [40,48,49,50]:

$$A(y)\dot{y} + b(y, \dot{y}) = u \quad (4.1)$$

სადაც $u = \{u_j\}$, $y = \{y_j\}$ – მართვის (შესავალი) და გამოსავალის ცვლადების m -განზომილებიანი გექტორებია, $A = \{a_{jk}\}$ ინვერტირებადი მატრიცაა და a_{jk}, b_j ფუნქციები გლუვია. (4.1) მოდელი შეიძლება წარმოდგენილი იქნას, როგორც $m = 1$ – არაწრფივი ინტერაქტიული SISO ქვესისტემების ერთობლიობა.

სინქრონიზაციის მარტივი პრობლემაა, განვსაზღვროთ (4.1) სისტემის გაშუალებული მოძრაობის ცვლადები:

$$\bar{y} = \frac{1}{m} \sum y_j \quad (4.2)$$

და მოვიყვანოთ $m=1$ სინქრონიზაციის პირობები:

$$y_1 = y_2 = \dots = y_m \quad (4.3)$$

სისტემური რხევების მოდელი მოცემულია გაშუალებული მოძრაობის მოდელის საშუალებით:

$$\ddot{\bar{y}} + 2\xi\omega\dot{\bar{y}} + \omega^2\bar{y} = 0 \quad (4.4)$$

სადაც ω – რხევების სიხშირეა და ξ დემფირების დამოკიდებულებაა - $1 < \xi < 1$. მაშინ, (4.3)-ის გათვალისწინებით $y_j = \bar{y}(t)$ და სისტემის ყველა ცვლადი კითარდება (4.4) განტოლების პერიოდული ამოხსნის შესაბამისად.

რომ განვსაზღვროთ სინქრონული რეჟიმისაგან გადახრა, ჩვენ ვიხილავთ შეცდომებს:

$$\varepsilon_j = y_j - y_{j-1} \quad (4.5)$$

რომლებიც უნდა შევამციროთ სისტემური სინქრონიზაციის პროცესში. მაშინ სინქრონიზაციის მარტივი პრობლემა შემდგენაირად ჩამოყალიბდება:

უნდა მოიძებნოს ისეთი მართვა $u = U(y)$, რომ ყოველი $y \in Y$ -თვის უზრუნველყოფილ იქნას სინქრონიზაციის პირობების მხარდაჭერა (ან შეცდომების ასიმპტოტური განულება) და მოცემული გაშუალებული რხევები $\bar{y}(t)$ (4.4) განტოლებიდან.

მივაქციოთ ყურადღება იმას, რომ $m-1$ (4.3) განტოლებები განისაზღვრება R^m ერთგანზომილებიან ქვესივრცეში S (წრფე) აღჭურვილი \bar{y} შიდა კოორდინატით. პრობლემა იღებს აშკარა გეომეტრიულ ფორმას, დაკავშირებულს ინგარიანტულობის და ატრაქტივობის არატრიგიალური სივრცული ობიექტების კონცეფციასთან.

სინქრონიზაციის განზოგადებულ პრობლემებში შეიძლება ვიგულისხმოთ ის, რომ შეგვიძლია განვსაზღვროთ სინქრონული რხევების (1-სიხშირით) საერთო რეჟიმის უფრო მეტი რაოდენობა y_j ცვლადების წრფივი დამოკიდებულების ამორჩევით, რომლებიც იქნებიან ექვივალენტური ცალკეული რხევების ამპლიტუდების რანჟირებისა.

\bar{y} გაშუალებული მოძრაობის არაწრფივი დამოკიდებულება და უფრო რთული განსაზღვრა საშუალებას მოგვცემს, განვსაზღვროთ მოთხოვნები არაწრფივი რხევების თავისუფალი ფორმებისადმი.

Y დია სიმრავლეში (4.1) სისტემის მოძრაობის განხილვისას ჩვენ განვსაზღვრავთ გაშუალებული მოძრაობის ცვლადს [51,52]:

$$\bar{y} = \bar{\varphi}(y) \quad (4.6)$$

და ჩავწეროთ $m-1$ სინქრონიზაციის პირობები ვებტორულ ფორმაში:

$$\varphi_\varepsilon(y) = 0 \quad (4.7)$$

სადაც $\bar{\varphi}$ და φ_j , $j \in [1, m-1]$ – მუდმივი გლუვი ფუნქციებია. ბოლო განტოლება შემოხავას გლუვ რკალს $S \subset R^m$, პარამეტრული

$\bar{y} \in \bar{Y} \subset R^l$ ცვლადებით, სადაც \bar{Y} უნდა იყოს დაკავშირებული დია სიმრავლესთან. შეცდომების ვექტორი $\varepsilon = \{\varepsilon_j\} (j \in [1, m-1])$ მიიღებს შემდეგ სახეს:

$$\varepsilon = \varphi_\varepsilon(y) \quad (4.8)$$

(4.8) დაკავშირებულია სისიტემის განივ მოძრაობასთან.

ახლა ჩვენ შეგვიძლია განვიხილოთ $col(\bar{y}, \varepsilon_1, \dots, \varepsilon_{m-1})$ ვექტორი, როგორც (4.1) სისტემის ახალი გამოსავალი ვექტორი. შესაფერის კოორდინატულ გარდაქმნას, წარმოდგენილს (4.6), (4.8) განტოლებებით, გააჩნია იაკობის მატრიცა:

$$\Phi = \begin{vmatrix} \overline{\Phi} \\ \Phi_\varepsilon \end{vmatrix} = \begin{vmatrix} \partial \overline{\varphi} / \partial y \\ \partial \varphi_\varepsilon / \partial y \end{vmatrix}$$

დაშვება 1. ნებისმიერი $y \in S$ -სათვის, როცა $\bar{y} \in \bar{Y}$, Φ მატრიცა ინვერტირებადია და მეტიც $|\det \Phi| > \delta > 0$. აქედან გამომდინერებს, რომ გახსნილი მრუდი S ერთგანზომილებიანი გლუვი კოლუქტორია, $\bar{y} \in Y$ ლოკალური კოორდინატით მრუდის გარშემო, ე.ი მისი მეზობლობით:

$$Y_\varepsilon = \{y : dist(y, S) < \varepsilon_0 \bar{y} \in \bar{Y}\}$$

სადაც $\varepsilon_0 > 0$ მცირე რიცხვია. იქ არსებობს $y = y(\bar{y}, \varepsilon)$ ინვერსიის გლუვი ასახვა და სათანადო იაკობის მატრიცა:

$$J = \Phi^{-1} = \begin{vmatrix} \overline{J} \\ J_\varepsilon \end{vmatrix}.$$

მაშინ მართვადი სინქრონიზაციის საერთო პრობლემა შემდეგნაირად ქდერს:

პრობლემა 1. ვიპოვოთ ისეთი მართვა $u = U(y)$, რომ ნებისმიერი $y = Y_\varepsilon$ -სათვის უზრუნველყოფილ იქნას (4.7) პირობის სინქრონიზაცია (ან $\varepsilon = 0$ ამონასსნის ასიმპტოტური სტაბილურობა) და მოცემული გაშუალებული რხევები $\bar{y}(t) \in \bar{Y}$, გათვალისწინებული (4.4)-ში.

ორბიტალური სინქრონიზაციის პრობლემები მდგომარეობს შემდეგში: სინქრონული პროცესების ფართო კლასი შეესაბამება მოძრაობას პერიოდულ ორბიტებზე. განვიხილოთ გლუვი რკალი $Y \in R^m$ დია დაკავშირებულ სივრცეში, როგორც ერთცვლადიანი კოლუქტორი:

$$S : \phi_\varepsilon(y) = 0 \quad (4.9)$$

რომელიც აღჭურვილია $\{S^i, \varphi_\varepsilon^i\}, i=1,2,\dots$, საერთო დიაგრამებით, სადაც $\varphi_\varepsilon, \varphi_{\varepsilon j}$, - გლუკი რეგულარული ფუნქციებია და $\cup S^i = S$. რომ წარმოვადგინოთ S , როგორც შეკრული ორბიტა, ჩვენ გირჩევთ $\varphi_\varepsilon^j = \varphi_\varepsilon^0 + (i-1)s^0$, სადაც φ_ε^0 - გლუკია, s^0 - ორბიტის პერიოდია, მაშინ შეგვიძლია განვსაზღვროთ კოლექტორის დიაგრამის ადგილობრივი კოორდინატები $s^i \in S^{*i} \subset R^1$, სადაც $\cup S^{*i} = S^*$ - ლიან სივრცეა, დაკავშირებული შემდეგი განტოლებით:

$$s^i = \varphi_\varepsilon^i = \varphi_\varepsilon^0 + (i-1)s^0 \quad (4.10)$$

S რკალის მიმართ სისტემის ქცევის გაანალიზებით, ჩვენ გავარჩევთ გასწვრივ მოძრაობას, რომელუც აღწერილია $s(t) = s^i(t)$ ცვლადებით და მკვეთი მოძრაობით, რომელიც დაკავშირებულია (4.8) განტოლებით განსაზღვრულ $\varepsilon(t)$ შეცდომის ვექტორთან. (4.9) პირობა და $\varepsilon(t) = 0$ იდენტურობა აყენებენ პირობებს $y_j(t)$ ცალკეული პერიოდული ამონასსნების კოორდინირებისათვის და შეესაბამებიან $y(t)$ სისტემურ ტრაექტორიებს, რომლებიც მთლიანად განლაგებულია S რკალზე. ასეთი სისტემური განვითარების სტაბილიზაცია წარმოადგენს გათვალისწინებულ მართვის მთავარ ამოცანას პროპორციული ან ცვლადი კურსით მოძრაობა რკალზე, რომელიც ხასიათდება s ცვლადით, ადგენს პროცესების დროის მასშტაბს. ეს შეიძლება გათვალისწინებული იყოს შესაბამისად $\dot{s} = const$, ან $\dot{s} = v_d(t)$ პირობებით.

(4.8) და (4.10) განტოლებები წარმოადგენენ არაწრფივ კოორდინატულ გარდაქმნას $\Phi(y) = \begin{vmatrix} \Phi_s \\ \Phi_\varepsilon \end{vmatrix}$ იაკობის მატრიცით, რომელიც, როგორც იგულისხმება, აკმაყოფილებს (4.1) დაშვებას. მაშინ ადგილობრივ მასშტაბებში რკალის ირგვლივ რომელიც, განისაზღვრება, როგორც $Y_\varepsilon = \{y : dist(y, S) < \varepsilon_0, s \in S^*\}$, არსებობს $y = y(s, \varepsilon)$ გლუკი უკუასახვა, ამის გარდა, გლუკი რკალებისთვის შეიძლება მოიძებნოს S -ის

ადგილობრივი ორთოგონალური წარმოდგენა, ისეთი, რომ შემდეგ
დაშვებას ექნება ადგილი.

დაშვება 2. ყველა $y \in S$ -სათვის, Φ მატრიცა ორთოგონალურია, ე.ი.:
 $\Phi\Phi^T = I$. წარმოვიდგინოთ ნომინალური იაკობის მატრიცა
 $\Phi^*(s) = \{\Phi_j^{*T}(s)\} = \Phi(y(s,0))$. (4.2) დაშვების გათვალისწინებით, Φ_j^{*T}
სვეტები განსაზღვრავენ ფრენეტის მოძრავ ჩარჩოს, დაკავშირებულს
 $y = y(s,0) \in S$ წერტილებთან. Φ^* მატრიცის დინამიკა ექვემდებარება
ფრენეტის მაგვარ განტოლებას:

$$\Phi^* = \dot{s}H(s) \cdot \Phi^* \quad (4.11)$$

სადაც H – რეალის გეომეტრიული ინგარიანტების დამახინჯებული
სიმეტრიული მატრიცაა. ამის გარდა, ასეთი გარდაქმნა (4.8), (4.10)
ინარჩუნებს მეტრიკულ სივრცეს და ε_j კოორდინატები განსაზღვრავენ
 S -საგან გადახრას, როცა s ადგილობრივი კოორდინატა დაკავშირებუ-
ლია S რეალის სიგრძესთან. Y_ε -ში $\Phi(y)$ მატრიცა გამოვთვალეთ
წრფივი აპროქსიმაციის გამოყენებით:

$$\Phi = \Phi^*(s) + \sum \Phi_{sj}(s)\varepsilon \quad (4.12)$$

სადაც $\Phi_{sj} = \partial\Phi / \partial\varepsilon_j$, როცა $\varepsilon = 0$.

ორბიტალური სინქრონიზაციის ადგილობრივი პრობლემა შემდეგ-
ნაირად ჟღერს:

პრობლემა 2. უნდა მოიძებნოს ისეთი მართვა $u = U(y)$, რომ მებისმიერი
 $y \in Y_\varepsilon$ -სათვის უზრუნველყოფილი იქნას S -ის ატრაქტულობა Y_ε -ის
ახლოს (ან $\varepsilon = 0$ ამონახსნის ასიმტოტური სტაბილურობა)

ჩამოვაყალიბოთ „საკონტროლო“ ვერსია. განვიხილოთ K -
დინამიკური სისტემა:

$$\sum_i = \{T, U_i, X_i, Y_i, \Phi_i, h_i\}, \quad i = 1, \dots, K \quad (4.13)$$

სადაც T არის დროის მუდმივების საერთო ჯგუფი; U_i , X_i , Y_i –
შესასვლელის, მდგომარეობის და გამოსასვლელის ჯგუფი;
 $\Phi_i : TxX_i x U_i \rightarrow X_i$ – გარდამავალი რეჟიმები, $h_i : TxX_i x U_i \rightarrow y_i$ – გამო-
სასვლელების რეჟიმები. (აქ ჩვენ ვიყენებთ დინამიკური სისტემების
ერთ-ერთ სტანდარტულ განსაზღვრებას). თავდაპირველად განვიხილოთ

შემთხვევა, როცა ყველა U_i არის უბრალოდ ერთგულოვანი, ე.ი არ გვაქვს შესასვლელები და ფორმირებისას შეიძლება გამოტოვებული იქნან. დავუშვათ, რომ მოცემულია $i = 1, \dots, i$ - ფუნქციონალები: $g_j : Y_1 x Y_2 x \dots x Y_k x T \rightarrow IR^1, j = 1, \dots, i$. აქ Y_i -არის ყველა ფუნქციის ჯგუფი T -დან Y_i -ში, ე.ი $Y_i = \{y : T \rightarrow Y_i\}$. შემდეგ ვიღებთ T -ს, როგორც დროთა ჯგუფს ასევე $T = IR \geq 0$ (გახანგრძლივებული დრო) ან $T = Z \geq 0$ (დისკრეტული დრო). ნებისმიერი რომელიმე $J \in T$ -სთვის ჩვენ განვსაზღვრავთ $\sigma_\tau - 1$, როგორც წანაცვლების ოპერატორს, ე.ი $\sigma_\tau : Y_i \rightarrow Y_i$ მოცემულია, როგორც $(\sigma_\tau y)(t) = y(t + \Gamma)$ ყველა $y \in Y_i$ -სთვის და ყოველი $t \in T$ -სთვის.

თუ ჩვენ თავს ვუყრით ყველა ამონასნის $x_1(\cdot), \dots, x_k(\cdot)$ სისტემისა \sum_1, \dots, \sum_k საწყისი მნიშვნელობით $x_1(0), \dots, x_k(0)$, რომელებიც სინქრონიზირებულნი არიან g_1, \dots, g_i ფუნქციონალებთან თანაფარდობით, მაშინ

$$g_j(\sigma_{\Gamma_1} Y_1(\cdot), \dots, \sigma_{\Gamma_k} Y_k(\cdot), t) \equiv 0, j = 1, \dots, i \quad (4.14)$$

განტოლებას აქვს მნიშვნელობები ყველა $t \in T$ -სთვის და ზოგიერთი $J_1, \dots, J_k \in T$ -სთვის, სადაც $Y_i(\cdot)$ აღნიშნავს სისტემის გამოსასვლელ ფუნქციას $\sum_i y_i(t) = h(x_i(t), t), \quad t \in T, i = 1, \dots, K$. ჩვენ ვამბობთ, რომ ამონასნი $x_1(\cdot), \dots, x_k(\cdot) = \sum_1, \dots, \sum_k$ სისტემისა საწყისი მნიშვნელობებით $x_1(0), \dots, x_k(0)$ დაახლოების სინქრონიზებულია g_1, \dots, g_k ფუნქციონალებთან მიმართულებაში, თუ გვაქვს $\varepsilon > 0$ და $\Gamma_1, \dots, \Gamma_k \in T$, ასე რომ

$$|g_j(\sigma_{\Gamma_1} y_1(\cdot), \dots, \sigma_{\Gamma_k} y_k(\cdot), t)| \leq \varepsilon, \quad j = 1, \dots, i \quad (4.15)$$

ყველა $t \in T$ -სთვის. ამონასნები $x_1(\cdot), \dots, x_k(\cdot)$ სისტემისა \sum_1, \dots, \sum_k საწყისი მნიშვნელობებით ასიმპტოტურად სინქრონიზებულ არიან g_1, \dots, g_i ფუნქციონალების მიმართ, ზოგიერთი $\Gamma_1, \dots, \Gamma_k \in T$ -სთვის გვაქვს:

$$\lim_{t \rightarrow \infty} (g_j(\sigma_{\Gamma_1} y_1(\cdot), \dots, \sigma_{\Gamma_k} y_k(\cdot), t)) = 0, \quad j = 1, \dots, i \quad (4.16)$$

თუ სინქრონიზაციის მოვლენა მიღწეულია ყველა საწყისი მნიშვნელობებისათვის $x_1(0), \dots, x_k(0)$, მაშინ შესაძლებელია ვთქვათ, რომ სისტემები $\sum_{i=1}, \dots, \sum_k$ სინქრონიზებადია (მოცემულ ფუნქციონალებთან მიმართებაში შესაბამისი გაგებით).

ასიმპტოტური სინქრონიზაციის შემთხვევაში შესაძლებელია განისაზღვროს ისეთი საწყისი მნიშვნელობები, რომელსაც მივყავართ სინქრონიზაციამდე. შემდგომში ჩვენ განვიხილავთ მხოლოდ შემთხვევას, სადაც სინქრონიზაცია მიღწეულია მხოლოდ ყველა საწყისი მნიშვნელობისათვის. მიუხედავად იმისა, რომ ეს განსაზღვრება ზოგადია, ის შეიძლება განზოგადებულ იქნას შემდგომში. მაგალითად, ბევრ პრაქტიკულ პრობლემებში დროითი ძვრები $\Gamma_i, i=1, \dots, k$ არ არის მუდმივი, მაგრამ მიისწრაფიან მუდმივი მნიშვნელობებისკენ, ე.წ. „ასიმპტოტური ფაზებისაკენ“. ამ შემთხვევაში ძვრის ოპერატორის მაგიერ ყველა გამოსასვლელი ფუნქციისთვის $y_2(\cdot)$, უფრო ხელსაყრელია განვიხილოთ დროში დაშლადი ძვრის ოპერატორი, რომელიც განსაზღვრულია შემდეგი სახით:

$$(\sigma_{\Gamma_i})y(t) = y(t_i^+(t)) \quad (4.17)$$

სადაც $t_i^+ : T \rightarrow T, i=1, \dots, k$ – არის პომომორფიზმები (ხანგრძლივი ფუნქციები, რომელთაც აქვთ ხანგრძლივი ინვერსიები), ასე, რომ

$$\lim_{t \rightarrow -\infty} (t_i^+(t) - t) = \varepsilon_i \quad (4.18)$$

შევნიშნოთ, რომ ფუნქციონალების ჯგუფის ნაცვლად ყოველთვის შესაძლებელია ავიდოთ ერთი ფუნქციონალი, რომელიც ასახავს სინქრონიზაციის ასეთივე გამოვლინებას. მაგალითად, შეიძლება ავირჩიოთ ფუნქციონალი G , საიდანაც:

$$G(y_1(\cdot), \dots, y_k(\cdot), t) = \sum_{j=1}^l g_j^2(y_1(\cdot), \dots, y_k(\cdot), t) \quad (4.19)$$

სინქრონიზაციის გამოყენებისას აუცილებელია ის მოთხოვნა, რომ (4.14) – (4.16) პირობები არ იქნას დარღვეული (ან დარღვეული იქნას უმნიშვნელოდ), როცა სისტემის ზოგიერთი პარამეტრი განსხვავდება ზოგიერთ სფეროში. სხვა სიტყვებით (4.14) – (4.16) თვისება უნდა იყოს მყარი, მაგრამ ამ შემთხვევაში ფაზური ძვრები შეიძლება

იყოს მუდმივი და არც კი მიისწრაფოდეს მუდმივი მნიშვნელობისაკენ, თუმცა, შემდეგი პირობა:

$$\overline{\lim_{i \rightarrow \infty}} |t_i'(t) - t| \leq r_j \quad (4.20)$$

შეიძლება წარმოდგენილი იყოს (4.18)-ის ნაცვლად.

ბევრ შემთხვევაში U_i, X_i, Y_i – ჯგუფები – სივრცის გექტორებია და \sum_i სისტემები შეიძლება აღწერილი იქნას უბრალო დიფერენციალური განტოლებებით.

4.2 სინქრონული გენერატორების

პარალელურ მუშაობაში ავტომატური ჩართვა

გენერატორის ქსელში წარმატებით ჩართვისათვის აუცილებელია, რომ მაწონასწორებელი დენის ბიძგი ჩართვის მომენტში არ აღემატებოდეს დასაშვებ მნიშვნელობას, ხოლო ჩასართავი გენერატორის როტორი ჩაერთოს სინქრონულად სანგრძლივი რხევის გარეშე. ამ პირობების შესასრულებლად აუცილებელია წინასწარ დავარეგულიროთ გენერატორის ბრუნვის სიხშირე ისე, რომ იგი ახლოს იყოს სინქრონულთან, ხოლო ძაბვა მის გამოსასვლელებზე (თუ გენერატორი აღგზნებულია) მივუახლოვოთ ან გავუტოლოთ ენერგოსისტემის ძაბვას და შევარჩიოთ ჩართვა-გამორთვის ბრძანების მიცემის მომენტი. ბრუნვის სიხშირისა და ძაბვის გათანაბრების ამ პროცესის და გენერატორის ქსელში ჩართვის მომენტის შერჩევას ეწოდება სინქრონიზაცია. ექსპლუატაციაში გამოიყენება ენერგოსისტემასთან გენერატორის პარალელური მუშაობაში ჩართვის ორი ძირითადი მეთოდი: ზუსტი სინქრონიზაცია და თვითსინქრონიზაცია.

ზუსტი სინქრონიზაციით ჩართვის მეთოდისას გენერატორი ბრუნდება სინქრონულთან მიახლოებულ სიხშირემდე და აღეგზნება. შემდგა ხელით ან ავტომატიკის საშუალებით თანაბრდება სინქრონიზებული გენერატორისა და ქსელის სიხშირეები და ძაბვა. ამის შემდეგ მიეცემა გენერატორის ქსელში ჩართვის ბრძანება. იმისათვის, რომ ჩართვის მომენტის გაწონასწორებული დენის ბიძგი არ აღემატებოდეს დასაშვებ სიდიდეს, ხოლო გენერატორის როტორის რხევები სწრაფად

ჩაქრეს, აუცილებელია ძალიან ზუსტად იქნას გაწონასწორებული გენერატორისა და ქსელის სიხშირეები და ძაბვა. აუცილებელია შეირჩეს გენერატორის ჩართვისა და გამორთვის შესაბამისი მომენტი.

თვითსინქრონიზაციისას გენერატორი ბრუნდება სინქრონულთან მიახლოებულ სიხშირემდე და ქსელში ირთვება აღუგზნებლად. აღგზნების დენი მიეწოდება როტორის ხვიებს ჩამრთველის ჩართვისთანავე. შემდეგ ხდება როტორის ე.მ.ძ.-ისა და დენის ზრდა, გენერტორი კი ირთვება სინქრონიზმში.

სინქრონიზაციის ძირითად ღირსებად ითვლება სინქრონიზაციის პრიცესის დაჩქარება და მისი შედარებით უბრალოება, რის გამოც იგი შეიძლება ადგილად იქნეს ავტომატიზირებული. თვითსინქრონიზაციის უპირატესობა განსაკუთრებით მნიშვნელოვანია ავარიულ პირობებში, ენერგოსისტემებში სიხშირისა და ძაბვის მნიშვნელოვანი მერყეობის დროს. თვითსინქრონიზაციის მეთოდის უარყოფით თვისებად შეიძლება ჩაითვალოს ჩართვის მომენტში დენის შედარებით დიდი ბიძგები, რის გამოც იწვება ჩამრთველის კონტაქტები და საჭირო ხდება გენერატორის და ტრანსფორმატორების მწყობრში მოყვანისთვის გარკვეული დამატებითი ძალისხმევა.

ზუსტი სინქრონიზაციის უპირატესობა მდგომარეობს იმაში, რომ გენერატორის ჩართვას, როგორც წესი თან არ ახლავს დენის დიდი ბიძგები და ხანგრძლივი რხევები. ამასთანავე ზუსტი სინქრონიზაციისადმი წაყენებული მკაცრი მოთხოვნები მას ხდიან შედარებით რთულ და ხანგრძლივ ოპერაციად. განსაკუთრებით ეს ეხება ავარიულ პირობას, როცა სოხუმისა და ძაბვის სხვადასხვა მერყეობისას პრაქტიკულად შეუძლებელი ხდება სინქრონიზებული გენერატორისა და ქსელის სიხშირეებისა და ძაბვის გაწონასწორება.

გენერატორების სინქრონიზაცია ძალიან მნიშვნელოვანი ოპერაცია, რომელიც მორიგე პერსინალისაგან მოითხოვს მუშაობის დიდ გამოცდილებას. ამ ოპერაციის ავტომატიზაცია ამსუბუქებს ოპერატიული პერსონალის შრომით პირობებს და საშუალებას იძლევა, რათა სწრაფად იქნეს ჩართული გენერატორი ქსელში, რაც ავარიულ პირობებში ძალზე მნიშვნელოვანია. ანსხვავებენ ხელის, ავტომატიკურ და ნახევრად ავტომატურ სინქრონიზაციას. შესაბამისად ამისა ავტომატი-

კის მოწყობილობები იყოფიან ავტომატიკურ და ნახევრად ავტომატიკურ ებად.

ავტომატური სინქრონიზაციას გენერატორის ქსელში ჩართვის მთელი პროცესი სრულდება ავტომატურად, მორიგე პერსონალის ჩარევის გარეშე. ასე მაგალითად: ავტომატური ზუსტი სინქრონიზატორი ახორციელებს სინქრონიზებული გენერატორის ბრუნვის სიხშირისა და ძაბვის რეგულირებას, აკონტროლებს ჩართვისათვის სიხშირისა და ძაბვის დასაშვებ სხვაობას, იძლევა იმპულსს ჩართვაზე, იმ მომენტში როცა სრულდება ზუსტი სინქრონიზაციის პირობა.

ნახევრადავტომატურ სინქრონიზაციისას ავტომატური მოწყობილობები ასრულებენ დამხმარე როლს, ისინი ეხმარებიან მორიგე პერსონალს გენერატორის სინქრონიზაციაში. ასე მაგალითად: თვით-სინქრონიზაციის ნახევრადავტომატური მოწყობილობა აკონტროლებს სიხშირეთა სხვაობას და იძლევა ჩართვის იმპულსს, როცა იგი გახდება დასაშვები ჩართვისათვის. სინქრონიზებული გენერატორის ბრუნვის სიხშირის რეგულირება ამ დროს ეკისრება მორიგე პერსონალს. რიგ შემთხვევაში ზუსტი სინქრონიზაციის ნახევრადავტომატური მოწყობილობები გამოიყენება ბლოკირების სახით, სინქრონიზაციისათვის საჭირო პირობებში გენერატორის ჩართვის ნებართვით.

ექსპლუატაციაში გამოიყენება ორი ტიპის სინქრონიზატორები: წასწრების მუდმივი კუთხით და წასწრების მუდმივი დროით.

თუ მივიღებთ, რომ ჩამრთველის ჩართვისას მუდმივი რჩება არა არაკუთხური სიხშირის ცურვა, არამედ კუთხური აჩქარება, მაშინ წინსწრების კუთხის შერჩევა და სინქრონიზატორის ამოქმედება ხდება იმ მომენტში, როცა სრულდება შემდეგი ტოლობა:

$$\delta + \delta_{on} = \delta + \frac{d\delta}{dt} t_b + \frac{d^2\delta}{dt^2} \frac{t^2}{2} = 2\pi \quad (4.21)$$

სადაც t_B - წინსწრების დროა და ტოლია ჩამრთველის ჩართვის დროისა.

U_δ და δ – შორის წრფივი დამიკიდებულებიდან გამომდინარე სინქრონიზატორის ამოქმედება დებულობს შემდეგ სახეს:

$$U_\delta + \frac{dU_\delta}{dt} t_B + \frac{d^2U_\delta}{dt^2} \frac{t_B^2}{2} = U_{2\pi}, \quad (4.22)$$

სადაც $U_{2\pi}$ არის U_δ -ის მნიშვნელობა 2π კუთხისას.

დაჩქარების გათვალისწინებით $a_s = \frac{dw_s}{dt}$ ცურვის კუთხეური სიხშირე ჩამრთველის კონტაქტების მოკლე ჩართვის მომენტი $\omega_{s,b} = \omega_{s,c} + a_s t_B$, სადაც $\omega_{s,b}$ – ცურვის კუთხეური სიხშირეა სინქრონიზაციის ამოქმედების მომენტი. შესაბამისად წინსწრების კუთხე გამოისახება შემდეგნაირად:

$$\delta_{on} = \omega_{s,c} t_B + a_s \frac{t_B^2}{2} \quad (4.23)$$

სინქრონიზაციის კონტროლდება მაქსიმალურად დასაშვები ცურვა $\omega_{s,max,D}$ ჩამრთველის კონტრაქტების მოკლე ჩართვის მომენტი.

როცა $\omega_{s,b} > \omega_{s,max,D}$, მაშინ მოქმედების აკრძალვისთვის, ცურვის მნიშვნელობის მაკონტროლებელი ელემენტისათვის დაისმის პირობა:

$$\delta_{o\pi,max,D} = \omega_{s,max,D} t_B, \quad (4.24)$$

რომელშიც სინქრონიზაციის ავტომატურად შეაქვს შესწორება და ამ შემთხვევაში წინსწრების დასაშვები კუთხე გამოისახება შემდეგნაირად:

$$\delta_{o\pi,max,D} = (\omega_{s,c} + a_s t_B)_{max,D} t_B - a_s \frac{t_B^2}{2} = \omega_{s,max,d} t_B - a_s \frac{t_B^2}{2}$$

შერჩევა $\delta_{on} > 120^\circ$ ავტომატურად იკრძალება.

4.3 ავარიული სიტუაციების ანალიზი

4.3.1 ასინქრონული რეჟიმების ლიკვიდაცია. რესინქრონიზაცია

ენერგოსისტემაში ავარიული სიტუაციების ანალიზი და ავარიასაწინააღმდეგო ღონისძიებების შერჩევა (ზემოქმედების მეთოდი) მუშაობის ნორმალური რეჟიმის აღსადგენად, წინ უსწრებს ტექნიკურ საშუალებათა დამუშავებას. ასეთი ანალიზის საფუძველს შეადგენს ენერგოსისტემის პარალელური მუშაობის მდგომარეობის გაანგარიშება, რომელიც სრულდება გარდამავალ პროცესებზე ზემოქმედების გათვალისწინებით.

ენერგოსისტემის მოძრაობის განტოლება, თუ უგულებელვყოფთ ხაზებში დანაკარგებს და თვითრეგულირების თავისებურებებს (გენერატორის ასინქრონული მომენტებით და დატვირთვის რეგულირების ეფექტით), შეიძლება ჩაიწეროს შემები სახით:

$$\frac{T_{j,3k}}{W_{\text{hom}}} \frac{d^2 \delta_{1,2}}{dt^2} + P_{1,2} S_{in} \delta_{1,2} = \Delta P \quad (4.25)$$

სადაც $\delta_{1,2}$ – ე.მ.ძ-ების, E_1 -ის და E_2 -ის, გენერატორების ფაზებს შორის ძვრის კუთხეა, ΔP – წარმოქმნილი დეფიციტი ან სიმძლავრის დანაკარგია, $T_{j,3k}$ – ენერგოსისტემაში მბრუნავი მასების ინერციის დროის ექვივალენტური მუდმივაა.

$$T_{j,3k} = T_{j,1} T_{j,2} / T_{j,1} + T_{j,2} \quad (4.26)$$

აქ $T_{j,1}, T_{j,2}$ – ექვივალენტური ოპერატორების ინერციის დროითი მუდმივებია.

ΔP -ს მნიშვნელობა შეიძლება განვსაზღვროთ შემდეგნაირად:

$$\Delta P = \frac{P_{T,1} - P_{H,1}}{T_{j,1} + T_{j,2}} T_{j,2} - \frac{P_{T,2} - P_{H,2}}{T_{j,1} + T_{j,2}} T_{j,1} \quad (4.27)$$

სადაც $P_{T,1}, P_{T,2}$ – პირველი და მეორე ელექტროსადგურის ტურბინების სინძლავრეებია; $P_{H,1}, P_{H,2}$ – ელექტროსადგურების ელექტრული სიმძლავრის დატვირთვებია. (4.25) და (4.27) განტოლებების დახმარებით შეიძლება გავაანალიზოთ უფრო მეტად დამახასიათებელი ავარიული სიტუაციები: გადამცემ ნაწილებში სიმძლავრის დანაკარგი, მიმდებ ნაწილში სიმძლავრის დეფიციტი და გადაცემის შესუსტება.

ენერგოსისტემების განვითარებასა და გაერთიანების პირველ ეტაპზე ასინქრონული რეჟიმების ლიკვიდაცია ხორციელდებოდა ოპერატიული პერსონალის მოქმედებებით. შეინიშნებოდა სინქრონიზმის თვითნებური აღდგენის შემთხვევები დინამიური მდგრადობის დარღვევის დროს, მაგრამ არ არსებობდა ასინქრონული რეჟიმების დაშვების კრიტერიუმები და ეს რეჟიმები განიხილებოდა, როგორც მავნენი, რის გამოც ექვემდებარებოდნენ სწრაფ ლიკვიდაციას. შემდგომ დაიწყო ავარიის ლიკვიდაციასთან დაკავშირებული სარეჟიმო მოთხოვნების გა-

დასინჯვა, რაც გამოწვეული იყო მდგრადების დარღვევით. ფორმული-რებული იქნა ასინქრონული ჩართვის და მოკლე დროის სინქრონული რეჟიმების დასაშვები კრიტერიუმები. განვსაზღვროთ რესინქრონიზაციის პირობა – ასინქრონული რეჟიმის პროცესის დროს სინქრონიზმის ადგენას ეწოდება რესინქრონიზაცია. რესინქრონიზაციის პირობას აქვს შემდეგი სახე:

$$|S_{cp}| \leq S_{cp,kp}$$

სადაც – S_{cp} – დამყარებული საშუალო ცურვაა

$S_{cp,kp}$ – დამყარებული საშუალო ცურვის კრიტიკული მნიშვნელობაა, რომლის დროსაც რესინქრონიზაცია მიმდინარეობს სინქრონული მომენტის გავლენის ქვეშ, რაც იწვევს მრვალჯერად ცურვის რყევას საშუალო მნიშვნელობასთან ახლოს.

$S_{cp,kp}$ რიცხობრივი შეფასებისათვის ძლიერ და სუსტი კაგშირებისას შესაბამისად მივიღოთ:

$$P_{12}=1 \text{ და } P_{12}=0,05$$

$$S_{cp,kp} = 0,0565 \sqrt{\frac{P_{12}}{\tau_{j_3k}}} \quad (4.28)$$

$$\tau_{j_3k} = \frac{\tau_{j_1}\tau_{j_2}}{\tau_{j_1} + \tau_{j_2}}$$

τ_{j_1}, τ_{j_2} – მექანიკური ინერციის მუდმივებია; τ_{j_3k} – ორმანქანური სისტემის მექანიკური ინერციის ექვივალენტური მუმივაა; P_{12} – ასინქრონულად მომუშავე ნაწილების ურთიერთ სიმძლავრე ფარდობით ერთეულებში, რომელიც განსაზღვრავს სიმძლავრის რყევის მაქსიმალურ ამპლიტუდას ასინქრონული რეჟიმის ხაზზე.

4.3.2 ასინქრონული რეჟიმის ნიშნები

პარალელურ მუშაობაზე ჩართული გენერატორები ნორმალურ რეჟიმში მუშაობენ სინქრონულად. სინქრონული რეჟიმისათვის დამახასიათებელია ის, რომ ყველა გენერატორს გააჩნია ერთნაირი სიხშირე და აქედან გამომდინარე, მათი ვექტორები ბრუნავენ ერთნაირი კუთ-

ხური სიჩქარით. ასინქრონული რეჟიმი თავს იჩენს თუ დაირღვევა გენერატორების ან ენერგოსისტემის პარალელური მუშაობის მდგრადობა. ამის გარდა, ასინქრონული რეჟიმი შეიძლება წარმოიქმნას იმ ხაზების არასინქრონული ჩართვის დროს, რომლებიც აერთებენ ელექტროსადგურს ენერგოსისტემასთან – ასინქრონული რეჟიმს თან ხდევს ქვემოთ წარმოდგენილი მოვლენების და ნიშნების განხილვა:

1. ასინქრონულ ე.მ.ძ.-ებს შორის კუთხის პერიოდული ცვალებადობა ნულიდან 360^0 -მდე სიხშირის ცურვით (ცურვა ეწოდება ბრუნვის სიხშირეთა სხვაობას ან ელექტრული სიხშირეთა სხვაობას)

$$\omega_s = \omega_r - \omega_c, \\ f_s = f_r - f_c, \quad (4.29)$$

სადაც ω_s და f_s – ცურვის კუთხური სიჩქარე და სიხშირეა; ω_r და f_r – გენერატორის ან ელექტროსადგურის კუთხური სიჩქარე და სიხშირეა; ω_c და f_c – ენერგოსისტემის კუთხური სიჩქარე და სიხშირეა.

2. ელექტროგადაცემის ყველა წერტილში პერიოდული სიხშირული ცურვა ძაბვის ცვლილებით.
3. სიხშირული ცურვის დენის პერიოდული ცვლილება (რხევა) ყველა ელემენტში, რომელიც აკავშირებს ასინქრონულ მანქანებს.

ზემოთ განხილულიდან ჩანს, რომ ასინქრონული რეჟიმებს თან ახლავს ძაბვის დიდი შემცირება, რხევის დიდი დენების გადინება და აქტიური სიმძლავრის რყევები. ყველაფერი ეს წარმოადგენს ნორმალურ რეჟიმში მუშაობას სერიოზული დარღვევას, სახიფათოა მოწყობილობებისათვის და ელექტროენერგიის მომხმარებელთათვის. ამიტომ ასინქრონული რეჟიმი უნდა იყოს შეზღუდული 2-3 ციკლამდე. ასინქრონული რეჟიმის ხანგრძლივობის დასაშვები ზღვარი წარმოადგენს 15-30 წ-ს. ამ დროს განმავლობაში უნდა იქნეს მიღებული ზომები სინქრონიზმის აღსადგენად.

არსებობს ასინქრონული რეჟიმის ლიკვიდაციის ორი მეთოდი: რესინქრონიზაცია და ენერგოსისტემის დაყოფა.

ეს ოპერაციები როგორც წესი ხორციელდება, ავტომატურად, ასინქრონული რეჟიმის ლიკვიდაციის ავარიასაწინააღმდეგო მოწყობი-

ლობების დახმარებით, ხოლო იშვიათად (მოწყობილობის მწყობრიდან გამოსვლისას) – ოპერაციული პერსონალის საშუალებით.

4.4 სინქრონიზირებადი მართვა

(4.1) პრობლემის გადაწყვეტისათვის, შეკრული მარყუჟის მართვა უნდა ამოვირჩიოთ ისე, რომ მივაღწიოთ სასურველი სისტემური სივრცის განვითრებას, რომელიც აღწერილია (4.4), (4.7) განტოლებებით. პროცედურა იწყება (4.1) მოდელის ჩვეულებრივი გარადქმნით. (4.6) და (4.8) განტოლებების დიფერენცირებით ჩვენ ვიღებთ შემდეგ ასახვებს:

$$\begin{vmatrix} \dot{\bar{y}} \\ \dot{\varepsilon} \end{vmatrix} = \Phi \dot{y} \quad (4.30)$$

$$\dot{y} = \Phi^{-1} \begin{vmatrix} \dot{\bar{y}} \\ \dot{\varepsilon} \end{vmatrix} = \bar{\Gamma} \dot{\bar{y}} + \Gamma_\varepsilon \dot{\varepsilon} \quad (4.31)$$

ახალ კოორდინატულ დიაგრამაში მათემატიკური მოდელი ადგილად შედგება (4.13)-ის დიფერენცირებით დროის მიმართ და შეცვლის შედეგად (4.1), (4.31) შემდეგ ფორმას მიიღებს:

$$\begin{vmatrix} \ddot{\bar{y}} \\ \ddot{\varepsilon} \end{vmatrix} = \dot{\Phi} \Gamma \begin{vmatrix} \dot{\bar{y}} \\ \dot{\varepsilon} \end{vmatrix} + \Phi A^{-1}(u - b) \quad (4.32)$$

სამუშაო პროედურა შეიცავს „სივრცის გაწრფივებას“:

$$u = b + A\tilde{u} \quad (4.33)$$

სადაც $\tilde{u} = \{u_j\}$, $j \in [1, m]$ – ახალი შესასვლელი ვაქტორია, რომელიც მოიძებნება შემდეგ ფორმაში:

$$\tilde{u} = \tilde{u}(\bar{y}, \varepsilon) \quad (4.34)$$

მაშინ (4.32) შემდეგნაირად გადაიწერება:

$$\begin{vmatrix} \ddot{\bar{y}} \\ \ddot{\varepsilon} \end{vmatrix} - \dot{\Phi} \Gamma \begin{vmatrix} \dot{\bar{y}} \\ \dot{\varepsilon} \end{vmatrix} = \Phi \tilde{u} \quad (4.35)$$

განვიხილოთ მდგრადი სინქრონიზაციის მოძრაობა, რომელიც იღებს $\varepsilon \equiv 0$ და $\tilde{u}_0(y) = \tilde{u}(\bar{y}, 0)$ მნიშვნელობებს. (4.35) შემდეგნაირად გადაიწერება:

$$\tilde{u}_0 = (\bar{\Gamma} - 2\xi\omega\bar{\Gamma})\dot{\bar{y}} - \omega^2\bar{\Gamma}\bar{y} \quad (4.36)$$

რომ გავაანალიზოთ სინქრონიზაციის პროცესები Y_ε -ში, ჩვენ ვიხილავთ მკვეთი მოძრაობის მოდელს, მიღებულს (4.35) განტოლებიდან:

$$\ddot{\varepsilon} - \dot{\Phi}_\varepsilon^T \Gamma_\varepsilon \dot{\varepsilon} = \dot{\Phi}_\varepsilon^T \bar{\Gamma} \bar{y} + \Phi_\varepsilon^T \hat{u} \quad (4.37)$$

ამოვირჩიოთ

$$\tilde{u} = \tilde{u}_0(\bar{y}) - \Gamma_\varepsilon(K_1 \dot{\varepsilon} + K_2 \varepsilon) \quad (4.38)$$

სადაც K_1, K_2 – უკუკავშირის გადიდების მატრიცებია.

პრობლემის გადაწყვეტისათვის, შემოვიტანოთ (4.1) სისტემაში ახალი მდგომარეობის ცვლადები, გასწვრივი მოძრაობის (s, \dot{s}) და მკვეთი $(\varepsilon, \dot{\varepsilon})$ ცვლადები, რომლებიც შემდეგნაირად გამოითვლებიან:

$$\begin{vmatrix} s \\ \varepsilon \end{vmatrix} = \begin{vmatrix} \varphi_s^i(y) \\ \varphi_\varepsilon(y) \end{vmatrix}, \begin{vmatrix} \dot{s} \\ s \end{vmatrix} = \Phi \dot{y} \quad (4.39)$$

დაშვება (4.2)-ის გათვალისწინებით, $y = y(s, e)$ – უგუასახვის დიფერენციალი იქნება:

$$\dot{y} = \Phi^T \begin{vmatrix} \dot{s} \\ s \end{vmatrix} \quad (4.40)$$

სისტემური მოდელი ახალ კოორდინატულ დიაგარამაში შექმნილია (4.39)-ის დიფერენცირებით, შესაბამისი ცვლილებებით და (4.11), (4.12) განტოლებების გამოყენებით. Y_ε მცირე მიღამოში, ის მიიღებს შემდეგ ფორმას:

$$\begin{vmatrix} \ddot{s} \\ -\dot{s}H \end{vmatrix} - a_1 \dot{\varepsilon} - a_2 \varepsilon = \Phi A^{-1}(u - b) \quad (4.41)$$

შექმნის პროცედურა შეიცავს მდგომარეობის სირცის გაწრფივებას (4.33) და ამოცანით ორიენტირებული განცალკევებისათვის სისტემურ მოდელს, \tilde{u}_j შესასვლელების გათვალისწინებით, წრფივი მართვის ცვლადის გარდაქმნა მიიღება შემდეგნაირად:

$$\tilde{u} = \Phi^T \begin{vmatrix} u_s \\ u_\varepsilon \end{vmatrix} \quad (4.42)$$

სადაც u_s – გასწვრივი მართვაა და u_ε – $m-1$ განზომილების მკვეთი მართვის კექტორია. მაშინ (4.41) განტოლება მიიღებს შემდეგ სახეს:

$$\begin{vmatrix} \ddot{s} \\ -\dot{s}H \end{vmatrix} - a_1 \dot{\varepsilon} - a_2 \varepsilon = (I + \Delta\varepsilon) \begin{vmatrix} u_s \\ u_\varepsilon \end{vmatrix} \quad (4.43)$$

რომელიც განსაზღვრავს სუსტად ურთიერთმოქმედი გასწრივი და მკვეთი დინამიკის მოდელებს. ისინი შეიძლება შემდეგნაირად გადავწეროთ:

$$\begin{aligned}\ddot{s} - (\dot{s}H^T - a_{11})\dot{\varepsilon} - a_{12}\varepsilon &= u_s + (\Delta_1\varepsilon)u_\varepsilon \\ \ddot{s} - (\dot{s}\bar{H} + a_{21})\dot{\varepsilon} - a_{22}\varepsilon &= u_\varepsilon - \dot{s}^2 h(s) + (\Delta_2\varepsilon)u_s\end{aligned}\quad (4.44)$$

სადაც $\begin{vmatrix} 0 & h^T \\ -h & \bar{H} \end{vmatrix} = H$ – ბევერი მართვაა.

$$u_\varepsilon = \dot{s}^2 h(s) - K_1 \dot{\varepsilon} - K_2 \varepsilon \quad (4.45)$$

სადაც K_1, K_2 – უპუკავშირის მატრიცები საშუალებას გვაძლევს მივიღოთ თითქმის ავტონომიური შეცდომის მოდელი:

$$\ddot{\varepsilon} + (K_1 - \dot{s}H - a_{21})\dot{\varepsilon} + (K_2 - a_{22})\varepsilon = 0 \quad (4.46)$$

ამ მოდელის მატრიცების უპუკავშირის აუცილებელი შეზღუდვების ამორჩევა გვაძლევს ასიმპტოტური სტაბილურობის გარანტიას და ამის შედეგად (4.1) სისტემის ორბიტალური სტაბილურობა, (4.9) ატრაქტორის მიმართ გამოისახება შემდეგნაირად:

$$u_s = \dot{v}_d + k_s(v_d - \dot{s}) \quad (4.47)$$

სადაც k_s – უპუკავშირის სათანადო ამორჩევა უზრუნველყოფს $v_d - \dot{s}$ ნორმის შეცდომის ასიმპტოტურ განულებას და სასურველი რხევების გადიდებას.

შედეგად მართვის სისტემა შეიცავს (4.33) გაწრფივების ალგორითმს, (4.42) მართვის ცვლადის გარდაქმნას და ნაწილობრივად (4.45) და (4.47) მართვის კანონებს.

შემოთავაზებული მიდგომის წარმოსადგენად განვიხილოთ ორკავშირიანი რხევითი სისტემის სინქრონიზაცია:

$$\ddot{y} + Wy = u \quad (4.48)$$

სადაც $\dim y = 2$, W – დიაგონალური მატრიცაა და (4.33) განტოლება მიიღებს შემდეგი სახის ფორმას:

$$u = Wy + \tilde{u} \quad (4.49)$$

განვიხილოთ ზემოთ განხილული მოდელების კერძო შემთხვევები:

1. წრფივი სინქრონიზაცია. სინქრონიზაციის პირობა მდგომარეობს შემდეგში:

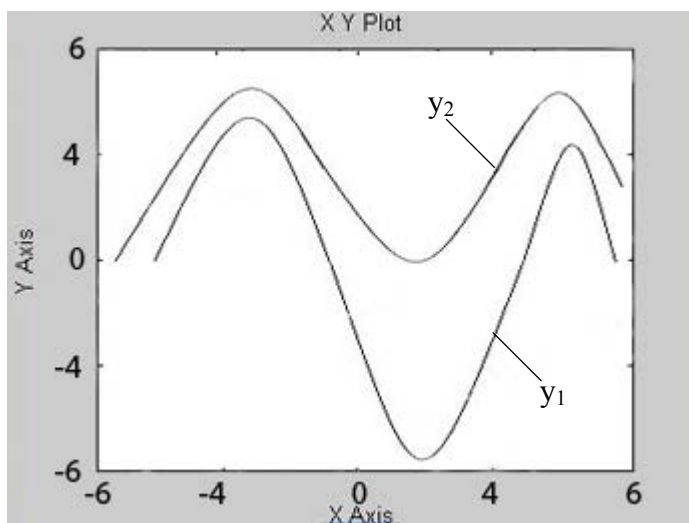
$$y_1 - 2 \cdot y_2 = 0 \quad (4.50)$$

(4.50) ემთხვევა წრფის განტოლებას და გაშუალებული ცვლადი ამორჩეულია შემდეგი ფორმით:

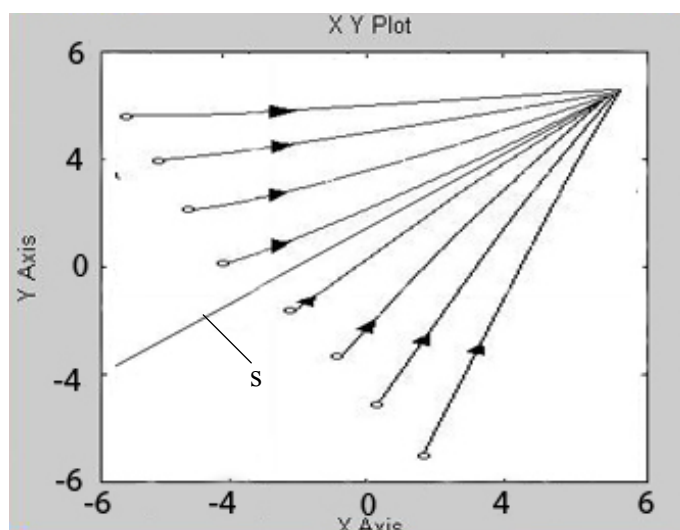
$$\bar{y} = y_1 + y_2 \quad (4.51)$$

გაშუალებული მოძრაობის დინამიკა მოცემულია (4.4) განტოლებით, სადაც $\xi = 0$, $\omega = 2$.

მარყუების წრფიგი სინქრონიზაციის გამოყენებისას იყო გამომუშავებული მნიშვნელოვანი მართვის მოწყობილობა. წრფის გასწვრივ სისტემის მოძრაობის ტრაექტორიები, დაწყებული სხვადასხვა შიდა წერტილებიდან ნაჩვენებია ნახ.26-ზე.



ა)

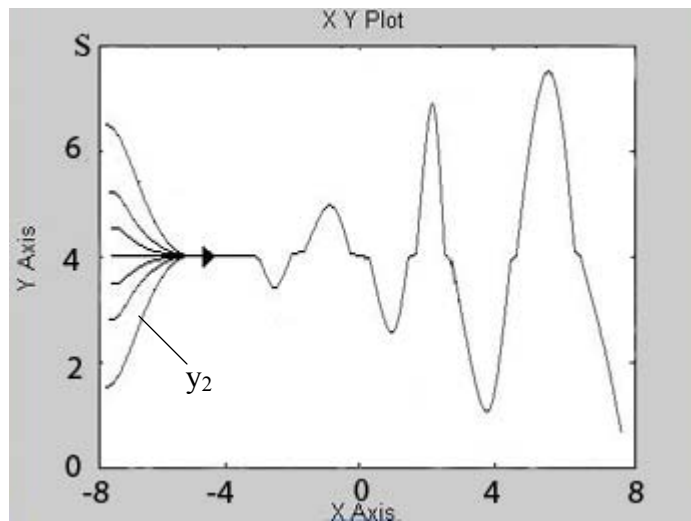


ბ)

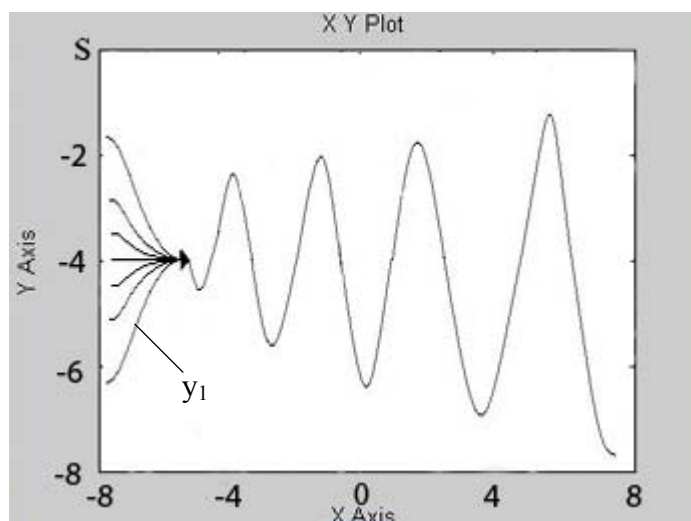
ნახ. 26 წრფიგი სინქრონიზაცია

2. არაწრფივი სინქრონიზაცია. სინქრონიზაციის პირობა მოცემულია კუ-ბური პარაბოლის განტოლებით $y_2 - 0.1 \cdot y_1^3 = 0$ და გაშუალებული ცვლადი წარმოდგენილია, როგორც $\bar{y} = y_1$. სასურველი რხევები მიღევადია, როცა $\xi = -0.39$. როგორც პირველ შემთხვევაში, (4.36), (4.38) არაწრფივი სინქრონიზირებადი მარყუების გამოყენება, საშუალებას გვაძლევს ჩამოვაყალიბოთ მნიშვნელოვანი მართვის კანონები.

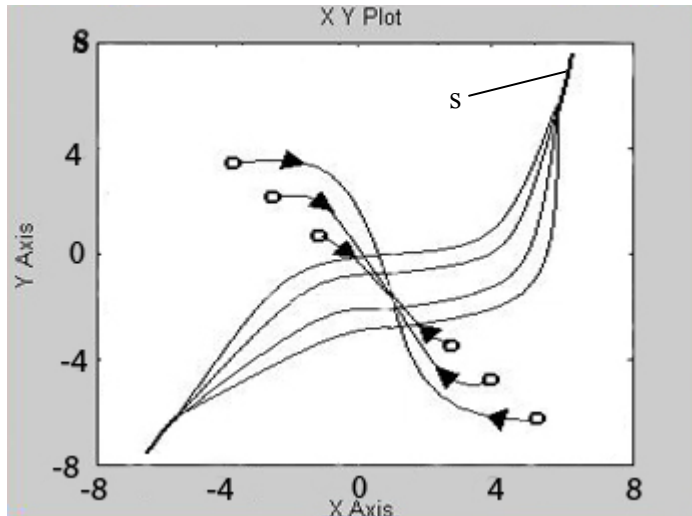
სხვადასხვა საწყისი წერტილებიდან დაწყებული, პარაბოლის გასწვრივ სისტემის მოძრაობის ტრაექტორიები და სისტემის გამოსასვლელების დროში ამოქმედება მოცემულია ნახ. 27-ზე.



ა)



ბ)



გ)

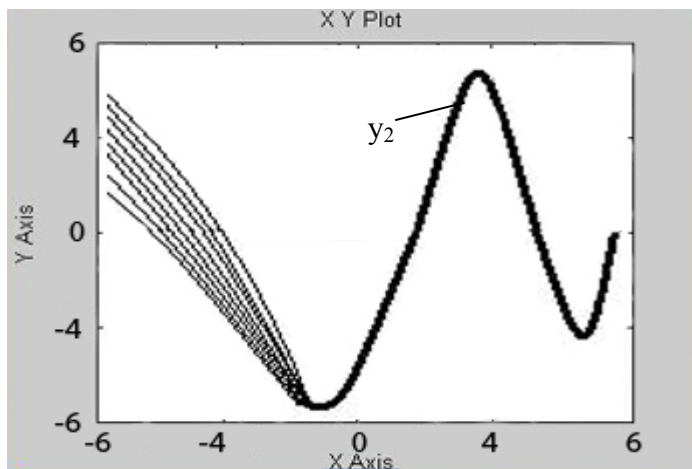
ნახ. 27 არაწრფივი სინქრონიზაცია

3. სინქრონიზაციი აელიფსური ორბიტის მიმართ. სინქრონიზაციის პირობა მოცემულია ელიფსის განტოლებით.

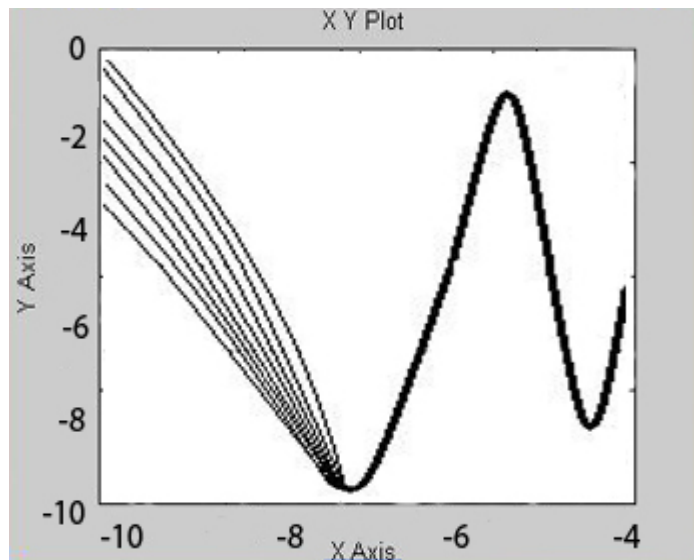
$$\frac{(0.87y_1 + 0.5y_2)^2}{16} + \frac{(0.5y_1 - 0.87y_2)^2}{4} - 1 = 0 \quad (4.52)$$

გასწვრივი ცვლადი s წარმოდგენილია (4.10) განტოლებით, სადაც $s^0 = 17.89$ და φ^0 – გამოთვლილია y_1 / y_2 და y_2 / y_1 ინვერტული ტრიგონომეტრიული ფუნქციების საშუალებით. პროპორციული გასწვრივი მოძრაობა მიღებულია $v_d = 1$ ნორმირებული სიხშირის ამორჩევით.

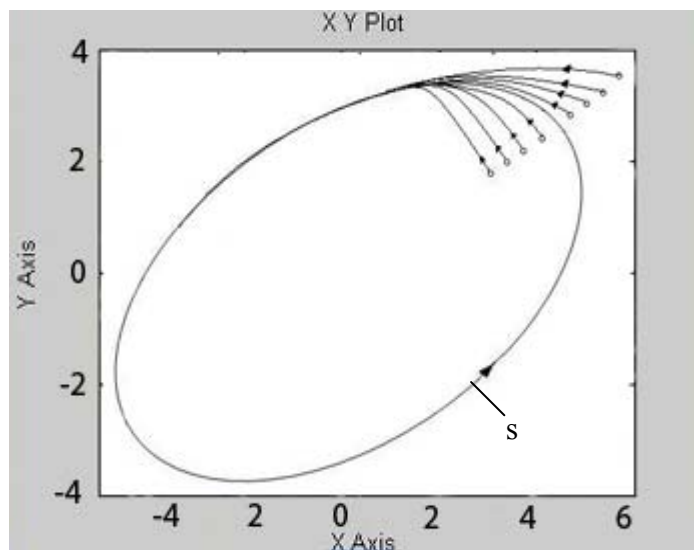
მართვის კანონი იყო გამომუშავებული (4.33), (4.42), (4.45), (4.47) განტოლებების საშუალებით. ელიფსურ ორბიტაზე სისტემის მოძრაობის ტრაექტორიები და სისტემის გამოსასვლელების დროზე დამოკიდებულება ნაჩვენებია ნახ. 28-ზე.



ს)



δ)



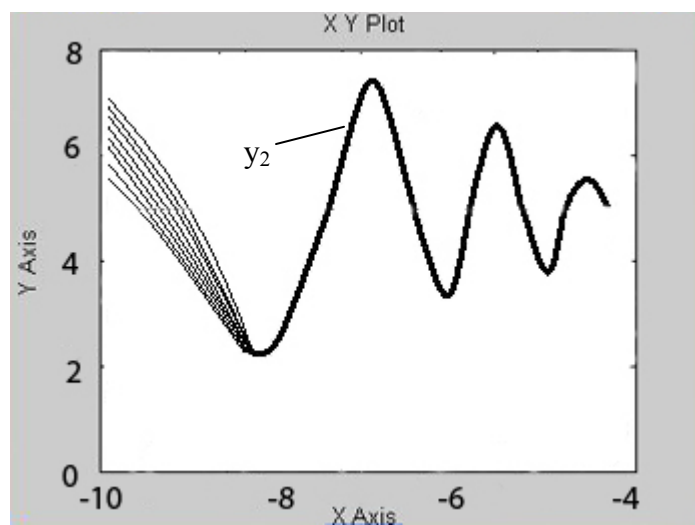
δ)

ნახ. 28 სიქრონიზაცია ელიფსური ორბიტის მიმართ

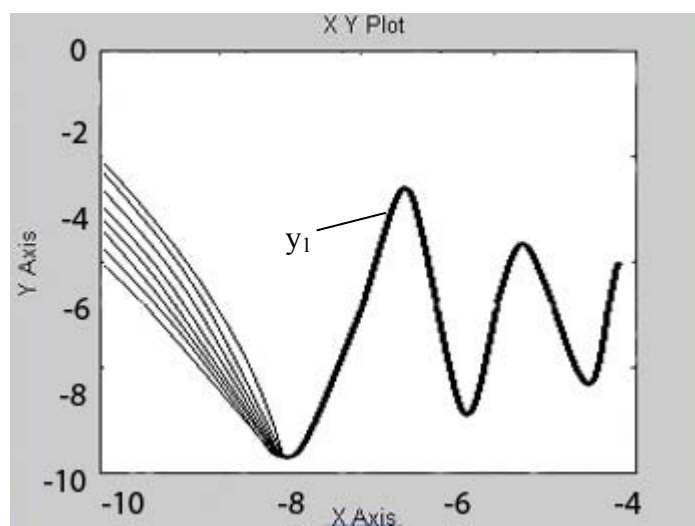
4. სინქრონიზაცია სპირალის მიმართ. სინქრონიზაციის პირობა მოცემულია განტოლებით:

$$\exp s - y_1^2 - y_2^2 = 0 \quad (4.53)$$

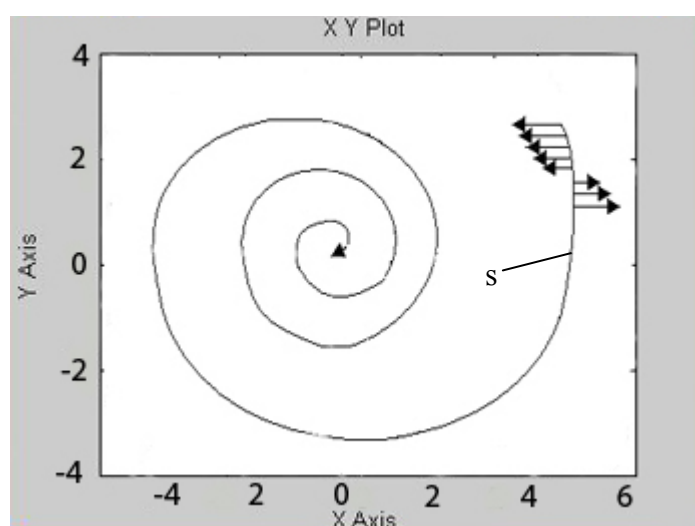
გასწვრივი ცვლადი s წარმოდგენილია (4.10) განტოლებით. სასურველი ფაზა და პროცესის დროის სკალა მოცემულია $\nu_d = -1$ ნორმირებული სიხშირით. სისტემის სპირალზე მოძრაობის ტრაექტორიები ნაჩვენებია ნახ. 29-ზე.



)



)



)

ნახ. 29 სინქრონიზაცია სპირალის მიმართ

მოდელირება აჩვენებს სისტემის ტრაქტორიების კრებადობას სასურველ ატრაქტორებში, გასწვრივი მოძრაობის მოცემული რეჟიმებისათვის, ამიტომ სხვადასხვა სინქრონიზაციის ამოცანებს სავსებით ასრულებს.

დ ა ს პ ვ ნ ა

ჩატარებული თეორიული და ექსპერიმენტული გამოკვლევების საფუძველზე შეიძლება გავაკეთოთ შემდეგი დასკვნა:

1. შესწავლილია ენერგოსისტემაში მიმდინარე გარდამავალი პროცესები. გაანალიზებულია ენერგოსისტემის ძირითადი ელემენტების მათემატიკური მოდელები. შედგენილია განტოლებები სინქრონული და ასინქრონული მანქანების რეჟიმებისთვის და მათ საფუძველზე მიღებულია მთლიანი ენერგოსისტემის მათემატიკური მოდელი;
2. გამოკვლეულია მთლიანი ენერგოსისტემის მათემატიკური მოდელი და მისი თავისებურებანი. შესწავლილია ელექტრომაგნიტური პროცესების გამოკვლევის სხვადასხვა მეთოდიკა, კერძოდ, ჰდანოვის და პოზიციური მოდელები. დადგენილია, რომ მრავალსიხშირული დენებისა და ძაბვების შევცვლით ერთსიხშირულით, მიიღება გამარტივებული მათემატიკური მოდელი და შესაბამისად - ენერგეტიკული ბალანსის განტოლება;
3. ლიაპუნოვის ვექტორული ფუნქციის მეთოდის გამოყენებით შესწავლილია ერთგენერატორიანი, ორგენერატორიანი და სამგენერატორიანი, ანუ მრავალგენერატორიანი სისტემების სტატიკური და დინამიკური მდგრადობა;
4. ჰოპფის ბიფურკაციის თეორიის გამოყენებით გაანალიზებულია ერთგენერატორიანი, ორგენერატორიანი და სამგენერატორიანი ენერგოსისტემების მდგრადობა. დადგენილია ენერგოსისტემის მდგრადობის არები დისკრეტული დინამიკური სისტემის მართვის პარამეტრის მიხედვით;
5. ნაშრომში გამოკვლეულია ენერგოსისტემის ქაოსური მოძრაობა სხვადასხვა რაოდენობის გენერატორებისთვის. შერჩეული კოეფიციენტებისა და პარამეტრების საფუძველზე მიღებულია შედეგები, რის მიხედვითაც განისაზღვრება ენერგოსისტემის ქცევა პარამეტრების ცვლილებისას;

6. შესწავლით ენერგოსისტემის ორი ან რამოდენიმე პროცესის ქცევის თავსებადობა დროში, ანუ სინქრონიზაცია, რომლის პარამეტრების დადგენა დაეხმარება ენერგოსისტემაში მომუშავე მომსახურე პერსონალს ავარიასაწინააღმდეგო პარამეტრების შერჩევაში;
7. მიღებულია გენერატორების სინქრონული მუშაობის სასურველი არეაბი და რესინქრონიზაციის პარამეტრები.

ଡାନ୍ତରୀକରଣ

ଖଲୁଗିବାର ପଦିକ୍ଷବି

```
Private Sub Command1_Click()
Y = InputBox("ENTER R=")
Scale (0, 0)-(310, 200)
Line (0, 0)-(309, 189), , B
Print "1";
Print "0";
Print USING; "#. ##"; Y;
Print "4";
For J = 0 To 307
X = 0.3: K = Y + (4 - Y) * J / 307
For I = 1 To 200
X = K * X * (1 - X)
Next
For I = 1 To 300
X = K * X * (1 - X)
PSet (J, 187 * X), vbBlue
Next
Next
End Sub
```

ଓଡ଼ିଆରୀଙ୍କ ପ୍ରାଣଦୀ

```
Private Sub Command1_Click()
Dim S1(1 To 20), DD1(1 To 20), S2(1 To 20), DD2(1 To 20)
Scale (0, 0)-(600, 400)
Line (0, 0)-(640, 350), vbBlack, BF
Line (120, 175)-(520, 175), vbRed
Line (320, 50)-(320, 300), vbRed
E1 = 200: E2 = 300
F = 0.01: G = 2000: DZ = 0.009
C1 = 1: C2 = 1
T1 = 0: T2 = 2: DT = 1
k = (E1 * E2 * F) / G
L = Abs(Sqr(k * Cos(DZ)))
L1 = -L: L2 = -L
For i = 1 To 20
For C1 = -5 To 5
For C2 = -5 To 5
S1(i) = C2 * (1 / Exp(L1 * T1))
DD1(i) = C1 * (1 / Exp(L2 * T1)) + C2 * T1 * (1 / Exp(L2 * T1))
x = DD1(i) * 10
y = S1(i) * 10
PSet (320 + x, 175 - y), vbYellow
For t = T1 + DT To T2 Step DT
S1(i) = C2 * (1 / Exp(L1 * t))
DD1(i) = C1 * (1 / Exp(L2 * t)) + C2 * t * (1 / Exp(L2 * t))
x = DD1(i) * 10
y = S1(i) * 10
Line -(320 + x, 175 - y), vbYellow
Next t
Next C2
Next C1
Next i
End Sub
```

ԱՐԱԹԾԱԿԱԾՈ ԹԳՑՈԹԱՐԵՐԸ

```
Private Sub Command1_Click()
Dim S1(1 To 20), DD1(1 To 20), S2(1 To 20), DD2(1 To 20)
Scale (0, 0)-(800, 500)
Line (0, 0)-(640, 350), vbWhite, BF
Line (120, 175)-(520, 175), vbBlack
Line (320, 50)-(320, 300), vbBlack
T1 = 0: T2 = 2: DT = 1
L = Abs(Sqr(k * Cos(DZ)))
For i = 1 To 20
For C1 = -5 To 5
For C2 = -5 To 5
S1(i) = C2
DD1(i) = C1 + C2 * T1
x = DD1(i) * 10
y = S1(i) * 10
PSet (320 + x, 175 - y), vbBlue
For t = T1 + DT To T2 Step DT
S1(t) = C2
DD1(t) = C1 + C2 * t
x = DD1(t) * 10
y = S1(t) * 10
Line -(320 + x, 175 - y), vbRed
Next t
Next C2
Next C1
Next i
End Sub
```

600ဖုံးရာလွှဲချက်အနေ မြတ်စွမ်းဆောင်ခြင်း

```
Private Sub Command1_Click()
Dim S1(1 To 20), DD1(1 To 20), S2(1 To 20), DD2(1 To 20)
Scale (0, 0)-(600, 400)
Line (0, 0)-(640, 350), vbBlack, BF
Line (120, 175)-(520, 175), vbRed
Line (320, 50)-(320, 300), vbRed
E1 = 200: E2 = 300
F = 0.01: G = 2000: DZ = 0.009
C1 = 1: C2 = 1
T1 = 0: T2 = 20: DT = 1
k = (E1 * E2 * F) / G
L = Abs(Sqr(k * Cos(DZ)))
PI = 3.14
T1 = -2 * PI: T2 = 2 * PI: DT = 1
Line (0, 0)-(640, 350), vbBlack, BF
Line (80, 175)-(560, 175), vbWhite
Line (320, 50)-(320, 300), vbWhite
L1 = L: L2 = -L
For i = 1 To 20
For C1 = -5 To 5
For C2 = -5 To 5
S1(i) = C2 * Cos(L1 * T1)
DD1(i) = -C2 * Sin(L1 * T1)
x = DD1(i) * 10
y = S1(i) * 10
PSet (320 + x, 175 - y), vbRed
For t = T1 + DT To T2 Step DT
S1(i) = C2 * Cos(L1 * t)
DD1(i) = -C2 * Sin(L1 * t)
x = DD1(i) * 10
y = S1(i) * 10
Line -(320 + x, 175 - y), vbRed
Next t
Next C2
Next C1
Next i
End Sub
```

გადაბეჭდებული კვანძი ანუ არამღბრადი ფონას შორის

```
Private Sub Command1_Click()
Dim S1(1 To 20), DD1(1 To 20), S2(1 To 20), DD2(1 To 20)
Scale (0, 0)-(600, 400)
Line (0, 0)-(640, 350), vbBlack, BF
Line (120, 175)-(520, 175), vbYellow
Line (320, 50)-(320, 300), vbYellow
E1 = 200: E2 = 300
F = 0.01: G = 2000: DZ = 0.009
C1 = 1: C2 = 1
T1 = 0: T2 = 20: DT = 1
k = (E1 * E2 * F) / G
L = Abs(Sqr(k * Cos(DZ)))
L1 = L: L2 = L
For i = 1 To 20
For C1 = -20 To 55 Step 10
For C2 = -40 To 40 Step 10
S1(i) = C2 * (1 / Exp(L1 * T1))
DD1(i) = C1 * (1 / Exp(L2 * T1)) + C2 * T1 * (1 / Exp(L2 * T1))
x = DD1(i)
y = S1(i)
PSet (320 + x, 175 - y), vbRed
For t = T1 + DT To T2 Step DT
S1(i) = C2 * (1 / Exp(L1 * t))
DD1(i) = C1 * (1 / Exp(L2 * t)) + C2 * t * (1 / Exp(L2 * t))
x = DD1(i)
y = S1(i)
Line -(320 + x, 175 - y), vbRed
Next t
Next C2
Next C1
Next i
End Sub
```

ડાર્નસેરો આર્ટિકુલેશન્સ

```
function qazl(action)
if nargin<1,
    action='start';
end;

global inertia_field
global freq_field
global eds_field
global volt_field
global conductivity_field
global eds
global volt
global conductivity
global freq
global inertia
if strcmp(action,'start'),
elf reset;
set(gcf,'Units','normalized','backingstore','off');
%popup=uicontrol('Style','PopupVString','cosine|square|sawtooth|1 111|2222|3333|4444',...
% 'Position',[.03 .02 .2 .08],'Units','normalized',...
%   'CallBack','qazl("redraw")');
inertia_text=uicontrol('Style','text7Position',[.03 .02 .13 .04],...
'Units','normalized','BackgroundColor','black',...
'ForegroundColor','white','String','Inertia',...
'HorizontalAlignment','right');
inertia_field=uicontrol('StyleVedit','Position',[.16 .02 .07 .04],...
'Units','normalized','BackgroundColor','blue','ForegroundColor','white','String','1500',...
'CallBack','qazl("setinertia")');
version_text=uicontrol('StyleVtext','Position',[ 0 .96 .16 .04],...
'Units','normalized','BackgroundColor','black',...
'ForegroundColor','white','String','Version 1.0',...
'HorizontalAlignment','left');
freq_text=uicontrol('Style7text7Positioni,[.27 .02 .28 .04],...
'Units','normalized','BackgroundColor','black',...
'ForegroundColorVwhite','StringVAngle(Gr):',...
'HorizontalAlignment','right');
freq_field=uicontrol('StyleVedit','Position',[.57 .02 .07 .04],...
'Units','normalized','B ackgroundColor','blue','ForegroundColor','white','String','1.1',...
'CallBack','qazl("setfreq")');
eds_text=uicontrol('Style','text','Position',[.03 .88 .10 .04],...
'Units','normalized','BackgroundColor','black',...
'ForegroundColor','white','String','EMF(E):',...
'HorizontalAlignment','right');
eds_field=uicontrol('Style','edit','Position',[.13 .88 .07 .04],...
'Units','normalized','BackgroundColor','blue','ForegroundColor','white','String','300',...
'CallBack','qazl("seteds")');
volt_text=uicontrol('Style','text','Position',[.22 .88 .28 .04],...
'Units','normalized','BackgroundColor','black',...
```

```

'ForegroundColor', 'white', 'String', 'Tension(Volt):',...
'HorizontalAlignmentVright');

volt_field=uicontrol('Style','edit','Position',[.51 .88 .07 .04],...
'Units','normalized','BackgroundColor','blue','ForegroundColor','white','String','220',...
'CallBack','qazl("setvolt")');

conductivity_text=uicontrol('Style','text','Position',[.65 .88 .20 .04],...
'Units','normalized','BackgroundColor','black',...
'ForegroundColor','white','String','Conductivity(R):',...
'HorizontalAlignmentVright');

conductivity_field=uicontrol('Style','edit','Position',[.86 .88 .07 .04],...
'Units','normalized','BackgroundColor','blue','ForegroundColor','white','String','0.05',...
'CallBack','qazl("setconductivity")');

donejDutton=uicontrol('Style','Pushbutton','Position',[.85 .02...
.12 .08], 'Units','normalized','Callback',... 'qazl("done")','StringVClose');

grid_button=uicontrol('Style','Pushbutton','Position',[.3 .02...
.08 .06], 'Units','norrnalized','Callback',... 'grid','String','Grid');

orbitjMton=uicontrol('Style','Pushbutton','Position',[.75 .02...
.07 .05], 'Units','normalized','Callback',...
'qazl("rorbit")','String','lef');

rorbit_button=uicontrol('Style','Pushbutton','Position',[.75 .08 ...
.07.05], 'Units','normalized','Callback',...
'qazl("rorbit")','String','right');

zorbit_button=uicontrol('Style','Pushbutton','Position',[.67 .02 ...
.07.05], 'Units','normalized','Callback',...
'qazl("zorbit") ','String','up');

rzorbit_button=uicontrol('Style','Pushbutton','Position',[.67 .08 ...
.07.05], 'Units','normalized','Callback',...
'qazl("rzorbit")','String','down');

eds=300;
volt=220;
conductivity=0.05;
freq=l.l;
inertia=1500;
az=0;
el=90;
axes("Position"),[.16 .24 .7 .6]);
elseif strcmp(action,'orbit'),
[az el]=view;
view([az+5 el])
drawnow
elseif strcmp(action,'rorbit'),
[az el]=view;
view([az-5 el])
drawnow
elseif strcmp(action,'zorbit'),
[az el]=view;
view([az el+5])
drawnow
elseif strcmp(action,'rzorbit'),
[az el]=view;
view([az el-5])

```

```

drawnow
elseif strcmp(action,'setfreq'),
freq=str2num(get(freq_field,'string'))
qazl ('redraw');
elseif strcmp(action,'seteds'),
eds=str2num(get(eds_field,'string'))
qazl ('redraw');
elseif strcmp(action,'setvolt'),
volt=str2num(get(volt_field,'string'))
qazl ('redraw');
elseif strcmp(action,'setconductivity'),
conductivity=str2num(get(conductivity_field,'string'))
qazl ('redraw');
elseif strcmp(action,'setinertia'),
inertia=str2num(get(inertia_field,'string'))
qazl ('redraw');
elseif strcmp(action,'done'),
clf reset;
clear global inertia_field
clear global freq_field
clear global eds_field
clear global volt_field
clear global conductivity_field
clear global eds
clear global volt
clear global conductivity
clear global freq
clear global inertia
close;
elseif strcmp(action,'redraw'),
%t0 = 0;
%tfmal =10;
%x0 =[0 0.1]';
%hold off,
%for i=0 : 0.1 : 0.79
% [t,x] = ode23('vdpol',t0,tfinal,x0+i);
% plot(x(:,1),x(:,2));
% hold on,
% end
[az el] = view;
d = freq;
k =(eds*volt*conductivity*240)/inertia;
t =.06;
hold off
for j=.2:.2: .8
xl=j;
s=0;
for i=1:150
plot3(xl,s,j);
hold on

```

```

s=s+t*k*(sin(d)-sin(d+xl));
xl=xl+t*s;
end
end

%grid on
axis([-1 1 -10 10 ]);
view([az el])
%view([0 90]);
xlabel ('d');
ylabel('S');
end

function x = str2num(s)
if ~isstr(s) | ndims(s)>2
    error('Requires string or character array input.')
end

if isempty(s), x = []; return, end
[m,n] = size(s);
if m==1,
    x = protected_conversion(s); % Test flight
if isempty(x),
    x = protected_conversion(['[' s ']']); % Try adding brackets
end

else
    semi =';';
    space = " ";
if ~any(any(s == '[' | s == ']')), % String does not contain brackets
o = ones(m-1,1);
s = [[';space(o)] s [semi(o) space(o);' ]]];
elseif ~any(any(s(1:m-1,:)== semi)), % No ;'s in non-last rows
    s = [s,[semi(ones(m-1,1));space]]';
else, % Put ;'s where appropriate
    spost = space(ones(m,1));
    for i= 1:m-1,
        last = find(fliplr(s(i,:)) == space);
        if s(i,n-last(l)+1) == semi,
            spost(i) = semi;
        end
    end
    s = [s,spost]';
end

x = protected_conversion(s);
end

ifisstr(x)

```

```

x=[];
end

function STR2NUM_VaR = protected_conversion(STR2NUM_StR)

STR2NUM_LaSTeRR = lasterr;
STR2NUM_VaR = eval(STR2NUM_StR,'[]');
lasterr(STR2NUM_LaSTeRR)
function [retl, ret2] = view(argl, arg2)
fig = gcf;
ax = gca;
err = 0;
if(nargin==0)
if(nargout<2)
retl = get(ax,'xform');
else
v = get(ax,'View');
retl = v(1); ret2 = v(2);
end

elseif (nargin == 1)
[r,c] = size(argl);
if(r==1)&(c == 2)
set(ax,'View',argl);
elseif((r==1)&(c==1))
ifargl==2
view(0,90);
elseif argl == 3
view(-37.5,30);
else
error('Single scalar argument must be 2 or 3');
end

elseif((r==4)&(c = 4))
set(ax,'xform',argl);
elseif r*c == 3 % it's a direction vector
unit = argl/norm(argl);
az = atan2(unit(2),unit(1))* 180/pi;
el = atan2(unit(3),sqrt(unit(1)^2+unit(2)^2))*1 80/pi;
set(ax,'View',[az el]);
else
error('Argument must be scalar, two-vector, or 4-by-4 matrix');
end

else
[r,c] = size(argl);
[r2,c2] = size(arg2);
if ((r == 1) & (c == 1) & (r2 = 1) & (c2 = 1))
set(ax,'View',[argl arg2]);
else

```

```
error('Arguments must be scalars');
end
```

```
function c = strcmp(sl,s2)
c = 0;
if all(size(sl) == size(s2))
ifall(all(sl==s2))
    c = 1;
    end
end
```

```
function udvoenie()
y=3.5;
for j=0:.5:70,
x=.3 ;
k = y+(4-y)*j/70;
for i=1 : 30
x=k*x*(1-x);
end
```

```
for i=1 :30,
x=k*x*(1-x);
plot(j,187*x);
hold on
end
end
```

ორბენერატორიანი სისტემისათვის

```

>
j1=800;j2=700;eq1=1;eq2=5;z11=2.6;z22=7;a11=1.2;a12=0.9;a
22=0.6;tt1=100;tt2=120;
          j1 = 800
          j2 = 700
          eq1 = 1
          eq2 = 5
          z11 = 2.6
          z22 = 7
          a11 = 1.2
          a12 = 0.9
          a22 = 0.6
          tt1 = 100
          tt2 = 120

> with(DEtools):
> dif1:=diff(w1(t),t)=1/j1*(tt1-
3/(2*w1(t))*(eq1^2/z11*sin(a11)+eq1*eq2/z12*sin(dt1(t)-
a12)));
          
$$dif1 := \frac{d}{dt} w_1(t) = \frac{\frac{3}{2} \frac{eq1^2 \sin(a11)}{z11} - \frac{eq1 \, eq2 \sin(-dt1(t) + a12)}{z12}}{j1}$$


> dif2:=diff(w2(t),t)=1/j2*(tt2-
3/(2*w2(t))*(eq2^2/z22*sin(a22)+eq1*eq2/z12*sin(dt1(t)-
a12)));
          
$$dif2 := \frac{d}{dt} w_2(t) = \frac{\frac{3}{2} \frac{eq2^2 \sin(a22)}{z22} - \frac{eq1 \, eq2 \sin(-dt1(t) + a12)}{z12}}{j2}$$


> dif3:=diff(dt1(t),t)=w1(t)-w2(t);
          
$$dif3 := \frac{d}{dt} dt1(t) = w_1(t) - w_2(t)$$


> autonomous({dif1,dif2,dif3},[w1(t),w2(t),dt1(t)],t);
>
          true

> phaseportrait({dif1,dif2,dif3},[w1(t),w2(t),dt1(t)],t=-
4..4,[[w1(1)=1,w2[1]=1,dt1(1)=1],[w1(1)=2,w2[1]=2,dt1(1)=
2],[w1(1)=3,w2[1]=3,dt1(1)=3]],w1(t)=-20..20,w2(t)=-
20..20,dt1(t)=-

```

```

20..20, linecolor=black, scene=[w1(t), w2(t), dt1(t)], color=black, stepsize=0.1);
>

    სამგენერატორიანი სისტემა

>
11=2000; i2=1500; e1=200; e2=300; u=220; y12=0.01; y1u=0.02; y2u
=0.15; d1=0.9; d2=0.7; t1=10; t2=5;
    11 = 2000
    i2 = 1500
    e1 = 200
    e2 = 300
    u = 220
    y12 = 0.01
    y1u = 0.02
    y2u = 0.15
    d1 = 0.9
    d2 = 0.7
    t1=10
    t2=5

> with(DEtools):
> dif1:=diff(s1(t),t)=1/i1*(-e1*e2*y12*cos(d1-
d2)*sin(dd1(t)-dd2(t))-e1*u*y1u*cos(d1)*sin(dd1(t))+e1*e2*y12*sin(d1-d2)*(1-
cos(dd1(t)-dd2(t)))+e1*u*y12*sin(d1)*(1-cos(dd1(t))))+e1*u*y12*sin(d1)*(1-cos(dd1(t))));

dif1 :=  $\frac{d}{dt} s_1(t) = (-e_1 e_2 y_{12} \cos(d_1 - d_2) \sin(dd_1(t) - dd_2(t))$ 
 $- e_1 u y_{1u} \cos(d_1) \sin(dd_1(t))$ 
 $+ e_1 e_2 y_{12} \sin(d_1 - d_2) (1 - \cos(dd_1(t) - dd_2(t)))$ 
 $+ e_1 u y_{12} \sin(d_1) (1 - \cos(dd_1(t))))/i_1$ 

> dif2:=diff(s2(t),t)=1/i2*(e1*e2*y12*cos(d1-
d2)*sin(dd1(t)-dd2(t))-e1*u*y2u*cos(d2)*sin(dd2(t))-e1*e2*y12*sin(d1-d2)*(1-
cos(dd1(t)-dd2(t)))+e1*u*y2*sin(d2)*(1-cos(dd2(t))));

dif2 :=  $\frac{d}{dt} s_2(t) = (e_1 e_2 y_{12} \cos(d_1 - d_2) \sin(dd_1(t) - dd_2(t))$ 
 $- e_1 u y_{2u} \cos(d_2) \sin(dd_2(t))$ 
 $- e_1 e_2 y_{12} \sin(d_1 - d_2) (1 - \cos(dd_1(t) - dd_2(t)))$ 
 $+ e_1 u y_2 \sin(d_2) (1 - \cos(dd_2(t))))/i_2$ 

> dif3:=diff(dd1(t),t)=s1(t);

```

```

dif3 :=  $\frac{d}{dt} dd1(t) = s1(t)$ 

> dif4:=diff(dd2(t),t)=s2(t);
>
autonomous({dif1,dif2,dif3,dif4},[dd1(t),dd2(t),s1(t),s2(t)],t);
i1=2000;i2=1500;e1=200;e2=300;u=220;y12=0.01;y1u=0.02;y2u
=0.15;d1=0.9;d2=0.7;t1=20;t2=15;
    i1 = 2000
    i2 = 1500
    e1 = 200
    e2 = 300
    u = 220
    y12 = 0.01
    y1u = 0.02
    y2u = 0.15
    d1 = 0.9
    d2 = 0.7
    t1=20
    t2=15

> with(DEtools):
> dif1:=diff(s1(t),t)=1/i1*(-e1*e2*y12*cos(d1-
d2)*sin(dd1(t)-dd2(t))-e1*u*y1u*cos(d1)*sin(dd1(t))+e1*e2*y12*sin(d1-d2)*(1-
cos(dd1(t)-dd2(t)))+e1*u*y12*sin(d1)*(1-cos(dd1(t))));;
dif1 :=  $\frac{d}{dt} s1(t) = (-e1 e2 y12 \cos(d1 - d2) \sin(dd1(t) - dd2(t)))$ 
 $- e1 u y1u \cos(d1) \sin(dd1(t))$ 
 $+ e1 e2 y12 \sin(d1 - d2) (1 - \cos(dd1(t) - dd2(t)))$ 
 $+ e1 u y12 \sin(d1) (1 - \cos(dd1(t))))/i1$ 

> dif2:=diff(s2(t),t)=1/i2*(e1*e2*y12*cos(d1-
d2)*sin(dd1(t)-dd2(t))-e1*u*y2u*cos(d2)*sin(dd2(t))-e1*e2*y12*sin(d1-d2)*(1-cos(dd1(t)-
dd2(t)))+e1*u*y2*sin(d2)*(1-cos(dd2(t))));;
dif2 :=  $\frac{d}{dt} s2(t) = (e1 e2 y12 \cos(d1 - d2) \sin(dd1(t) - dd2(t)))$ 
 $- e1 u y2u \cos(d2) \sin(dd2(t))$ 
 $- e1 e2 y12 \sin(d1 - d2) (1 - \cos(dd1(t) - dd2(t)))$ 
 $+ e1 u y2 \sin(d2) (1 - \cos(dd2(t))))/i2$ 

> dif3:=diff(dd1(t),t)=s1(t);
```

```

dif3 :=  $\frac{d}{dt} dd1(t) = s1(t)$ 

> dif4:=diff(dd2(t),t)=s2(t);
>
autonomous({dif1,dif2,dif3,dif4},[dd1(t),dd2(t),s1(t),s2(t)],t);

11=2000;i2=1500;e1=200;e2=300;u=220;y12=0.01;y1u=0.02;y2u
=0.15;d1=0.9;d2=0.7;t1=50;t2=40;
11 = 2000
i2 = 1500
e1 = 200
e2 = 300
u = 220
y12 = 0.01
y1u = 0.02
y2u = 0.15
d1 = 0.9
d2 = 0.7
t1=50
t2=40

> with(DEtools):
> dif1:=diff(s1(t),t)=1/i1*(-e1*e2*y12*cos(d1-
d2)*sin(dd1(t)-dd2(t))-
e1*u*y1u*cos(d1)*sin(dd1(t))+e1*e2*y12*sin(d1-d2)*(1-
cos(dd1(t)-dd2(t)))+e1*u*y12*sin(d1)*(1-cos(dd1(t))));;
dif1 :=  $\frac{d}{dt} s1(t) = (-e1 e2 y12 \cos(d1 - d2) \sin(dd1(t) - dd2(t))$ 
 $- e1 u y1u \cos(d1) \sin(dd1(t))$ 
 $+ e1 e2 y12 \sin(d1 - d2) (1 - \cos(dd1(t) - dd2(t)))$ 
 $+ e1 u y12 \sin(d1) (1 - \cos(dd1(t))))/i1$ 

> dif2:=diff(s2(t),t)=1/i2*(e1*e2*y12*cos(d1-
d2)*sin(dd1(t)-dd2(t))-e1*u*y2u*cos(d2)*sin(dd2(t))-
e1*e2*y12*sin(d1-d2)*(1-cos(dd1(t)-
dd2(t)))+e1*u*y2*sin(d2)*(1-cos(dd2(t))));
```

$$dif2 := \frac{d}{dt} s2(t) = (e1 e2 y12 \cos(d1 - d2) \sin(dd1(t) - dd2(t)))$$

$$- e1 u y2u \cos(d2) \sin(dd2(t))$$

$$- e1 e2 y12 \sin(d1 - d2) (1 - \cos(dd1(t) - dd2(t)))$$

$$+ e1 u y2 \sin(d2) (1 - \cos(dd2(t))))/i2$$

```
> dif3:=diff(dd1(t),t)=s1(t);
      dif3 :=  $\frac{d}{dt} dd1(t) = s1(t)$ 
```

```
> dif4:=diff(dd2(t),t)=s2(t);
>
autonomous({dif1,dif2,dif3,dif4},[dd1(t),dd2(t),s11(t),s2(t)],t);
```

შროვივი სინქრონიზაცია

```
> with(DEtools):
> phaseportrait(y1(t)-2*y2(t)=0,[y1(t),y2(t)],t=1..7,
linecolor=blue,method=classical[foreuler],stepsize=.2);
```

არაშროვივი სინქრონიზაცია

```
> with(DEtools):
> phaseportrait(y2(t)-0.1*y1(t)^3=0,[y1(t),y2(t)],t=1..7,
linecolor=blue,method=classical[foreuler],stepsize=.2);
```

სინქრონიზაცია ელიფსური ორბიტის მიმართ

```
> with(DEtools):
> phaseportrait((0.87*y1(t)+0.5*y2(t))^2/16+(0.5*y1(t)-
0.87*y2(t))^2/4-1=0,[y1(t),y2(t)],t=1..7,
linecolor=blue,method=classical[foreuler],stepsize=.2);
```

სინქრონიზაცია სპირალის მიმართ

```
> with(DEtools):
> phaseportrait((exp(s)-y1(t)^2-
y2(t)^2=0,[y1(t),y2(t)],t=1..7,
linecolor=blue,method=classical[foreuler],stepsize=.2);
```

ՑԱՅԹԵՑՑԱՅՈ ՀՈՒԹԵՐԱԳՅՐԻ

1. Баринов В. А., Соловьев С. А. Режимы энергосистем. Методы анализа и управления. -М.: Энергоатомиздат. 1990.
2. Афанасьев В. Н., Колмановский В. Б., Носов В. Р. Математическая теория конструирования систем управления. - М.: Высшая школа, 1998. - 574с.
3. Арнольд В. И., Авец А. Эргодические проблемы классической механики. - Ижевск.: Ижевская республиканская типография. -1999.-281с.
4. Арнольд В. И. Математические методы классической механики. - М.: Наука. 1989.-472с.
5. Бернас С, Цёк З. Математические модели элементов электроэнергетических систем. - М : Энергоатомиздат, 1982,
6. Арнольд В. И. Геометрические методы в теории обыкновенных дифференциальных уравнений. -Ижевск.: Удмуртский государственный университет. 2000.-399с.
7. Веников В. А. Переходные электромеханические процессы в электрических системах. - М.: Высшая школа. 1985, - с.
8. Веников В. А., Журавлев В. Г., Филипова Т. А. Оптимизация режимов электростанции и энергосистем. - М.: Энергоатомиздат, 1990.-352с.
9. Визгин В. П. Развитие взаимосвязи принципов инвариантности с законами сохранения в классической физике. - М.: Наука, 1972.-240с.
10. Гугушвили А., Сесадзе В., Далакишвили Г. Оптимальное управление в гамильтоновых системах. საქართველოს მუნიციპალური უნივერსიტეტი, გმდება, №4(437), 85-87 გვ.
11. Ибрагимов Н. Х. Групповой анализ обыкновенных дифференциальных уравнений и принцип инвариантности в математической физике. -Успехи математических наук. 1992, т.47, вып. 4(286). 83-144с.
12. Ибрагимов Н. Х. Группы Ли в некоторых вопросах математической физики. -Новосибирск.: НГУ, 1972.-159с.
13. Костенко Е. С. О групповых свойствах обыкновенных линейных дифференциальных уравнений второго порядка. - Дифференциальные уравнения, Т.VIII, №4, 1972.-727-730с.
14. Кухтенко А. И. Основные задачи теории управления сложными системами. - В кн.: Сложные системы управления. Вып. I, -Кiev.: Изд-во института кибернетики АН УССР, 1968. -3-37с.
15. Можаев Г. В. Об использовании симметрии в линейных задачах оптимального управления с квадратичным критерием качества. -А и Т. №6. 1975.- 2-29с.
16. Мозер Ю. Интегрируемые гамильтоновые системы и спектральная теория. Ижевск.: Ижевская республиканская типография. 1999. -239с.
17. Гугушвили А., Далакишвили Г., Мамукелашвили И. Теорема Нетер и принцип максимума Понтрягина. საქართველოს მუნიციპალური უნივერსიტეტი, გმდება, №4(437), 81-84 გვ.
18. Овсянников Л. В. Лекции по теории групповых свойств дифференциальных уравнений. -Новосибирск.: изд-во НГУ, 1966. -131с.
- 19.Овсянников Л. В. Групповой анализ дифференциальных уравнений. - М.:Наука. 1978. -399с.
20. Олвер П. Приложения групп Ли к дифференциальным уравнениям.- М.:Мир. 1989. -639с.
21. Полак В. Вариационные принципы механики. -М.:Физматгиз, 1960 -599с.

22. Понtryгин Л. С. и др. Математическая теория оптимальных процессов. - М.:Наука, 1961. -392с.
23. დალაქიშვილი გ. პოპვის ბიფურკაცია სამგებერატორიანი სისტემისთვის. საქართველოს ტექნიკური უნივერსიტეტი, მართვის ავტომატიზაციის სისტემები, №1(4), 2008. 200-205 გვ. .
- Борецкий И. Ф., Павлов В. Г. Теоретико-групповая интерпретация некоторых свойств линейной динамической системы. - А и Т. №2, 1963.-12-15с.
24. Вариационные принципы механики. Под. ред. Полака В. -М.: Физматгиз. 1959.-932с.
25. Зубов В. И. Аналитическая построение функции Ляпунова. //Доклада РАН. 1994, т.335,№6, 688-690с.
26. Экспериментальные исследования режимов энергосистем. Под редакцией С. А. Совалова. - М.: Энергоатомиздат, 1985.-448с.
27. Электрические системы: Управление переходными режимами электроэнергетических систем. Под ред. В. А. Веникова. -М: Высшая школа. 1982.-247с.
28. Arnold L Schmalfuss B. Lyapunov's Second Method for Random Dynamical Systems. Preprint. 2000.-1-28p.
29. Askenazy P. Conservation laws and optimal control. Preprint, Preimary, September 1999. 1-12p.
30. Cadenillas A.. Karatzas I. The stochastic maximum principle linear, convex optimal control with random coefficients. "SLAM J. Control and Optimization", 1995, 33, № 2, 590-624p.
31. Djukic D. S. Noethers theorem'for optimum Control systems. Int. Control. 1973, 18, №3, 667-672p.
32. Sussmann H. J. A strong version of the Lojasiewicz Maximum Principle. In: OptimalControl of differenttial equation, Ed. N. H. Pavel, M. Dekker Inc. 1994.-1-17p.
33. Lax P.D. Integrals of nonlinear equations of evolution and solitary waves. Comm. Pure Appl. Math. 1968. 21, 467-490p. (Имеется русский перевод: Лаке П. Интегралы нелинейных эволюционных уравнений и уединенные волны. Математика, №13, т.5. -М.: Мир, 1969г., -125-150с.
34. მართვის თეორია. სინერგეტიკა. წიგნი 3. – თბილისი, სტუბამომცემლობა. 2000. – 869 გვ.
35. А.А. Андронов, Е.А. Леонович, И.И. Гордон, А.Г. Майер. ” Теория Бифуркаций динамических систем на плоскости”. Издательство Наука. М.Москва 1967.-488 стр.
36. Вигнер Е. Этюды о симметрии. - М.: Мир, 1971, -31 8с.
37. Гугушвили А. Ш. Принцип симметрии в идентификации нелинейных объектов управления. - В кн.: Труды IX Всесоюзной школы семинара по адаптивным системам. - Алма-ата. 1979, -65-69с.
38. Попов Е. П., Крутко П. Д. Симметрия в системах автоматического управления. -ДАН ССР. т.244, №4, 1979.-842-845с.
39. Принцип симметрии. Под. ред. Б. А. Кедрова, Н. Ф. Овчинникова. -М.:Наука. 1978.-398с.
40. Принцип симметрии в идентификации нелинейных объектов управления. Под ред Гугушвили А. Ш. -Тбилиси.:Грузинский технический университет. Издво "Цисарткела", 1998.-272с.
41. Симметрии и законы сохранения управлении математической физики. Под ред. А. Ш. Виноградова и И. С. Красильщика. -М.:Факториал. 1997.-461с.

42. ვალიდა სესაძე, ვლადიმერ კაკენაძე, გოჩა დალაქიშვილი. განზოგადებული სიმეტრიული კონფიგურაციები, მესრები და კოორდინატიზაცია. საქართველოს მეცნიერებისა და საზოგადოების განვითარების ფონდი, პერიოდული სამეცნიერო ჟურნალი “ინტელექტი” №2(22), 2005, 58-61გ.
43. ალმასხან გუგუშვილი, ვალიდა სესაძე, გოჩა დალაქიშვილი. სინქრონიზაციის პროცესები და სიმეტრიების პრინციპი. საქართველოს მეცნიერებისა და საზოგადოების განვითარების ფონდი, პერიოდული სამეცნიერო ჟურნალი “ინტელექტი” №2(16), 2003, 63-66გ.
44. კაკენაძე ვ., სესაძე ვ., დალაქიშვილი გ. გამოსახულების მოდელირება ფრაქტალების საშუალებით. “საქართველოს ნავობი და გაზი” №10, 2004, 117-120 გ.
45. Гугушвили А., Сесадзе В., Хуцишвили О. Гугутишвили Е. Принцип симметрии в оптимальном управлении. Научный Журнал "Нефть и Газ Грузии" №3.2001.-100-105c. '
46. Шайкин М. Е. Теоретико-групповые методы декомпозиции симметрических многосвязных динамических систем. - А и Т, № 9, 1973.-22-23с.
47. Шубников А. В., Копчик В. А. Симметрия в науке и искусстве.- М.:Наука. 1972.-339с.
48. Sussmann H. J. Symmetries and Integrals of Motion in Optimal Control. In: Geometry in Nonlinear Control and Differential Inclusions. Banach Center Publications, vol 32. Mathematics Institute of the Polish Academy of Sciences. Warsawa, Poland, 1995. Peprmt. 379-393p.
49. Sussmann H. J. The Brachistochrone problem and modern control theory. (coauthored with Jan C. Willems). To appear in Contemporary trends in nonlinear geometric control theory and its applications (proceedings of the conference on "Geometric Control Theory and Applications" held in Mexico City on September 4-6, 2000, to celebrate the 60th anniversary of Velimir Jurdjevic); A. Anzaldo-Meneses, B.Bonnard, J.-P. Gauthier, and F. Monroy-Perez Eds: World Scientific Publishers, Singapore. The paper is 40 pages long.
50. გუგუშვილი ა., სალუქვაძე გ., ჭიჭინაძე ვ. ოპტიმალური და ადაპტური სისტემები. თბილისი: სტუს გამოცემლობა 1997. წიგნი 2.-437 გვ.
51. Узоры симметрии. Под редакцией Сенешель и Дж. Флека, - М.:Мир, 1980-271с.
52. Урманцев Ю. А. Симметрия природы и природа симметрии. - М.:Мысль, 1974.-229с.

გადლიერება

მადლობა მინდა გადავუხადო ყველა იმ ადამიანს, ვინც მახმარებოდა და უშუალო მხარდაჭერას მიცხადებდა სადისერტაციო ნაშრომის შესრულების პროცესში.

უპირველეს ყოვლისა, მინდა დიდი მადლიერების გრძნობით აღნიშნო ჩემი აწ გარდაცვლილი სამეცნიერო ხელმძღვანელის, ბატონი ალმასხან გუგუშვილის უდიდესი მხარდაჭერა და წვლილი, ვისი თანადგომაც ჩემთვის ფასდაუდებელია სტუდენტობის წლებიდან დაწყებული, მისი გარდაცვალების შემდგაც კი – დღემდე.

მადლობის გრძნობით ვიხსენიებ ჩემს ტრაგიკულად დაღუპულ კოლეგას და უპირველეს ყოვლისა, მეგობარს – ნიკა გომარელს, რომლის ძალისხმევითა და მონდომებით დავიწყე სადისერტაციო თემაზე მუშაობა.

უნდა აღვნიშნო ჩემი ამჟამინდელი ხელმძღვანელების, ქალბატონი ვალიდა სესაძის და ქალბატონი ლელა გაჩერჩილაძის განსაკუთრებული მხარდაჭერა და დახმარება, რისთვისაც მადლიერების გრძნობით მინდა გამოვხატო მათდამი უდიდესი პატივისცემა.

დიდ მხარდაჭერას ვგრძნობდი და ვგრძნობ ყოფილი 71-ე კათედრის, ამჟამად კი – მართვის სისტემების და რობოტოტექნიკის მიმართულების ხელმძღვანელისგან, ბატონი ნოდარ ჯიბლაძისგან. ასევე მადლიერება და პატივისცემა მინდა გამოვხატო ბატონი თამაზ ობგაძის მიმართ, რომელიც დიდი გულისყურით ადევნებდა თვალს სადისერტაციო თემაზე მუშაობას.

ჩემი კათედრის უკლებრივ ყველა წევრს თანადგომისა და ცხოვრებისეული მეგობისათვის – უდრმესი მადლობა!

დაბოლოს კი, მადლობა ჩემი ოჯახის ყველა წევრს დახმარებისა და თანადგომისთვის.